

ANKARA ÜNİVERSİTESİ  
BİLİMSEL ARAŞTIRMA PROJELERİ  
KOORDİNASYON BİRİMİ KOORDİNATÖRLÜĞÜNE

**Proje Türü** : Bağımsız Proje

**Proje No** : 20B0237002

**Proje Yürütucusu** : Prof. Dr. Özlem Bahadır Acıkara

**Proje Başlığı** : Türkiye'de Yetişen Bazı *Heracleum* Türlerinin Antienflamatuvlar Etkilerinin Değerlendirilmesi ve Antienflamatuvlar Etkili Bileşiklerinin Araştırılması

Yukarıda bilgileri yazılı olan projemin sonuç raporunun e-kütüphanede yayınlanmasını;

İSTİYORUM

İSTEMİYORUM

GEREKÇESİ:

26/11/2021

Proje Yürütucusu  
İmza



Prof. Dr. Özlem BAHADIR ACIKARA

**ANKARA ÜNİVERSİTESİ**  
**BİLİMSEL ARAŞTIRMA PROJESİ**  
**SONUÇ RAPORU**

Proje Başlığı

Türkiye'de Yetişen Bazı Heracleum Türlerinin Antienflamatuvar Etkilerinin Değerlendirilmesi ve Antienflamatuvar Etkili Bileşiklerinin Araştırılması

Proje Yürüttücünün İsmi

Prof. Dr. Özlem Bahadır Acıkara

Araştırmacıların İsmi

Prof. Dr. Esra Küpeli Akkol

Ar. Gör. Ekin Kurtul

Proje Numarası

20B0237002

Başlama Tarihi

06.01.2020

Bitiş Tarihi

06.01.2022

Rapor Tarihi

26.11.2021

Ankara Üniversitesi Bilimsel Araştırma Projeleri  
Ankara - " 2021 "

## 1. Projenin Türkçe ve İngilizce Adı ve Özeti

### Türkiye'de Yetişen Bazı *Heracleum* Türlerinin Antienflamatuvardan Etkilerinin Değerlendirilmesi ve Antienflamatuvardan Etkili Bileşiklerinin Araştırılması

*Heracleum* cinsi Kuzey yarımkürede özellikle Avrasya'da yayılış gösteren Apiaceae familyasına ait en geniş cinslerden biridir. Bu cinse ait türler gıda, baharat gibi kullanımlarının yanı sıra halk arasında değişik amaçlarla kullanımı nedeniyle tıbbi bitki olarak da öneme sahiptirler. Çin Geleneksel Tıbbında ve yettiği bazı ülkelerde antienflamatuvardan amaçla kullanımları kayıtlıdır. Ülkemizde ise ishal, dizanteri, güneş çarpması, infertilite, gastrointestinal rahatsızlıklar, hemoroit, astım, bronşit, romatizma, kanser, diyabet, yara, baş ağrısı gibi çeşitli amaçlarla kullanıldığı bilinmektedir. *Heracleum* cinsi kimyasal olarak incelendiğinde uçucu yağ, flavonoid, fenilpropanoid, iridoit, poliasetilen, yağ asitleri gibi pek çok farklı bileşik yanında Apiaceae familyası üyelerinin çoğunca olduğu gibi kumarinler açısından da oldukça zengin bir cinstir. Kumarinlerin de çok sayıda biyolojik aktivitesi yanında antienflamatuvardan etki gösterdikleri çok sayıda bilimsel çalışma ile ortaya konmuştur. Bu proje ile halk arasında farklı kullanımları yanında antienflamatuvardan amaçla ve romatizmal hastalıkların tedavisinde kullanılan, antienflamatuvardan etkinlikleri bilinen kumarin türevleri açısından zengin *Heracleum* türlerinden ülkemizde yetişen biri endemik dört taksonun; *H. sphondylium* subsp. *ternatum* (Velen.), Brummit, *H. sphondylium* subsp. *montanum* (Schleicht. Gaudin) Briquet, *H. sphondylium* subsp. *cyclocarpum* (C.Koch) Davis, *H. paphlagonicum* Czeczott (endemik), antienflamatuvardan aktiviteleri değerlendirilmiş, aktiviteden sorumlu bileşik/bileşikler tespit edilmiştir. Bitkilerin kök ve toprak üstü kısımlarından hazırlanan diklorometan ve metanollu ekstrelerin antienflamatuvardan aktiviteleri karagenin nedenli pençe ödemi, prostaglandin E2 (PGE2) nedenli pençe ödemi ve serotonin nedenli pençe ödemi modelleri kullanılarak değerlendirilmiştir. *H.sphondylium* subsp. *cyclocarpum* köklerinin diklorometan ve metanollu ekstrelerini en yüksek aktiviteyi göstermiştir. Biyolojik aktiviteyle yönlendirilmiş fraksiyonlama tekniği kullanılarak en yüksek aktivitenin gözlendiği ekstrelerden etkili bileşiklerin izolasyonu amacıyla her iki ekstre de ayrı ayrı kolon kromatografisi ile fraksiyonlanmıştır. Fraksiyonların antienflamatuvardan etkisi karagenin ve PGE2 nedenli pençe ödemi modelleri ile test edilmiştir. Ekstrelerin seratonin nedenli pençe ödemi modelinde anlamlı bir aktivite göstermemesi nedeniyle fraksiyonların aktivitelerinin değerlendirilmesinde bu model kullanılmamıştır. Fraksiyonlardan en yüksek aktivite gösterenler seçilerek semi-preparatif yüksek performanslı sıvı kromatografisi kullanılarak beş kumarin türevi izole edilmiştir. Bileşiklerin yapıları çeşitli spektroskopik yöntemler (NMR, MS) kullanılarak aydınlatılmış ve heraklenol-3"-O- $\beta$ -glikozit, heraklenol, byakangelisin, byakangelisin-3"-O- $\beta$ -glikozit ve meranzin hidrat III olarak tanımlanmıştır. İzole edilen bileşiklerin antienflamatuvardan etkileri aynı test modelleri kullanılarak test edilmiş, heraklenol-3"-O- $\beta$ -glikozit bileşiğin her iki antienflamatuvardan aktivite test modelinde de kontrol grubuna göre önemli ölçüde etkili olduğu, aynı zamanda bileşiğin etkisinin ekstrenin etkisinden daha yüksek olduğu bulunmuştur.

## Evaluation of Antiinflammatory Activity of Some *Heracleum* Species Growing in Turkey and Investigation of Antiinflammatory Compounds

*Heracleum* is one of the widest genus belongs to Apiaceae family and distributed naturally in northern hemisphere and especially in Eurasia. This genus species have importance as medicinal plant due to their different utilization in folk medicines besides their usage as a spice and as a food. *Heracleum* species are recorded for their anti-inflammatory usage in Traditional Chinese Medicine and in some countries where they grow naturally. In Turkish folk medicine, they are used for diarrhea, dysentery, sunstroke, infertility, gastrointestinal disorders, hemorrhoid, asthma, bronchitis, rheumatism, cancer, diabetes, wound, headache. Earlier phytochemical studies have revealed that *Heracleum* genus contains essential oil, flavonoid, phenylpropanoid, iridoid, polyacetylene, fatty acid as well as coumarins, as in most of the Apiaceae family members. Many studies displayed the anti-inflammatory activity of coumarins besides their numerous biological activities. In this study, anti-inflammatory activities of four *Heracleum* taxa; *H. sphondylium* subsp. *ternatum* (Velen.), Brummit, *H. sphondylium* subsp. *montanum* (Schleicherex Gaudin) Briquet, *H. sphondylium* subsp. *cyclocarpum* (C.Koch) Davis, *H. paphlagonicum* Czeczott (endemic) which were used for anti-inflammatory purposes and rheumatic disease in folk medicine and enriched in coumarin derivatives were evaluated for their anti-inflammatory activities and active compound (s) responsible for the activity were isolated. Antiinflammatory activities of dichloromethane and methanolic extracts of *Heracleum* species roots and aerial parts were evaluated by using carrageenan-induced paw edema, prostaglandin E2 (PGE2) induced paw edema, and serotonin-induced paw edema models. *H. sphondylium* subsp. *cyclocarpum* roots, dichloromethane and methanolic extracts were determined as the most bioactive extracts. Bioactivity-guided fractionation was used to reveal responsible compounds for anti-inflammatory activity and active fractions were subjected to column chromatography separately. Antiinflammatory activities of fractions were tested with carrageenan and PGE2 induced paw edema test models. Serotonin induced paw edema model was not used for evaluation of fractions anti-inflammatory activity by the reason of results for extracts were not found to be remarkable. Five coumarin derivatives were isolated from the active fractions of extracts by using semi-preparative high performance liquid chromatography, subsequently. Structure elucidations of the compounds were carried out by spectroscopic methods (NMR, MS) and the compounds were identified as heraclenol, heraclenol-3"-*O*- $\beta$ -glucoside, byakangelicin, byakangelicin-3"-*O*- $\beta$ -glucoside ve meranzin hydrate III. The isolated compounds were tested for their anti-inflammatory activity and heraclenol-3"-*O*- $\beta$ -glucoside was found to inhibit the carrageenan and PGE2 induced edema significantly as compared to the control group and the activity of the compound have been found higher than the extracts.

1946

## 2. Amaç ve Kapsam

Proje halk arasında farklı amaçlar yanında antienflamatuar etkisi nedeniyle kullanımı olan ve Çin Tıbbında antienflamatuar özellikleri nedeniyle hastalıkların tedavisinde kullanılan ve ayrıca antienflamatuar etkileri bilinen kumarinler açısından zengin *Heracleum* cinsine ait dört farklı takson olan; *Heracleum sphondylium* subsp. *ternatum* (Velen.) Brummit, *Heracleum sphondylium* subsp. *montanum* (SchleicherexGaudin) Briquet, *Heracleum sphondylium* subsp. *cyclocarpum* (C.Koch) Davis, *Heracleum paphlagonicum* Czeczott toprak üstü kısımlarının ve köklerinin antienflamatuar etkilerinin *in vivo* yöntemlerle araştırılmasını ve bu aktiviteden sorumlu olan bileşiklerin BAYF (Biyolojik Aktiviteyle Yönlendirilmiş Fraksiyonlama) yöntemi kullanılarak izole edilmesi ve bu maddelerin yapılarının aydınlatılarak ortaya konmasını amaçlamıştır.

## 3. Materyal ve Yöntem

### Bitkisel Materyal

Bitkisel materyal olarak seçilen *H. sphondylium* subsp. *cyclocarpum*, *H. sphondylium* subsp. *montanum*, *H. sphondylium* subsp. *ternatum*, *H. paphlagonicum* Çizelge 1'de verilen lokalitelerden, belirtilen tarihlerde toplandı. Herbaryum örnekleri preslenerek kurutuldu. Örnekler Prof. Dr. Hayri Duman ve Prof. Dr. Ahmet Duran tarafından teşhis edilerek Ankara Üniversitesi Eczacılık Fakültesi Herbaryum'una (AEF) kaldırıldı. Bitkilerin toprak üstü kısımları ile kökleri ayrılarak deneysel çalışmalarda kullanılmak üzere oda sıcaklığında kurutuldu ve toz edildi.

**Çizelge 1. *Heracleum* türlerinin toplandığı lokaliteler**

Bitki	Lokalite	Toplanma tarihi	Herbaryum numarası
<i>H. sphondylium</i> subsp. <i>cyclocarpum</i>	A8, Artvin-Murgul Orman içi, 2136m 41°14' 3" K 41°33' 6" D	Temmuz, 2018	AEF 28812
<i>H. sphondylium</i> subsp. <i>montanum</i>	A4, Karabük-Yenice Orman içi, dere kenarı, 1000m 41°10' 27.2964" K 32°20' 47.1258" D	Haziran, 2018	AEF 28814
<i>H. sphondylium</i> subsp. <i>ternatum</i>	B4, Ankara-Kırıkkale yolu Dere kenarı, 900m 39°56' 8" K 33°1' 18" D	Haziran, 2018	AEF 28809
<i>H. paphlagonicum</i>	A4, Çankırı-Ilgaz Dere kenarı, 1753m 41°4' 23" K 33°44' 19" D	Haziran, 2018	AEF 28815

### Deney Hayvanları

Antienflamatuar etki testlerinde kullanılan Balb-c erkek fareler (20-25 g) Kobay Deney Hayvanları Laboratuvarı'ndan temin edildi ve aktivite çalışmaları Kobay Deney Hayvanları Laboratuvarı'nda yürütüldü (Etik kurul: Kobay Deney Hayvanları Laboratuvarı 408-.23.09.2019).

Deney ortamına uyum sağlayabilmeleri için en az 48 saat laboratuvar ortamında bekletilen hayvanlar

bu süre boyunca pelet yem ve su ile beslendi. Deneye başlamadan 24 saat önce su serbest bırakılarak yem kesildi. Her bir deney grubunda altışar hayvan kullanıldı.

## **Yöntem**

### **Fitokimyasal Çalışmalar**

#### **Ekstraksiyon**

##### **Diklorometanlı Ekstrelerin Hazırlanması**

Bitkisel materyal diklorometanla oda sıcaklığında 24 saat boyunca masere edildi. 24 saat sonunda 1 saat ultrasonik banyoda karıştırılarak pileli süzgeç kağıdından süzüldü. Süzülen ekstreler rotavaporda düşük basınç altında 35-40 °C'de yoğunlaştırıldı. Bu işlem her materyal için 5 gün süresince tekrar edildi. Ekstrelerin % verimleri hesaplandı ve aktivite testleri için ayrıldı.

##### **Metanollu Ekstrelerin Hazırlanması**

Diklorometan ekstraksiyonunun tamamlanmasının ardından kalan bitkisel materyal kurutuldu ve metanol ile 24 saatlik maserasyon'a bırakıldı. 24 saat sonunda 1 saat ultrasonik banyoda karıştırdı. Ekstreler pileli süzgeç kağıdından süzülerek, bu işlem 5 gün boyunca tekrarlandı. Süzüntüler birleştirilerek düşük basınç altında 35-40 °C'de ucuruldu. Elde edilen ham ekstreler liyofilize edilerek suyundan kurtarıldı. Ekstre verimleri hesaplanarak biyolojik aktivite testlerine tabi tutuldu.

#### **Kromatografi Çalışmaları**

##### **İnce Tabaka Kromatografisi Uygulamaları**

Ekstraksiyon çalışmaları sonucunda elde edilen ekstreler silikajel 60 F254 (Merck, 1.05554) kaplı hazır plaklar üzerinde incelendi. Diklorometanlı ekstrelerde çözücü sistemi olarak n-hekzan:etilasetat (8:2) kullanıldı. Ekstrelerin uygulandığı plak aynı çözücü sistemi içerisinde iki kez yürütüldü. Metanollu ekstreler için ise etilasetat:metanol:su (80:13,5:10) sistemi mobil faz olarak kullanıldı. Plaklar 256 ve 366 nm UV ışığı altında incelendikten sonra, vanilin-sülfirik asit reaktifiyle muamele edilerek 110 °C'lik etüvde bekletildi ve lekeler tespit edildi.

*H. sphondylium* subsp. *cyclocarpum* köklerinden hazırlanan diklorometan ve metanollu ekstrelerin en iyi ayrıldığı çözücü sistemini tespit edebilmek için farklı çözücü karışımıları denendi (Çizelge 2).

**Çizelge 2.** *H. sphondylium* subsp. *cyclocarpum* köklerinden hazırlanan diklorometan ve metanollu ekstrelerinin incelenmesinde kullanılan çözücü sistemleri

<b>Diklorometanlı ekstre için kullanılan çözücü sistemleri</b>	<b>Metanollu ekstre için kullanılan çözücü sistemleri</b>
Diklorometan:metanol (8:2)	Etilasetat:metanol (5:5)
n-Hekzan:etilasetat (8:2)	Etilasetat:metanol (6:4)
n-Hekzan:etilasetat (7:3)	Etilasetat:metanol (7:3)
n-Hekzan:etilasetat (6:4)	Etilasetat:metanol (8:2)
	Etilasetat:metanol (9:1)
	Etilasetat:metanol:su (100:13,5:10)
	Etilasetat:metanol:su (90:13,5:10)
	Etilasetat:metanol:su (80:13,5:10)

Kolon kromatografisi uygulamalarından elde edilen fraksiyonların İTK analizleri silikajel 60 normal faz plaklar üzerinde gerçekleştirildi. Diklorometan ekstresinden elde edilen fraksiyonlar için *n*-hekzan:etilasetat (8:2), *n*-hekzan:etilasetat (7:3), *n*-hekzan:etilasetat (6:4) ve etilasetat:metanol:su (80:13,5:10) çözücü sistemleri kullanıldı. Metanol ekstresinden elde edilen fraksiyonlar ise kloroform:metanol:su (65:25:4) çözücü sisteminde yürütülerek incelendi. Plaklar UV254 ve UV366 ışık altında incelendikten sonra vanilin-sülfirik asit reaktifi püskürtüllererek 110 °C'lik etüvde lekeler gözleninceye kadar ısıtma işlemi uygulandı.

İzole edilen maddeler, izole edildikleri fraksiyonlar ile silikajel İTK plağına uygulanarak ekstrelerin İTK analizlerinde kullanılan çözücü sistemleri ile kontol edildi.

### **Kolon Kromatografisi Uygulamaları**

Antienflamatuvlar etkiden sorumlu olabilecek bileşikleri izole etmek için en yüksek aktivitenin görüldüğü ekstreler olan *H. sphondylium* subsp. *cyclocarpum* bitkisinin toprak altından hazırlanan diklorometan ve metanollu ekstreler ayrı ayrı kolon kromatografisine uygulandı. Adsorban olarak silikajel 60 (230-400 mesh, 0,040-0,063 mm, Merck ASTM) kullanıldı.

### **Diklorometanlı Ekstrede Silikajel Kolon Uygulamaları**

Silikajel 350 gram tartıldı ve hekzanla karıştırılarak 5 x 80 cm büyülüğünde kolona dolduruldu. *H. sphondylium* subsp. *cyclocarpum* köklerinin diklorometanlı ekstresi (14,4003 g) aynı miktarda silikajel ile karıştırılarak kurutuldu ve kolona kuru halde tatbik edildi. *n*-Hekzan:etilasetat (8:2) çözücü sistemi ile elüsyona başlandı. 200-250 ml hacimde 121 fraksiyon toplandı. Sonrasında diklorometan:metanol (8:2) çözücü sistemine geçirilerek 200-250 ml hacimlerde 8 fraksiyon toplandı. En son metanol ile elüsyon yapılarak toplam 140 fraksiyon elde edildi ve elüsyon bitirildi. Elde edilen fraksiyonlar rotavaporda yoğunlaştırılarak İTK ve YPSK yöntemleri ile kimyasal içerikleri açısından kontrol edildi. Her iki kromatografik yöntem ile elde edilen sonuçlar birlikte değerlendirilerek benzer kimyasal içeriğe sahip olan fraksiyonlar birleştirildi. Birleştirilen fraksiyonlar antienflamatuvlar aktiviteleri için test edildi.

### **Metanollu Ekstrede Silikajel Kolon Uygulamaları**

Silikajel 350 gram tartıldı ve etilasetatla karıştırılarak 5 x 80 cm büyülüğünde kolona dolduruldu. *H. sphondylium* subsp. *cyclocarpum* köklerinin metanollu ekstresi (21,0867 gr) aynı miktarda silikajel ile karıştırılarak kurutuldu ve kolona kuru halde tatbik edildi. Kolondan etilasetat:metanol:su (80:13,5:10) çözücü sistemi geçirilerek 200-250 ml hacimde 52 fraksiyon toplandı. Ardından kolon metanolle yıkandı ve 9 metanollu fraksiyon toplandı. Elde edilen fraksiyonlar rotavaporda yoğunlaştırılarak İTK ve YPSK yöntemleri ile kimyasal içerikleri incelendi. Benzer kimyasal içeriğe sahip olan fraksiyonlar birleştirildi. Birleştirilen fraksiyonlar antienflamatuvlar aktiviteleri için test edildi.

### **Yüksek Performans Sıvı Kromatografisi Uygulamaları**

#### **Analitik Yüksek Performans Sıvı Kromatografisi Uygulamaları**

Analitik YPSK analizleri Agilent 1260 G1315 DAD cihazı ile ACE 5 C18 (250 x 4,6 mm; 5 µl partikül büyülü) kolon kullanılarak yapıldı.

Hazırlanan ekstrelerin fitokimyasal içerikleri hakkında ön bilgi sahibi olabilmek için Çizelge 3 ve

## EK-11 Sonuç Raporu Forması

Çizelge 4'te verilen analiz koşulları kullanılarak YPSK analizi yapıldı. Kumarin, flavonoit ve fenolik asit içerikleri kalitatif ve kantitatif olarak araştırıldı. Kumarin standarı olarak angelisin, bergapten, ksantotoksin, ostol, edulisin III, edulisin IV, umbelliferon, imperatorin, izoimperatorin, deltoin, kolumbianetin, izoepoksipteriksin; flavonoit standarı olarak amentoflavon, apigenin, apigenin-7-O- $\beta$ -glikozit, hiperozit, izokersetin, kemferol, kersetin, luteolin, luteolin-7-O- $\beta$ -glikozit, viteksin-2"-O-ramnozit; fenolik asitlerden ise ferulik, gallik, kafeik, kinik, sinapik, siringik, vanilik asit kullanıldı. Diklorometanlı ekstrelerde kalitatif olarak tespit edilen ksantotoksin, imperatorin, angelisin, bergapten ve ostol için kantitatif analiz yapıldı. Ksantotoksin, imperatorin, angelisin, ve ostolün 0,025; 0,05; 0,1; 0,25 ve 0,5 mg/ml; bergaptenin ise 0,005; 0,01; 0,025; 0,05; 0,1; 0,25 ve 0,5 mg/ml konsantrasyondaki çözeltileri hazırlanarak YPSK cihazına üçer kez enjekte edildi. Furanokumarinlerin 254 nm; ostolün 330 nm'deki pik alanları konsatrasyonlarına karşı grafiğe geçirilerek kalibrasyon grafikleri ve denklemeleri elde edildi. Ekstreler 10 mg/ml konsantrasyonlarda hazırlanarak 0,45  $\mu$ m membran filtreden süzüldü ve YPSK cihazına üçer kez enjekte edildi.

Tespit edilen standart maddelerin Limit of detection (LOD) ve Limit of quantitation (LOQ) değerleri sinyal/gürültü oranı sırasıyla 3 ve 10 olacak şekilde hesaplanarak üç gün boyunca 6'şar kez cihaza enjekte edildi.

### Çizelge 3. Diklorometanlı ekstrelerin YPSK analizlerinde kullanılan gradient elüsyon sistemi

Zaman (dk)*	%0,2 o-fosforik asit içeren bidistile su (%)	Metanol (%)	Akış Hızı (mL/dak)	Kolon sıcaklığı (°C)
0	55	45	0,5	40°C
5	34,5	65,5	0,5	40°C
25	33,5	67,5	0,5	40°C
30	0	100	0,5	40°C
35	0	100	0,5	40°C

\*post time: 5 dk

### Çizelge 4. Metanollu ekstrelerin YPSK analizlerinde kullanılan gradient elüsyon sistemi

Zaman (dk)*	%0,2 o-fosforik Asetonitril (%) asit içeren bidistile su (%)	Metanol (%)	Akış Hızı (mL/dak)	Kolon sıcaklığı (°C)
0	90	10	0	40°C
35	0	100	0	40°C
35,01	0	0	100	40°C
40	0	0	100	40°C

\*post time: 5 dk

Diklorometanlı ekstreden elde edilen fraksiyonlar için Çizelge 5; metanollu ekstreden elde edilen fraksiyonlar için Çizelge 6'da verilen analiz koşulları ile akış sistemleri kullanıldı.

İzole edilen maddelerin saf olup olmadığını anlayabilmek ve izole edildikleri fraksiyonlarla karşılaşırıbmek için Çizelge 6'da verilen akış sistemi kullanılarak YPSK analizleri yapıldı.

## Semi-Preparatif Yüksek Performans Sıvı Kromatografisi Uygulamaları

Preparatif YPSK çalışmaları, Agilent 1260 G1315 DAD cihazı ile ACE 5 C18 (250 x 4,6 mm; 5  $\mu$ l partikül büyülüklüğü) kolon kullanılarak yapıldı.

Diklorometanlı ekstrenin en aktif bulunan fraksiyonu 127-140 için Çizelge 7; metanollu ekstrenin en aktif bulunan fraksiyonu 1-10 için Çizelge 8'de verilen akış sistemleri kullanıldı. Semi-preparatif YPSK çalışmalarında kolon firını kullanılmadı.

## EK-11 Sonuç Raporu Formatı

**Çizelge 5.** Diklorometanlı ekstreye ait fraksiyonların YPSK analizlerinde kullanılan gradient elüsyon sistemi

Zaman (dk)*	%0,2 asit içeren bidistile su (%)	o-fosforik Asetonitril (%)	Metanol (%)	Akış (mL/dak)	Hızı Kolon (°C)	sıcaklığı (°C)
0	60	40	0	1	40°C	
25	15	85	0	1	40°C	
25,01	0	0	100	1	40°C	
30	0	0	100	1	40°C	

\*post time: 5 dk

**Çizelge 6.** Metanollu ekstreye ait fraksiyonların YPSK analizlerinde kullanılan gradient elüsyon sistemi

Zaman (dk)*	%0,2 fosforik asit (%) içeren bidistile su (%)	o-Asetonitril	Metanol (%)	Akış (mL/dak)	Hızı Kolon (°C)	sıcaklığı (°C)
0	90	10	0	1	40°C	
20	40	60	0	1	40°C	
20,01	0	0	100	1	40°C	
25	0	0	100	1	40°C	

\*post time: 5 dk

**Çizelge 7.** Diklorometanlı ekstrenin aktif fraksiyonu (127-140) için semi-preparatif YPSK çalışmalarında kullanılan gradient elüsyon sistemi

Zaman (dk)*	Bidistile su (%)	Asetonitril (%)	Metanol (%)	Akış Hızı (mL/dak)
0	90	10	0	1,5
20	47,5	52,5	0	1,5
20,01	0	0	100	1,5
26	0	0	100	1,5

\*post-time: 4 dk

**Çizelge 8.** Metanollu ekstrenin aktif fraksiyonu (1-10) için semi-preparatif YPSK çalışmalarında kullanılan gradient elüsyon sistemi

Zaman (dk)*	Bidistile su (%)	Asetonitril (%)	Metanol (%)	Akış Hızı (mL/dak)
0	70	0	30	1,5
5	47	0	53	1,5
5,01	47	0	53	1,2
11,00	44,3	0	55,7	1,2
11,01	0	100	0	1
12	0	100	0	1
12,01	0	0	100	1
18	0	0	100	1

\*: post-time: 3 dk

### Izole Edilen Bileşiklerin Yapı Tayini

Semi-preparatif YPSK ile izole edilen maddelerin yapı tayini için KS, <sup>1</sup>H-, <sup>13</sup>C- ve 2D NMR (HMBC, COSY, TOCSY, HSQC) teknikleri kullanıldı.

### Nükleer Manyetik Rezonans (NMR) Spektroskopisi

Bileşiklerin dötorometanol (MeOD) ve dötorokloroform ( $\text{CDCl}_3$ ) içinde hazırlanan çözeltilerinin  $^1\text{H}$ -NMR ve  $^{13}\text{C}$ -NMR ayrıca HMBC, COSY, TOCSY, HSQC spektrumları Ankara Üniversitesi Eczacılık Fakültesi Merkez Laboratuvarı II'de bulunan Varian Mercury 400, 400 MHz High Performance Digi NMR Spektrometre cihazı kullanılarak alındı.

### Kütle Spektroskopisi

Izole edilen bileşiklerin kütleleri Ankara Üniversitesi Eczacılık Fakültesi Merkez Laboratuvarı II'de bulunan Waters 2695 Allia Micromass ZQ marka Sıvı kromatografisi (KS)-Kütle spektrometresi cihazı ile ölçüldü. Örnekler metanol içinde çözülüp, dilüe edildikten sonra aşağıda verilen şartlar altında analizler yapıldı.

#### SK/KS Şartlar

YPSK Sistemi	: Waters Alliance
Kolon	: C-18
Hareketli Faz A	: Metanol:Su (50:50)
Hareketli Faz B	: Asetonitril
Akış Hızı	: 0,5mL/dak
Sıcaklık	: 25°C
Enjeksiyon Hacmi	: 10 $\mu\text{L}$

### Antienflamatuvar Etki Çalışmaları

Biyolojik aktivite yönlendirmeli fraksiyonlamanın ilk basamağında hazırlanan ekstrelerin aktiviteleri karagenin, PGE2 ve serotonin nedenli arka pençe ödemi modelleri kullanılarak test edildi. Sonuçlar karşılaştırılarak aktif ekstre/ekstreler tespit edildi. Serotonin nedenli enflamasyonda, ekstrelerde kayda değer sonuçlar elde edilmediği için, bu test fraksiyonlara ve izole edilen maddelere uygulanmadı. Test edilen türler içerisinde *H. sphondylium* subsp. *cyclocarpum* köklerinin diklorometan ve metanollu ekstrelerinin aktivitesinin en yüksek olduğunun belirlenmesi sonucunda daha ileri çalışmalar için bu ekstreler tercih edildi ve kolon kromatografisi sonucu elde edilen fraksiyonların ayrıca en yüksek aktivitenin gözlendiği fraksiyonlardan elde edilen saf maddelerin antienflamatuvar etki tayinleri karagenin ve PGE2 nedenli enflamasyon modelleri kullanılarak yapıldı.

### Test Numunelerinin Hazırlanması

Ekstreler %0,5'lik karboksimetil selüloz (CMC) içinde süspanse edilerek farelere 100 mg/kg dozda gastrik gavaj ile oral olarak uygulandı. Kontrol grubundaki farelere yalnızca %0,5'lik CMC uygulandı. Referans madde olarak kullanılan indometazin (Nobel) %0,5'lik CMC içinde çözülerek 10 mg/kg dozda uygulandı. Test çözeltileri ve referans maddenin uygulanmasından sonra, karagenin, prostaglandin E2 ve serotonin ayrı ayrı uygulanarak enflamasyon oluşturuldu.

### Karagenin Nedenli Arka Pençe Ödemi

50 mg karagenin (Sigma Co., No: C-1013) 2,5 ml serum fizyolojik içerisinde süspanse edildi. Hayvanların sağ arka ayaklarının subplantar dokularına 25  $\mu\text{l}$  karagenin solüsyonu, sol arka ayaklarının subplantar dokularına ise kontrol amaçlı serum fizyolojik solüsyonu enjekte edilerek ödem oluşturuldu. Mikrometrik kumpas (Ozaki Co., Tokyo, Japan) kullanılarak her bir ayağın şişme kalınlığı 90 dakika aralıklarla 6 saat boyunca ölçüldü. Sağ ve sol pençe kalınlığı arasındaki fark enflamasyon seviyesi olarak değerlendirildi. Her bir grubun ortalaması karşılaştırılarak istatistiksel olarak analiz edildi (Toker ve ark., 2004 ve Yesilada ve Küpeli, 2002).

### **Prostaglandin E2 Nedenli Arka Pençe Ödemi**

5 µg PGE2 (Fluka Chemie AG, Art. 82475) 5 µl Tyrode' çözeltisi içinde çözüldü. Hayvanların sağ arka ayaklarının subplantar dokularına 5 µl PGE2 çözeltisi, sol arka ayaklarının subplantar dokularına ise kontrol amaçlı 5 µl Tyrdoe' çözeltisi enjekte edilerek ödem oluşturuldu. Sağ ve sol ayaklardaki şişme farkları mikrometrik kumpas kullanılarak 15 dakika aralıklarla 75 dakika boyunca ölçüldü. Test ve kontrol grupları arasındaki şişme farkları karşılaştırılarak analiz edildi (Küpeli ve Ercil, 2009 ve Yeşilada ve Küpeli, 2007).

### **Serotonin Nedenli Arka Pençe Ödemi**

5 µg serotonin kreatinin sülfat (Merck, Art. 7768) 5 µl Tyrode' çözeltisinde çözüldü. Hayvanların sağ arka ayak subplantar dokularına 5 µl serotonin çözeltisi, sol arka ayak subplantar dokularına ise 5 µl Tyrode' çözeltisi uygulandı. Pençe ödemleri mikrometrik kumpas ile ölçülerek test ve kontrol gruplarının ortalamaları karşılaştırıldı. Ölçümler 6 dakikada bir 30 dakika boyunca yapıldı (Erdemoğlu ve ark., 2009 ve Küpeli ve ark., 2002).

### **Deney Sonuçlarının İstatistiksel Değerlendirilmesi**

Deney sonuçlarının istatistiksel değerlendirmesi ANOVA testi ile yapıldı. Standart hatalar \*: $p<0,05$ ; \*\*: $p<0,01$  ve \*\*\*: $p<0,001$  olarak ifade edildi.

## **4. Analiz ve Bulgular**

### **Fitokimyasal Çalışmalara Ait Bulgular**

### **Ekstraksiyon Çalışmalarına Ait Bulgular**

*H. sphondylium* subsp. *cyclocarpum*, *H. sphondylium* subsp. *montanum*, *H. sphondylium* subsp. *ternatum*, *H. paphlagonicum* kök ve toprak üstü kısımlarından hazırlanan diklorometan ve metanollu ekstrelerin verimleri Çizelge 9'da verilmiştir.

**Çizelge 9.** *Heracleum* türlerinden elde edilen diklorometan ve metanollu ekstrelerin yüzde verimleri

Bitki Adı	Kullanılan kısım	Diklorometanlı verim (g/g)	ekstre-% Metanollu (g/g)	ekstre-% verim
<i>H. sphondylium</i> subsp. <i>ternatum</i>	K	3,90	8,69	
	T	4,39	5,37	
<i>H. sphondylium</i> subsp. <i>cyclocarpum</i>	K	4,18	6,21	
	T	2,28	7,54	
<i>H. sphondylium</i> subsp. <i>montanum</i>	K	1,35	7,17	
	T	3,73	7,11	
<i>H. paphlagonicum</i>	K	2,72	6,30	
	T	2,12	9,51	

K: Kök, T: Toprak üstü

Ekstrelerin biyolojik aktivite testleri yapıldıktan sonra en aktif çıkan ekstreler, *H. sphondylium* subsp. *cyclocarpum* köklerinin diklorometan ve metanollu ekstreleri olarak belirlendi ve çalışmalara bu ekstreler ile devam edildi. İzolasyon çalışmalarında kullanılmak üzere *H. sphondylium* subsp. *cyclocarpum* köklerinden, 225,64 g bitkisel materyalden hareketle 8.0583 g diklorometanlı, 17,8045 g metanollu ekstre hazırlandı.

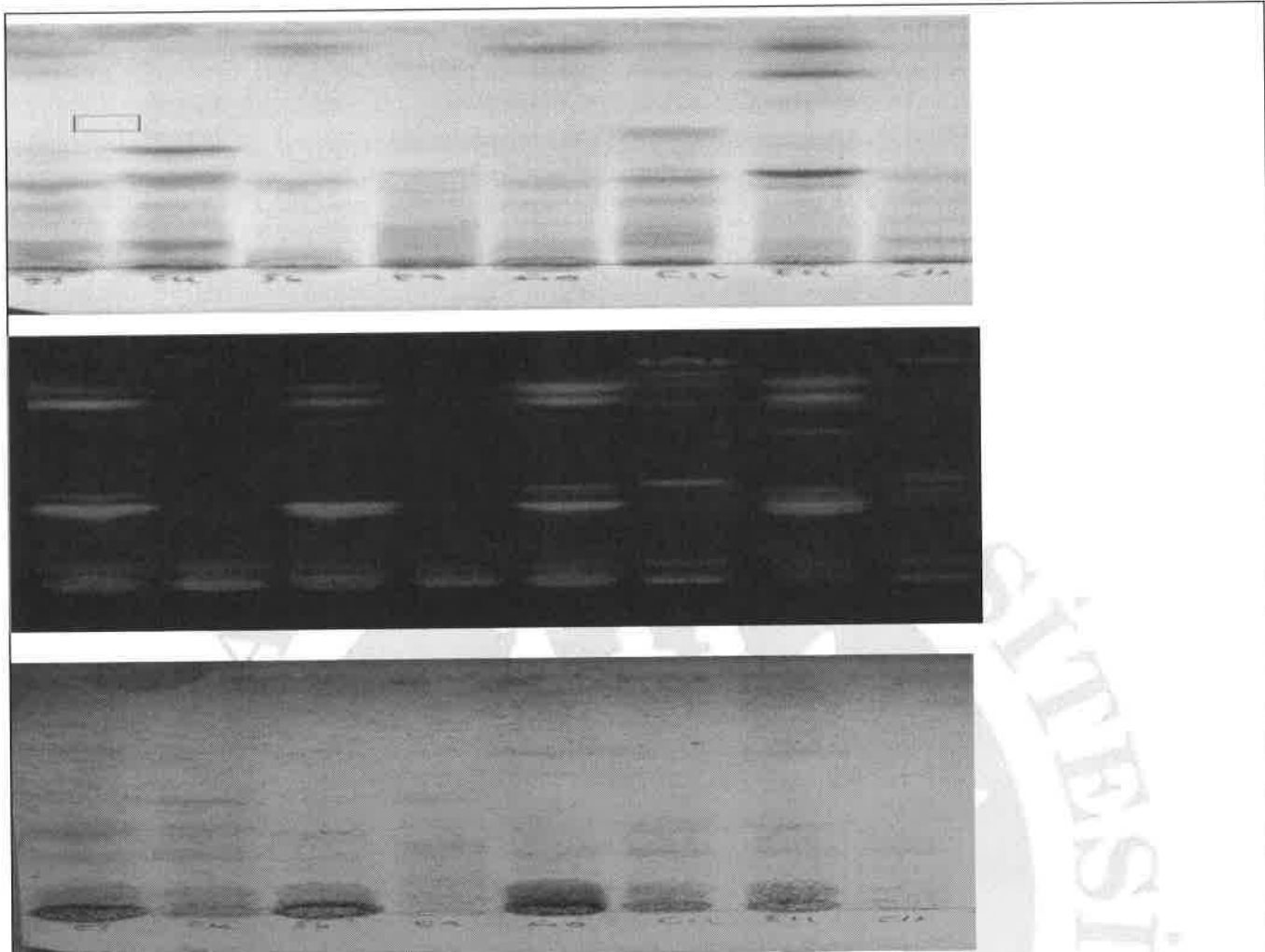
## Kromatografi Çalışmalarına Ait Bulgular

### İnce Tabaka Kromatografisi Çalışmalarına Ait Bulgular

Ekstrelerin fitokimyasal içerikleri hakkında bilgi sahibi olabilmek ve en iyi ayrimın görüldüğü çözücü sistemini/sistemlerini saptayabilmek için İTK çalışmaları yapıldı. Diklorometanlı ekstreler için *n*-hekzan:etilasetat (8:2) çözücü sistemi; metanollu ekstrelerin ise etilasetat:metanol:su (80:13,5:10) çözücü sistemi ile elde edilen İTK kromatogramları Şekil 1 ve 2'de gösterilmiştir.

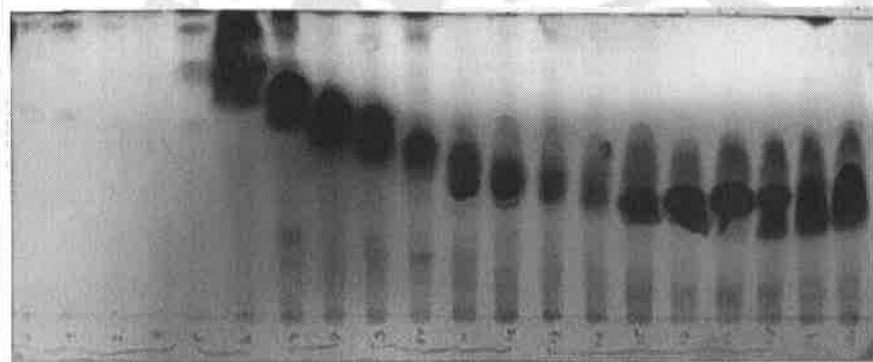
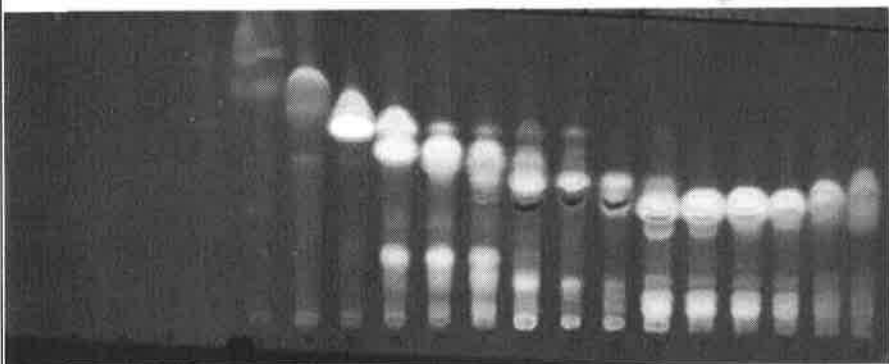
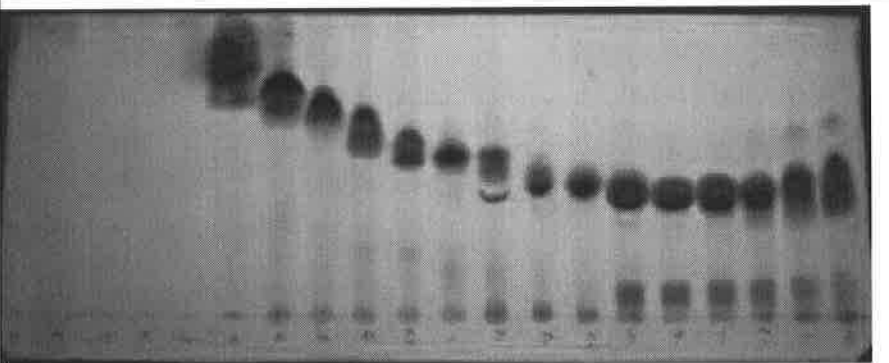


**Şekil 1.** *Heracleum* türlerinin diklorometanlı ekstrelerinin İTK uygulamaları. 254 nm ve 366 nm ışık ile  $\text{H}_2\text{SO}_4$ -Vanilin reaktifi ile muamele edildikten sonraki kromatogramları. Sırasıyla; *H. paphlagonicum* kök ekstresi (1); *H. paphlagonicum* toprak üstü ekstresi (3); *H. sphondylium* subsp. *ternatum* kök ekstresi (5); *H. sphondylium* subsp. *ternatum* toprak üstü ekstresi (7); *H. sphondylium* subsp. *montanum* kök ekstresi (9); *H. sphondylium* subsp. *montanum* toprak üstü ekstresi (11); *H. sphondylium* subsp. *cyclocarpum* kök ekstresi (13); *H. sphondylium* subsp. *cyclocarpum* toprak üstü ekstresi (15).

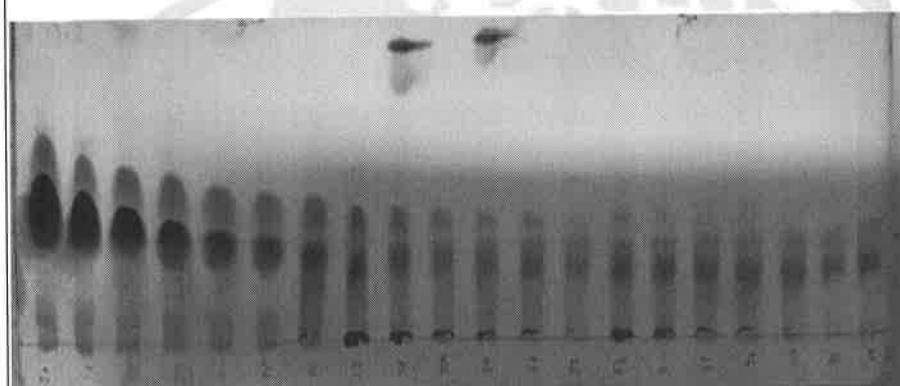
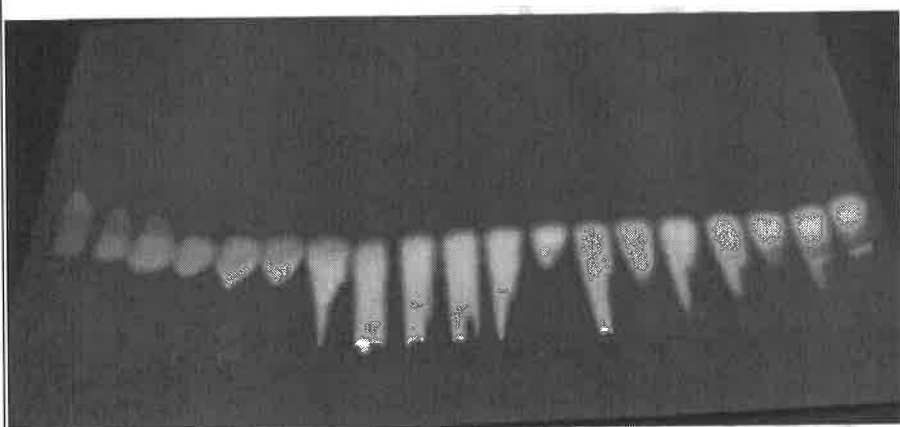
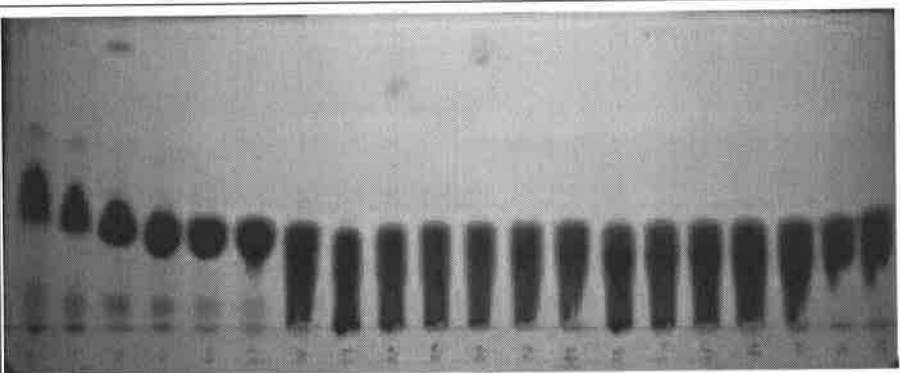


**Şekil 2.** *Heracleum* türlerinin metanollu ekstrelerinin İTK uygulamaları. 254 nm ve 366 nm ışık ile  $H_2SO_4$ -Vanillin reaktifi ile mualeme edildikten sonraki kromatogramları. Sırasıyla; *H. paphlagonicum* kök ekstresi (2); *H. paphlagonicum* toprak üstü ekstresi (4); *H. sphondylium* subsp. *ternatum* kök ekstresi (6); *H. sphondylium* subsp. *ternatum* toprak üstü ekstresi (8); *H. sphondylium* subsp. *montanum* kök ekstresi (10); *H. sphondylium* subsp. *montanum* toprak üstü ekstresi (12); *H. sphondylium* subsp. *cyclocarpum* kök ekstresi (14); *H. sphondylium* subsp. *cyclocarpum* toprak üstü ekstresi (16).

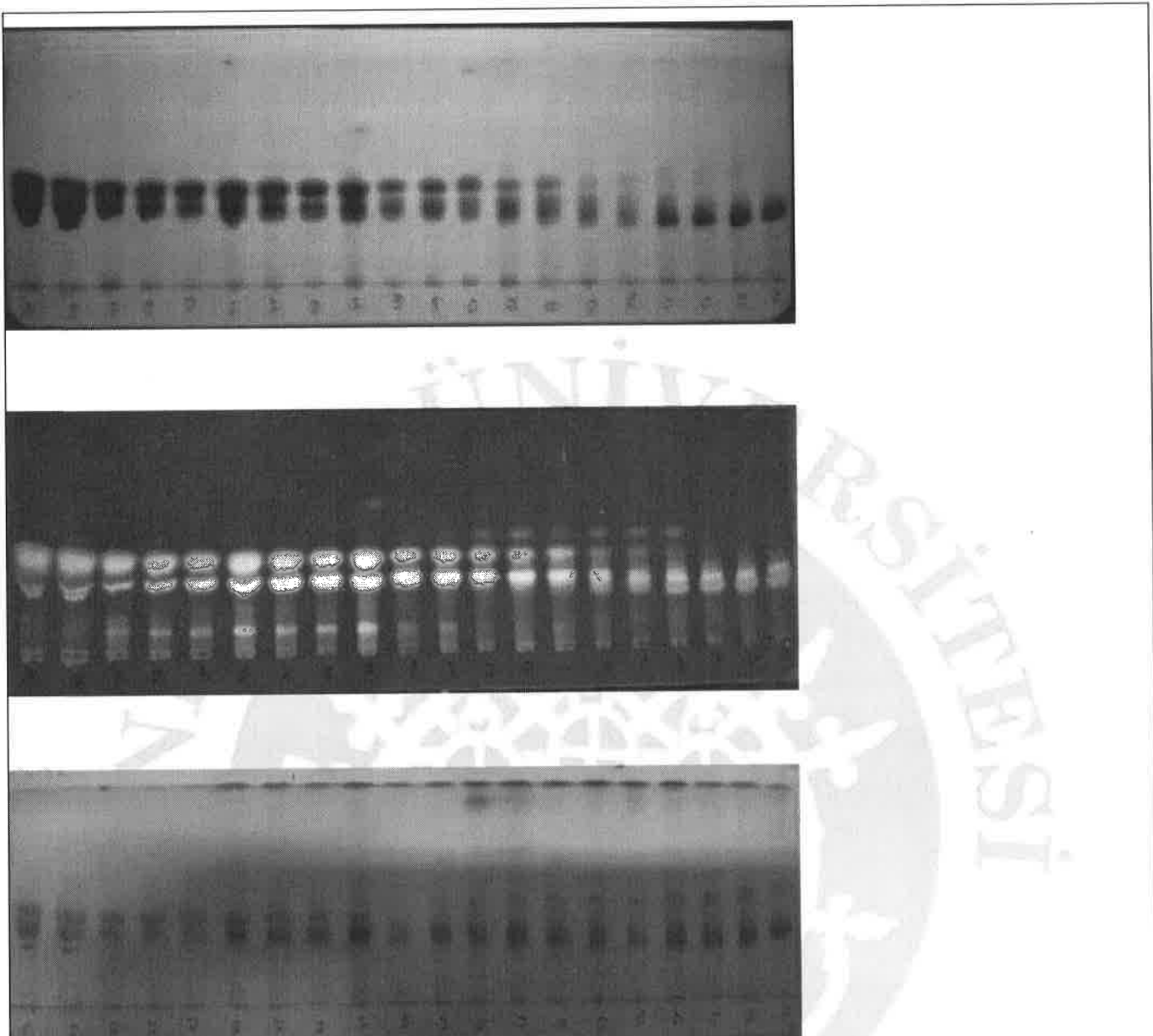
Diklorometanlı ekstrenin silikajel kolonda elüsyonundan elde edilen fraksiyonlar İTK plakları üzerinde *n*-hekzan:etilasetat (8:2), *n*-hekzan:etilasetat (7:3), *n*-hekzan:etilasetat (6:4) ve etilasetat:metanol:su (80:13,5:10) çözücü sistemleri ile analiz edildi. Diklorometanlı ekstreye ait kromatogramlar Şekil 3-10'da gösterilmiştir.



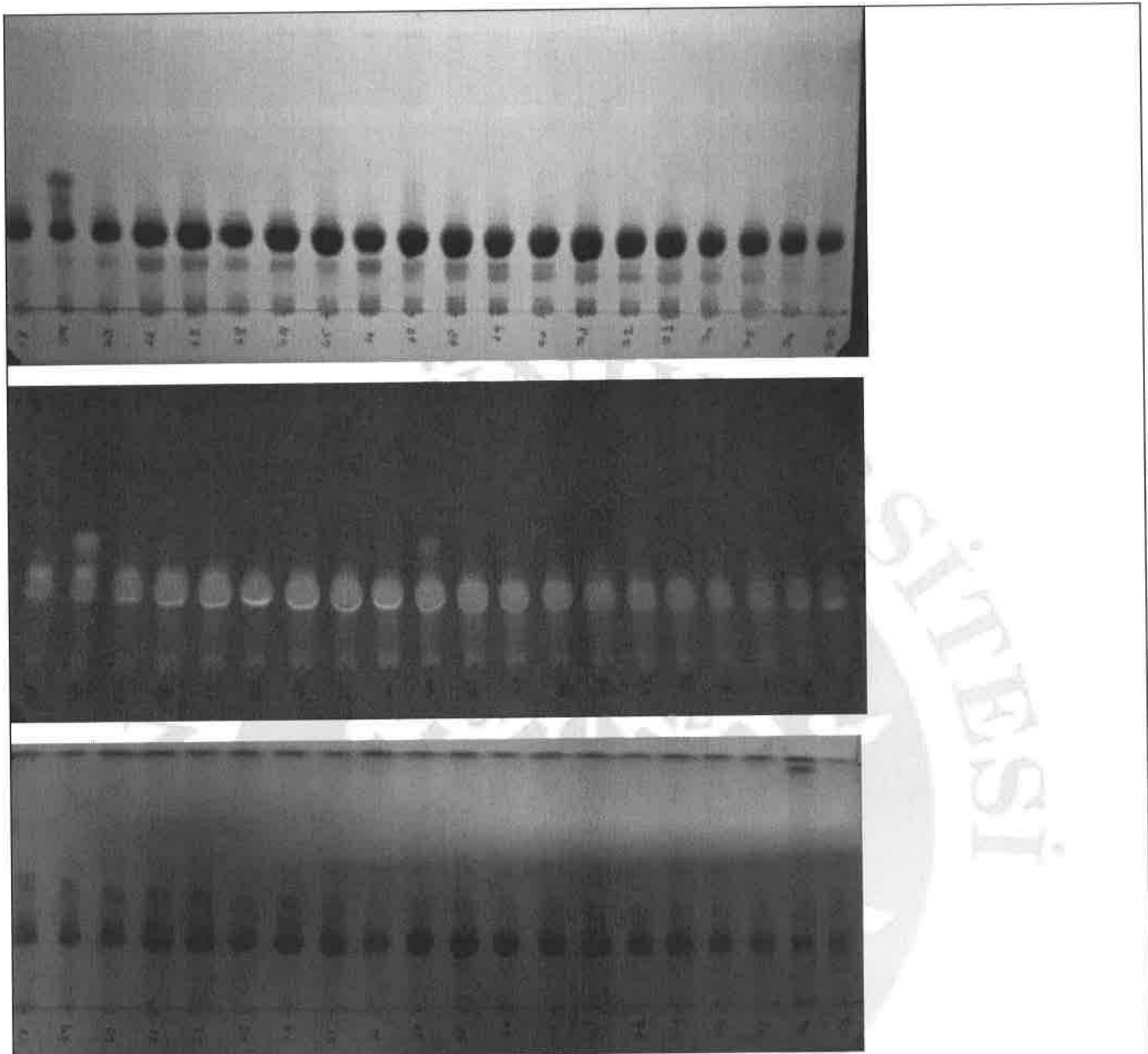
**Sekil 3.** *H. sphondylium* subsp. *cyclocarpum* köklerinin diklorometanlı ekstresinin kolon kromatografisiyle elde edilen fraksiyonlarının İTK kromatogramları (Fraksiyon 1-20). Silikajel plaklar üzerinde *n*-hekzan:etilasetat (8:2) çözücü sistemiyle yürütüülerek UV<sub>254</sub>, UV<sub>366</sub> ışık altında ve H<sub>2</sub>SO<sub>4</sub>-vanilin reaktifi ile muamele edildikten sonra.



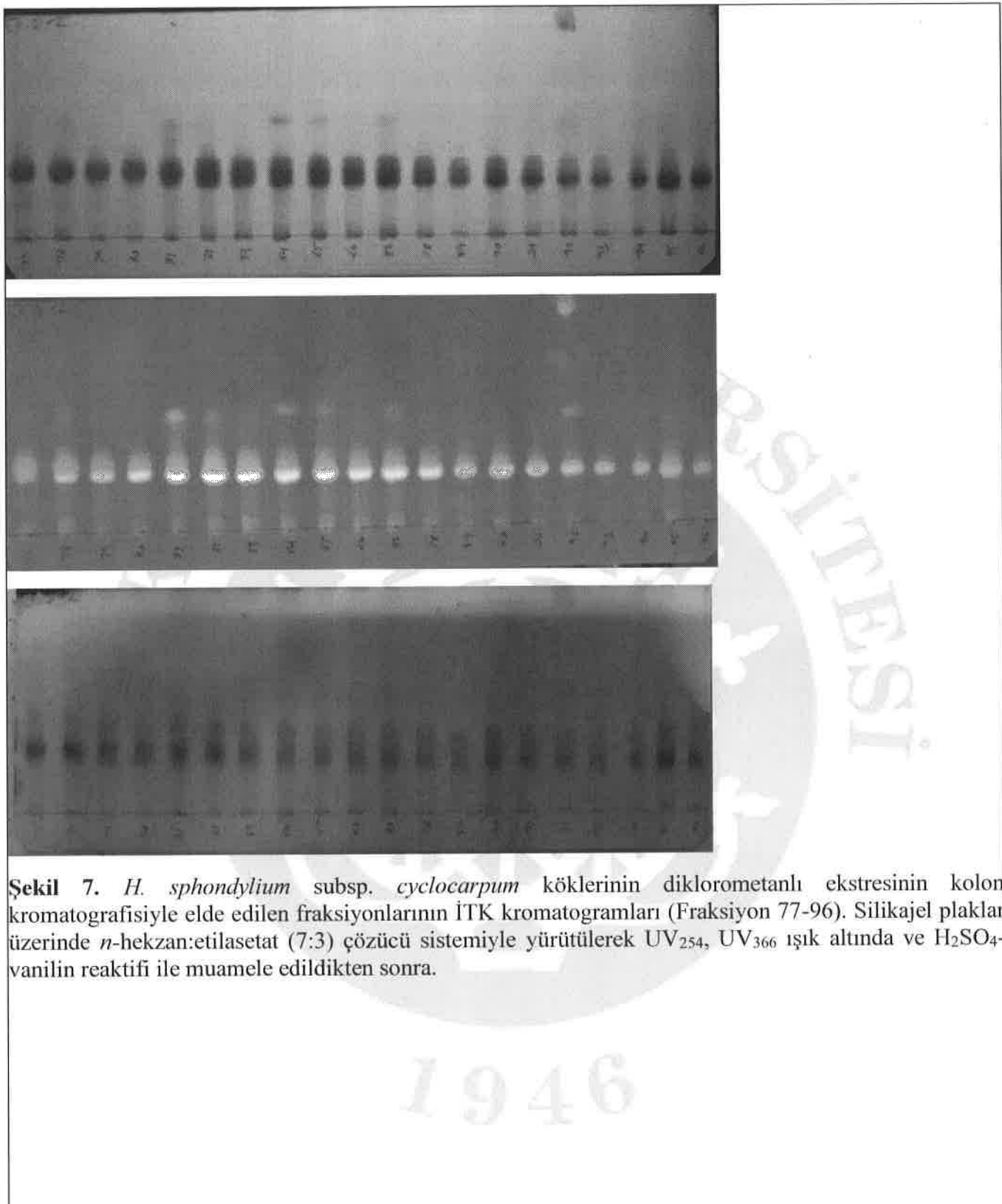
**Şekil 4.** *H. sphondylium* subsp. *cyclocarpum* köklerinin diklorometanlı ekstresinin kolon kromatografisiyle elde edilen fraksiyonlarının İTK kromatogramları (Fraksiyon 20-39). Silikajel plaklar üzerinde *n*-hekzan:etilasetat (8:2) çözücü sistemiyle yürütüülerek UV<sub>254</sub>, UV<sub>366</sub> ışık altında ve H<sub>2</sub>SO<sub>4</sub>-vanillin reaktifi ile muamele edildikten sonra

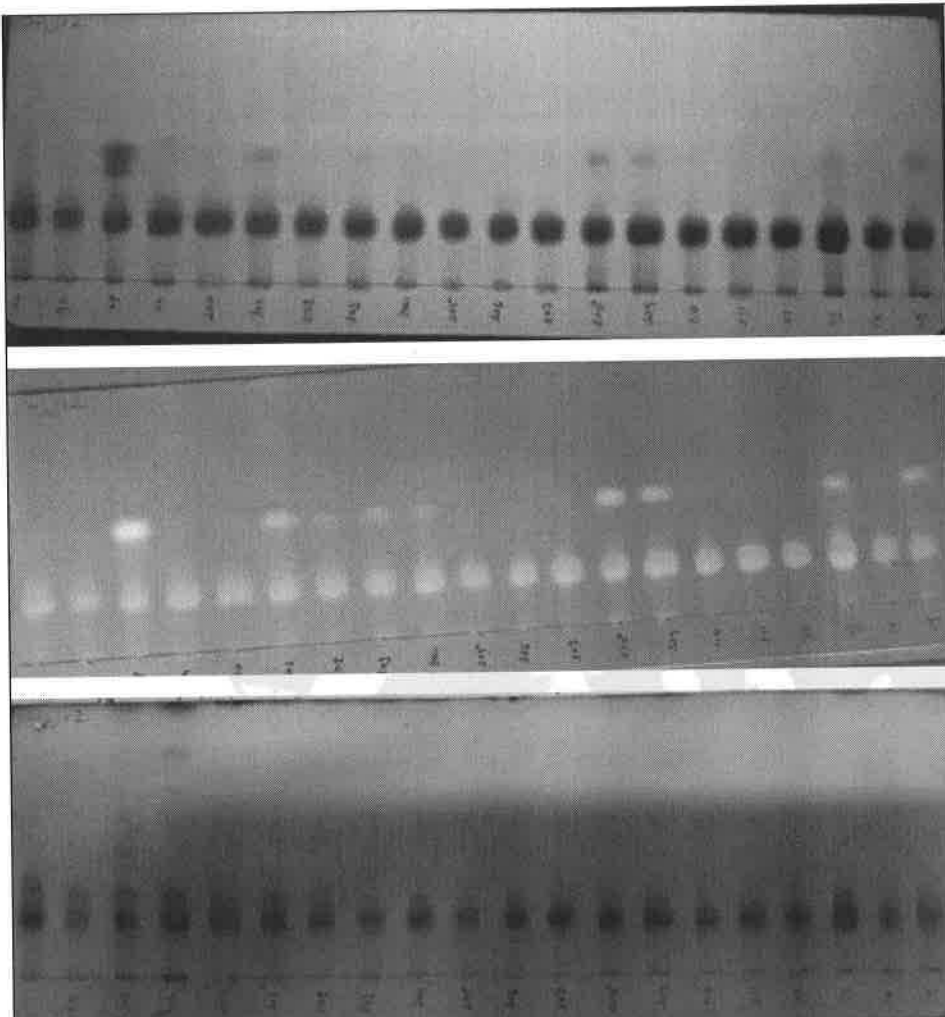


**Sekil 5.** *H. sphondylium* subsp. *cyclocarpum* köklerinin diklorometanlı ekstresinin kolon kromatografisiyle elde edilen fraksiyonlarının İTK kromatogramları (Fraksiyon 39-58). Silikajel plaklar üzerinde *n*-hekzan:etilasetat (7:3) çözücü sistemiyle yürütüülerek UV<sub>254</sub>, UV<sub>366</sub> ışık altında ve H<sub>2</sub>SO<sub>4</sub>-vanillin reaktifi ile muamele edildikten sonraki İTK kromatogramları

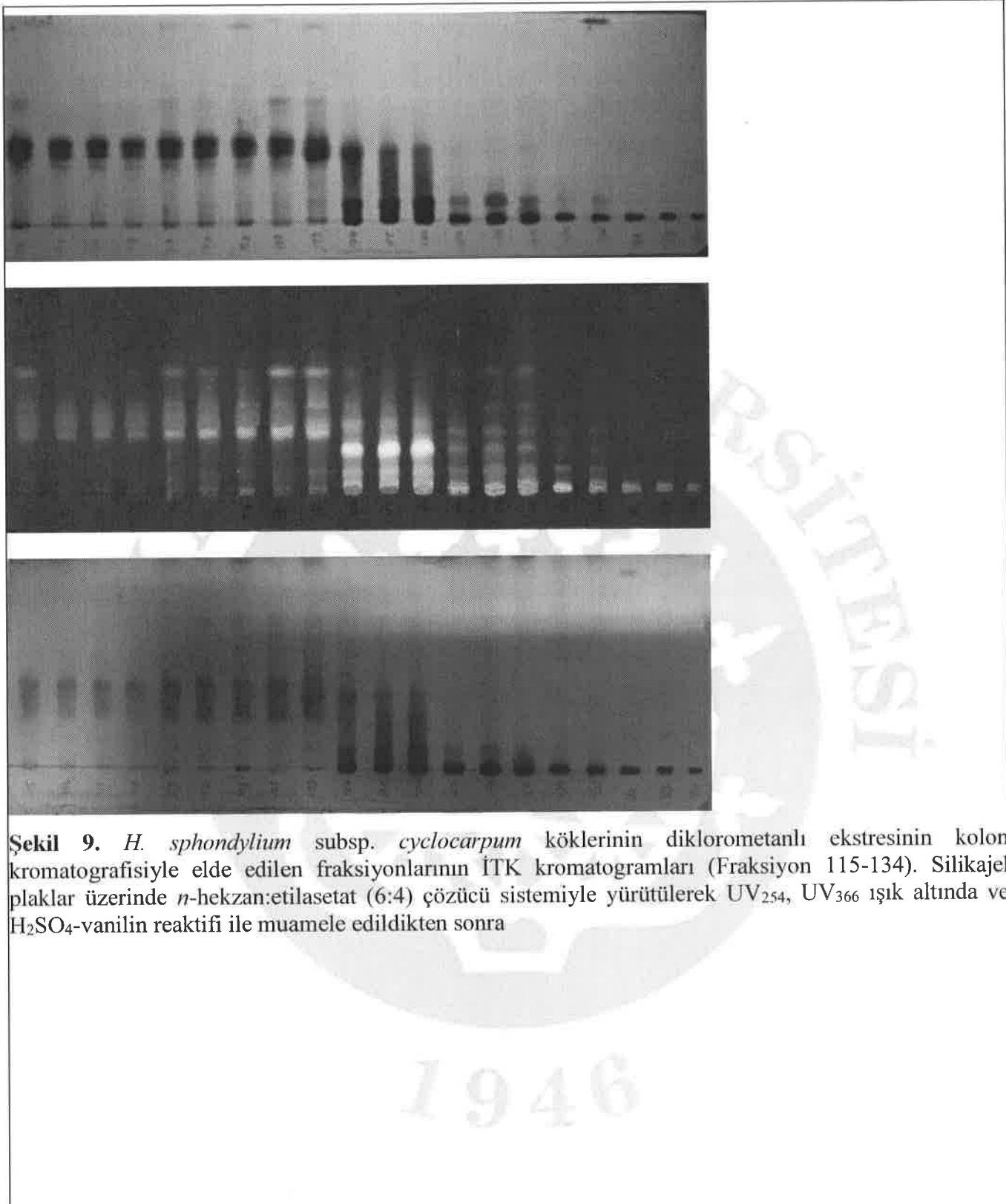


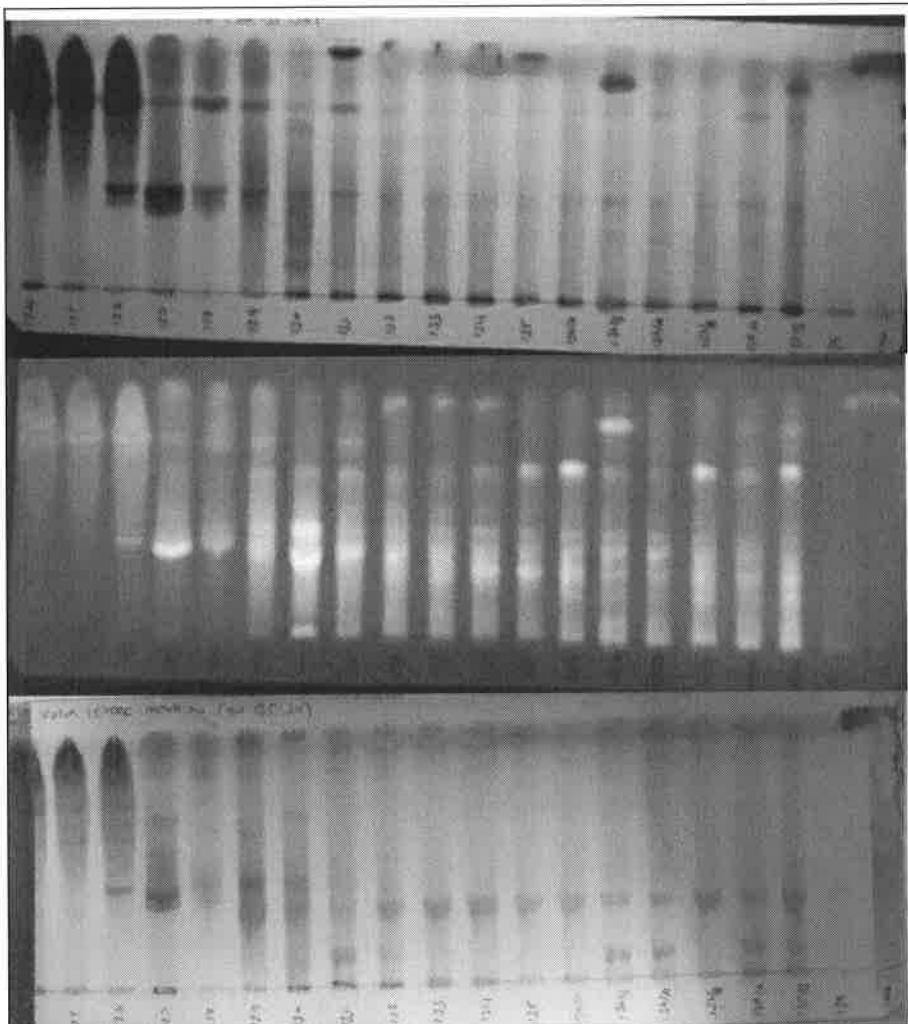
**Sekil 6.** *H. sphondylium* subsp. *cyclocarpum* köklerinin diklorometanlı ekstresinin kolon kromatografisiyle elde edilen fraksiyonlarının İTK kromatogramları (Fraksiyon 58-77). Silikajel plaklar üzerinde *n*-hekzan:etilasetat (7:3) çözücü sistemiyle yürütülerek UV<sub>254</sub>, UV<sub>366</sub> ışık altında ve H<sub>2</sub>SO<sub>4</sub>-vanilin reaktifi ile muamele edildikten sonra





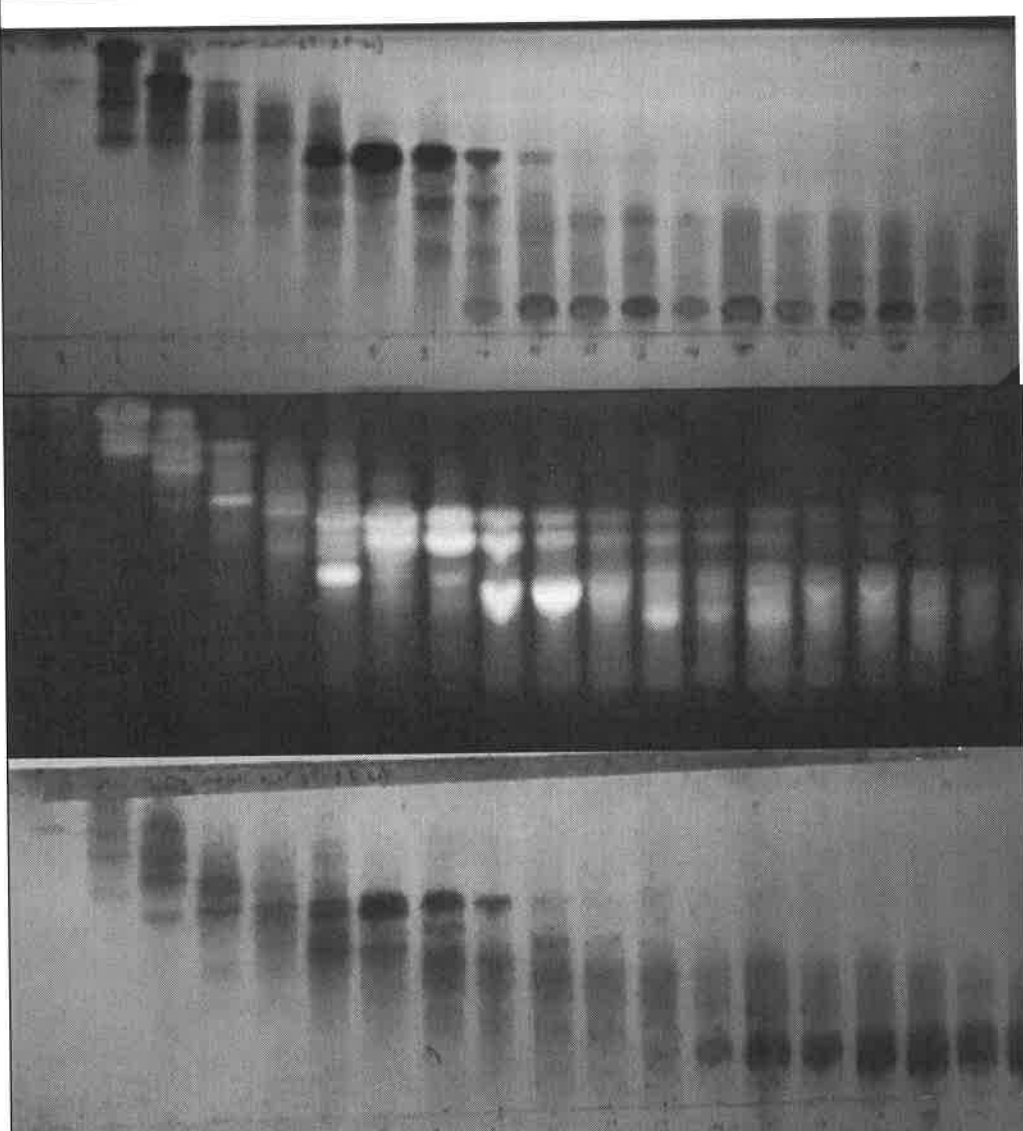
**Şekil 8.** *H. sphondylium* subsp. *cyclocarpum* köklerinin diklorometanlı ekstresinin kolon kromatografisiyle elde edilen fraksiyonlarının İTK kromatogramları (Fraksiyon 96-115). Silikajel plaklar üzerinde *n*-hekzan:etilasetat (7:3) çözücü sistemiyle yürütülerek UV<sub>254</sub>, UV<sub>366</sub> ışık altında ve H<sub>2</sub>SO<sub>4</sub>-vanilin reaktifi ile muamele edildikten sonra



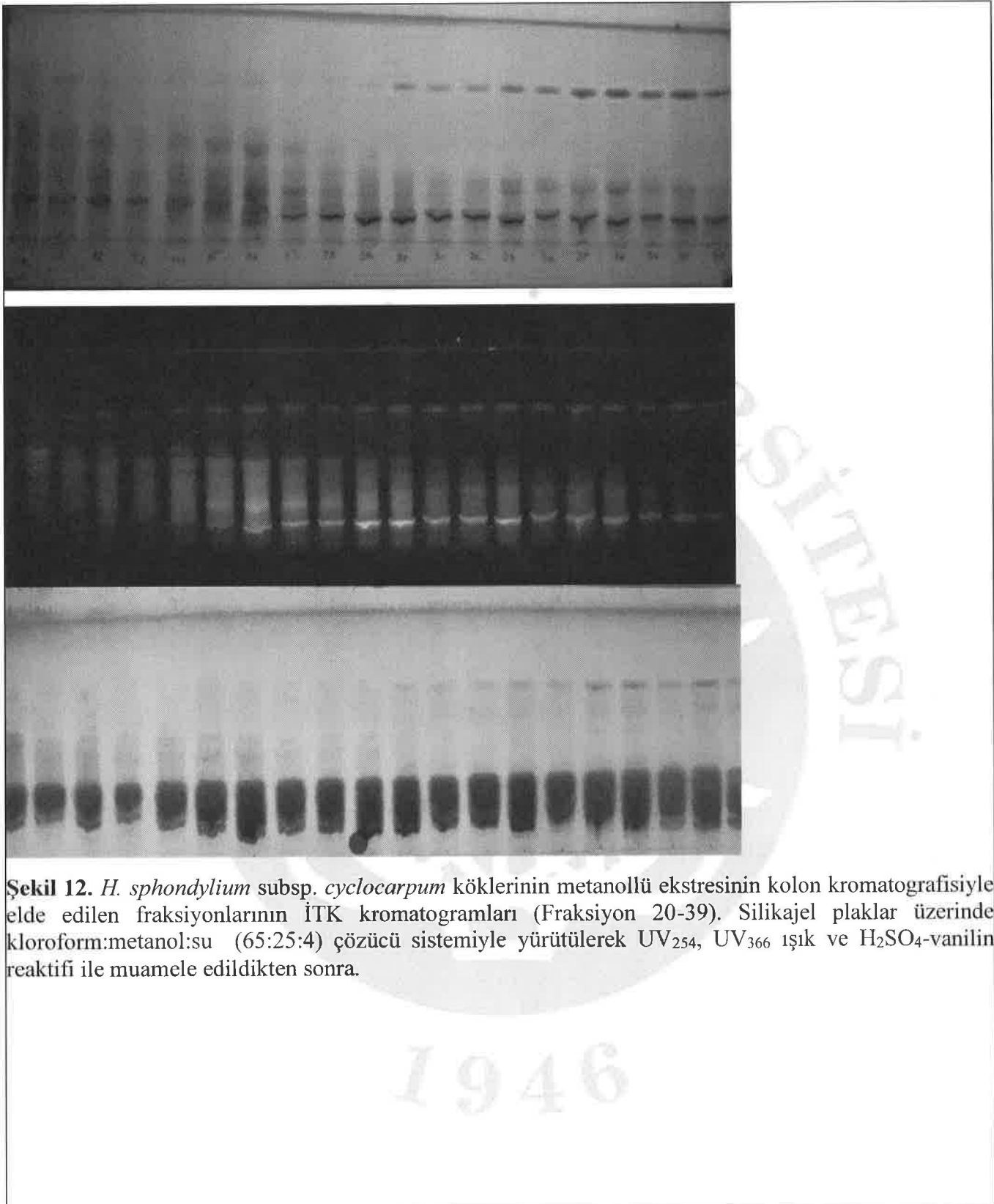


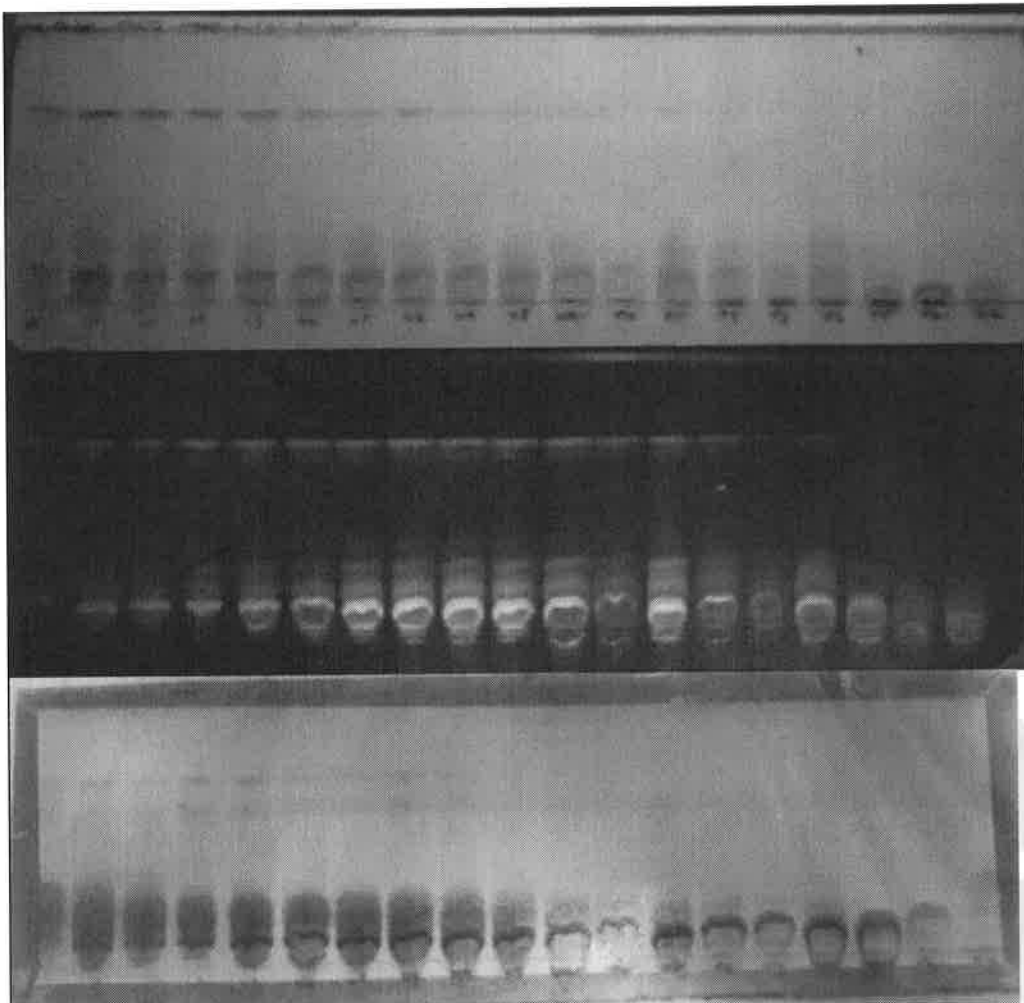
**Şekil 10.** *H. sphondylium* subsp. *cyclocarpum* köklerinin diklorometanlı ekstresinin kolon kromatografisiyle elde edilen fraksiyonlarının İTK kromatogramları (Fraksiyon 124-140). Silikajel plaklar üzerinde etilasetat:metanol:su (80:13,5:10) çözücü sistemiyle yürütülerek UV<sub>254</sub>, UV<sub>366</sub> ışık ve H<sub>2</sub>SO<sub>4</sub>-vanilin reaktifi ile muamele edildikten sonra

Metanollü ekstresinden elde edilen fraksiyonlar silikajel kaplı plaklar üzerinde kloroform:metanol:su (65:25:4) çözücü sisteminde yürütülerek incelendi. Kromatogramlar Şekil 11-13'de verilmiştir.



**Sekil 11.** *H. sphondylium* subsp. *cyclocarpum* köklerinin metanollu ekstresinin kolon kromatografisiyle elde edilen fraksiyonlarının İTK kromatogramları (Fraksiyon 1-20). Silikajel plaklar üzerinde kloroform:metanol:su (65:25:4) çözücü sistemiyle yürütülerek UV<sub>254</sub>, UV<sub>366</sub> ışık ve H<sub>2</sub>SO<sub>4</sub>-vanilin reaktifi ile muamele edildikten sonra.





**Şekil 13.** *H. sphondylium* subsp. *cyclocarpum* köklerinin metanollu ekstresinin kolon kromatografisiyle elde edilen fraksiyonlarının İTK kromatogramları (Fraksiyon 39-57). Silikajel plaklar üzerinde kloroform:metanol:su (65:25:4) çözücü sistemiyle yürütülerek UV<sub>254</sub>, UV<sub>366</sub> ışık ve H<sub>2</sub>SO<sub>4</sub>-vanilin reaktifi ile muamele edildikten sonra.

İzole edilen bileşikler ile bunları içeren fraksiyonlara ait İTK kromatogramları Şekil 14'te verilmiştir.

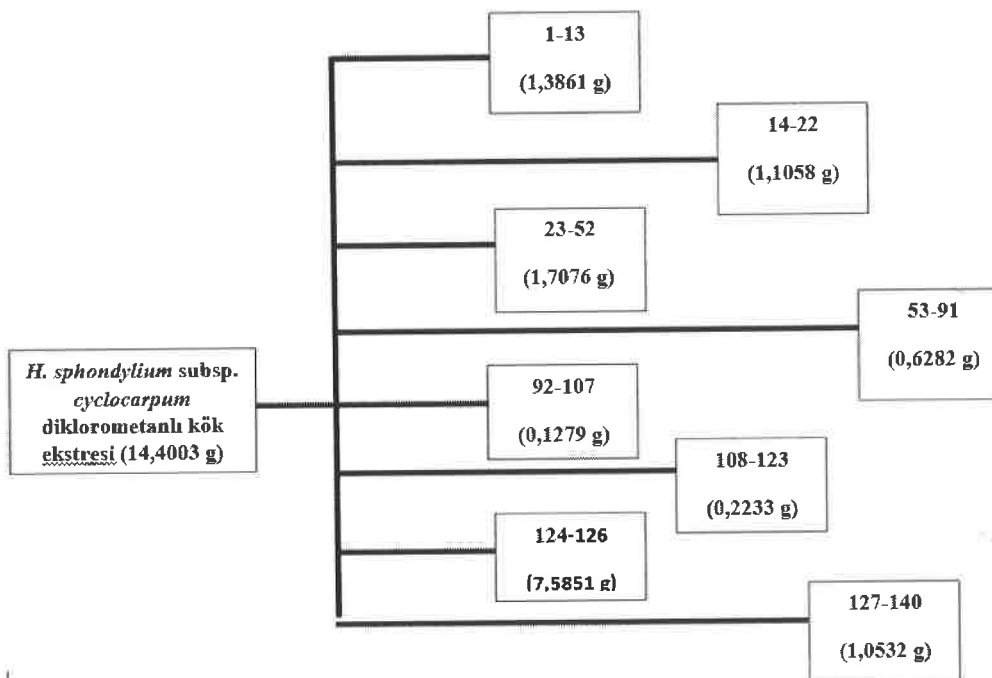


**Şekil 14.** İzole edilen bileşikler ile bunları içeren fraksiyonlara ait İTK kromatogramları. Sırasıyla, C-1, C-2, C-3, C-4, C-5, diklorometanlı ekstrenin aktif fraksiyonu (127-140), metanollu ekstrenin aktif fraksiyonu, Silikajel plaklar üzerinde etilasetat:metanol:su (80:13,5:10) çözücü sistemiyle yürütülerek UV<sub>254</sub>, UV<sub>366</sub> ışık ve H<sub>2</sub>SO<sub>4</sub>-vanilin reaktifi ile muamele edildikten sonraki İTK kromatogramları

### Kolon Kromatografisi Uygulamalarına Ait Bulgular

#### Diklorometanlı Ekstrenin Silikajel Kolon Uygulamalarına Ait Bulgular

*H. sphondylium* subsp. *cyclocarpum* köklerinden hazırlanan diklorometanlı ekstre 14,4003 g tartılarak kolona uygulandı. n-Hekzan:etilasetat (8:2), diklorometan:metanol (8:2) ve %100 metanol çözücü sistemleri ile elüe edilerek 140 fraksiyon toplandı. Fraksiyonların İTK ve YPSK analizleri sonucunda benzer içeriğe sahip olanlar birleştirilip tartıldı (Şekil 15).



**Şekil 15.** *H. sphondylium* subsp. *cyclocarpum* diklorometanlı kök ekstresinin silikajel kolon uygulamaları sonucu elde edilen fraksiyonlar

#### Metanollu Ekstrenin Silikajel Kolon Uygulamalarına Ait Bulgular

*H. sphondylium* subsp. *cyclocarpum* köklerinin metanollu ekstresi 21,0867 g olarak silikajel kolona uygulandı. etilasetat:metanol:su (80:13,5:10) ve % metanol ile 61 fraksiyon toplandı. Fraksiyonların İTK ve YPSK kromatogramları incelenerek benzer fraksiyonlar birleştirildi ve tartıldı (Şekil 16).

## EK-11 Sonuç Raporu Formatı

*H. sphondylium* subsp.  
*cyclocarpum*  
metanollu kök  
ekstresi (21,0867 gr)

1-10  
(4,6803 g)

11-24  
(2,7532 g)

25-54  
(5,6479 g)

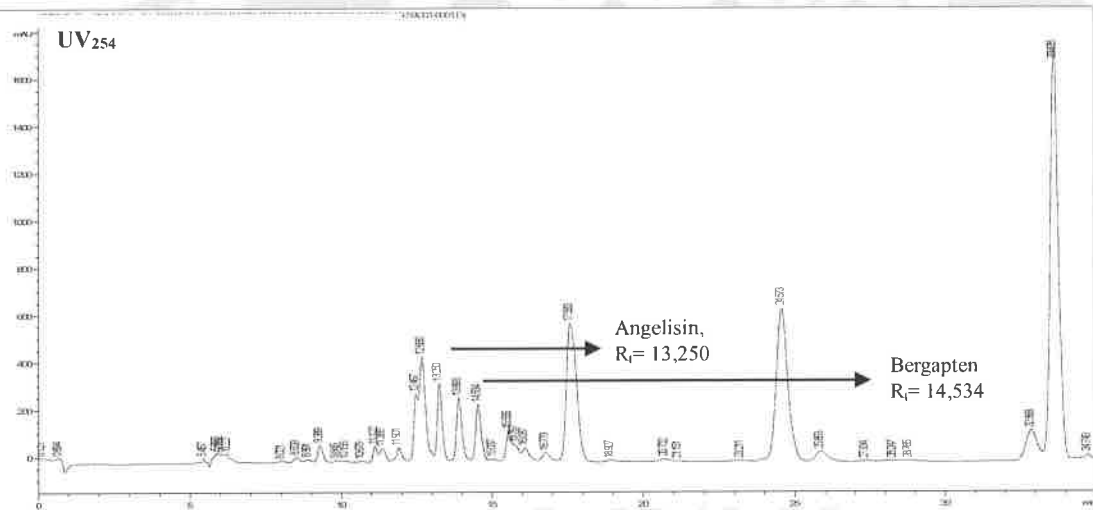
55-61  
(5,7257 g)

**Şekil 16.** *H. sphondylium* subsp. *cyclocarpum* metanollu kök ekstresinin silikajel kolon uygulamaları sonucu elde edilen fraksiyonlar

### Yüksek Performans Sıvı Kromatografisi Uygulamalarına Ait Bulgular

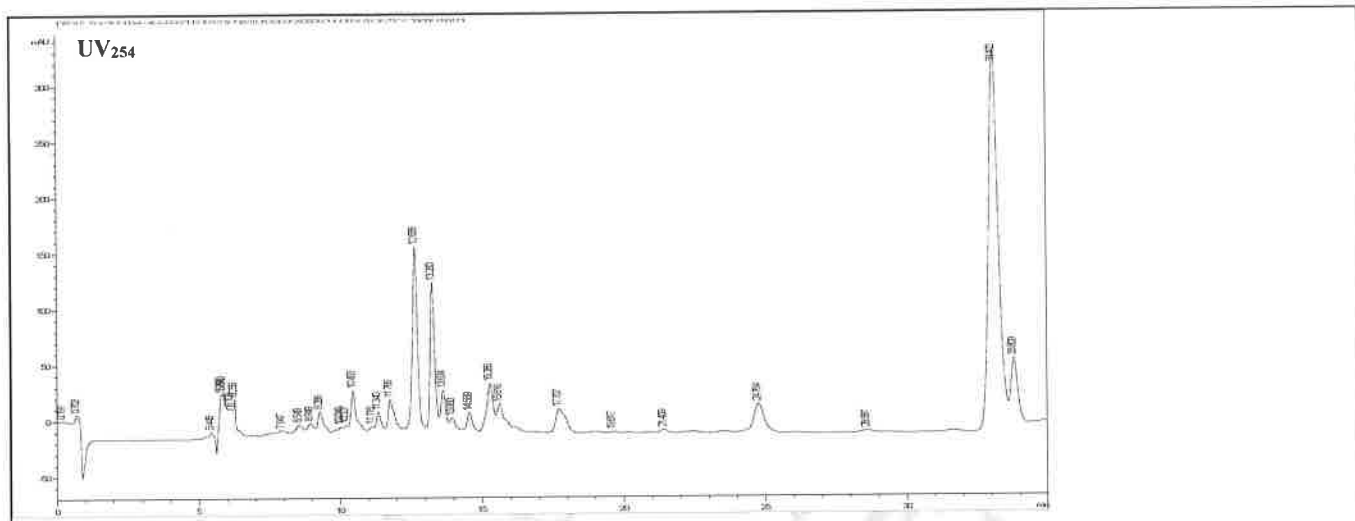
#### Analitik Yüksek Performans Sıvı Kromatografisi Uygulamalarına Ait Bulgular

Diklorometanlı ekstrelerin YPSK kromatogramları ile tespit edilen maddelerin retansiyon zamanları Şekil 17-24'te verilmiştir.

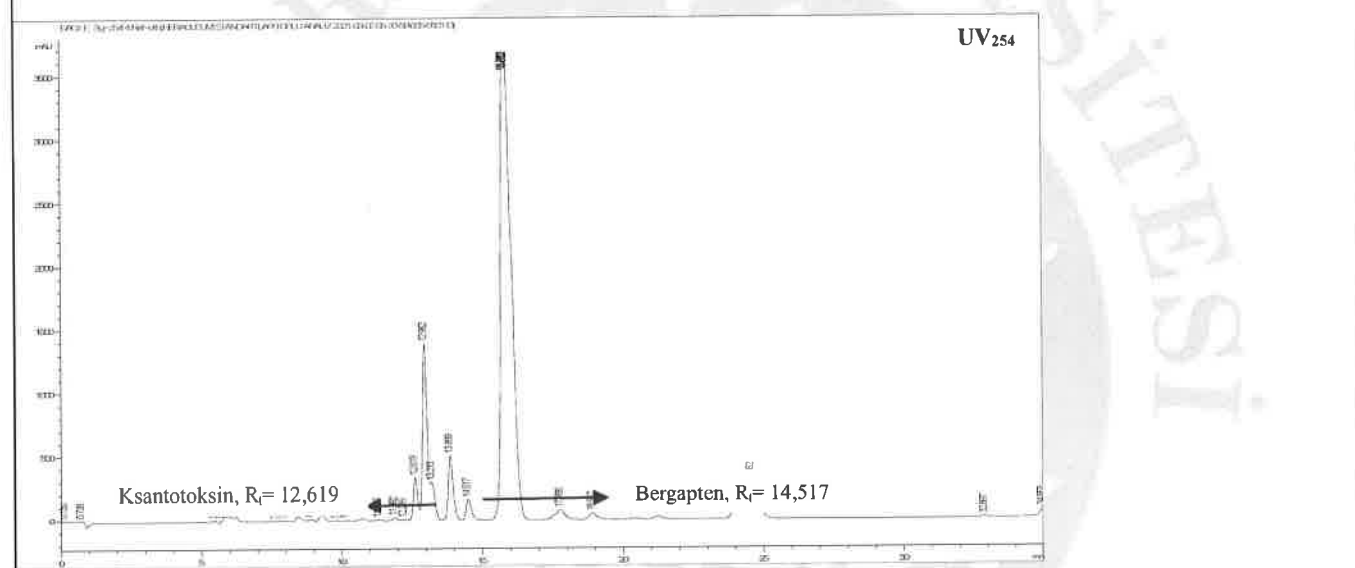


**Şekil 17.** *H. paphlagonicum* diklorometanlı kök ekstresine ait YPSK kromatogramı

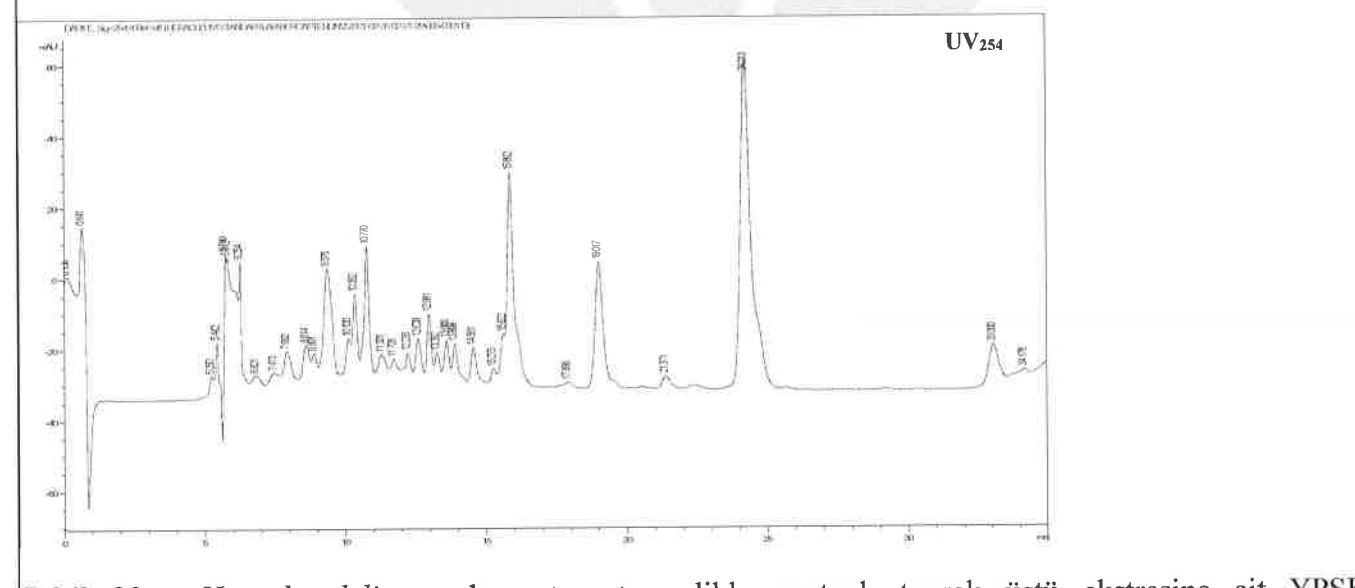
## EK-11 Sonuç Raporu Formatı



**Şekil 18.** *H. paphlagonicum* diklorometanlı toprak üstü ekstresine ait YPSK kromatogramı

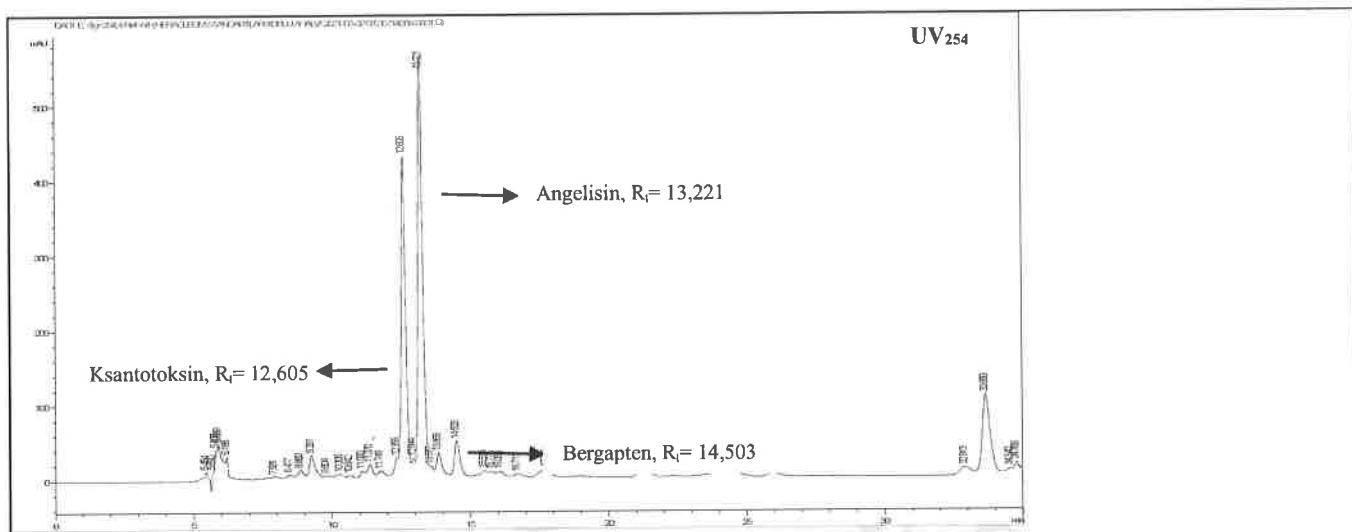


**Şekil 19.** *H. sphondylium* subsp. *ternatum* diklorometanlı kök ekstresine ait YPSK kromatogramı

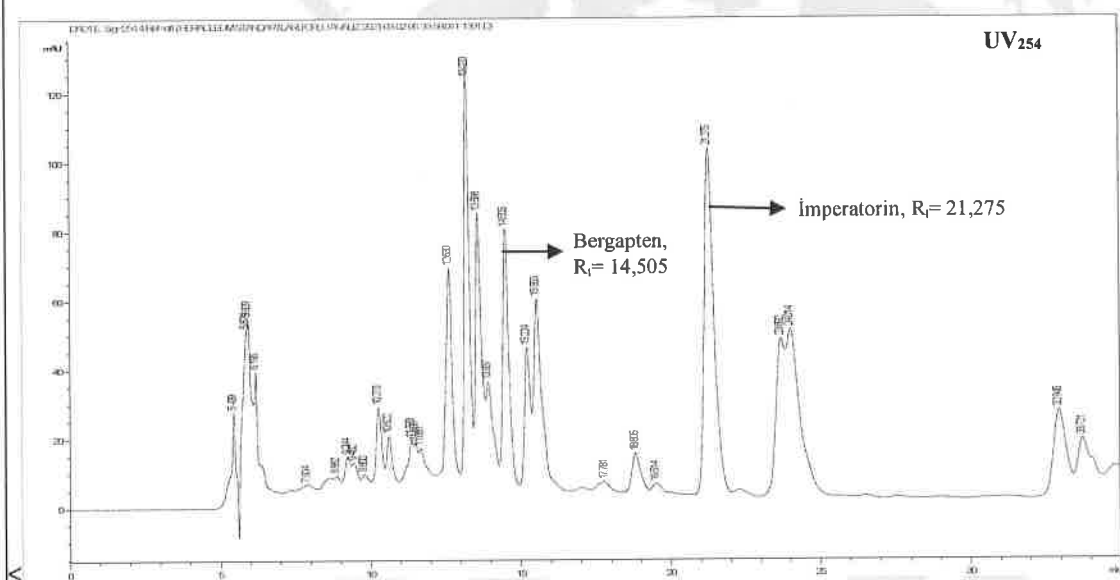


**Şekil 20.** *H. sphondylium* subsp. *ternatum* diklorometanlı toprak üstü ekstresine ait YPSK kromatogramı

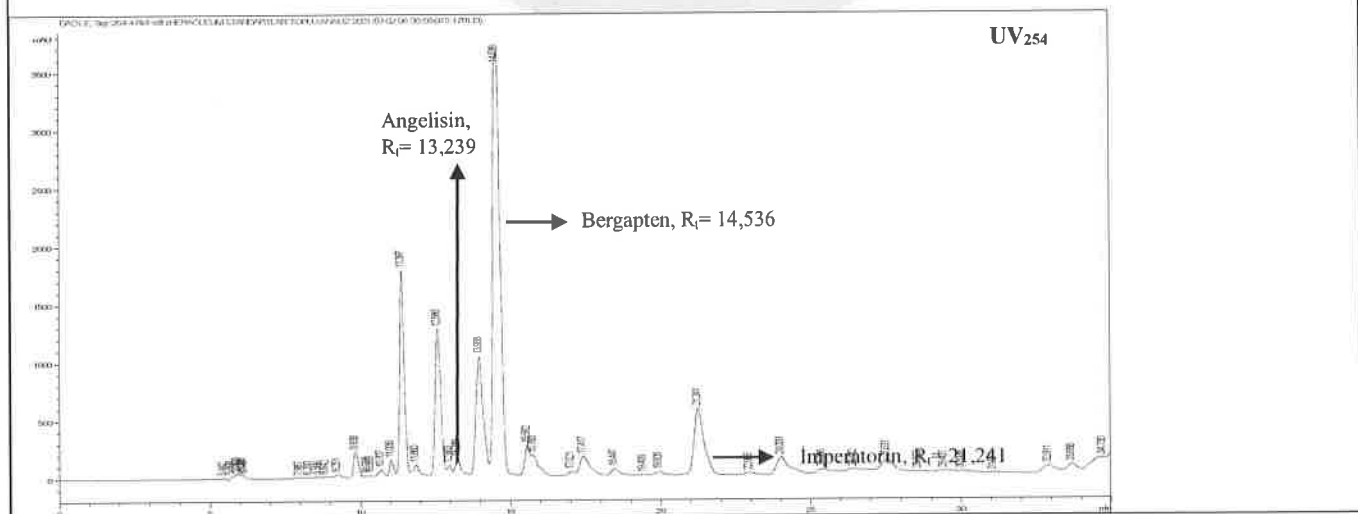
## EK-11 Sonuç Raporu Forması



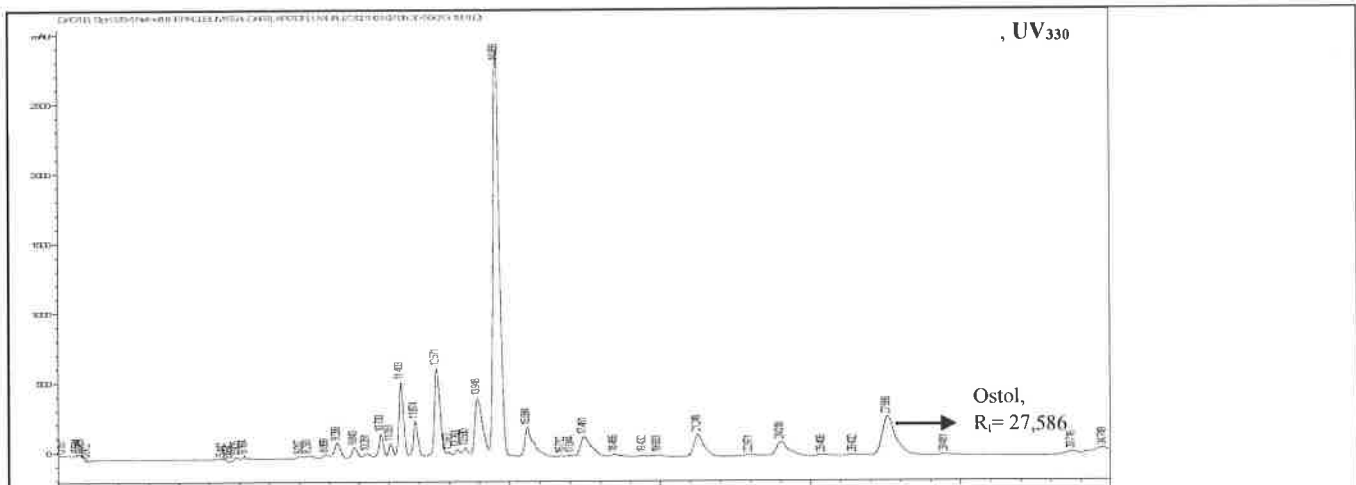
Şekil 21. *H. sphaeroides* subsp. *montanum* diklorometanlı kök ekstresine ait YPSK kromatogramı



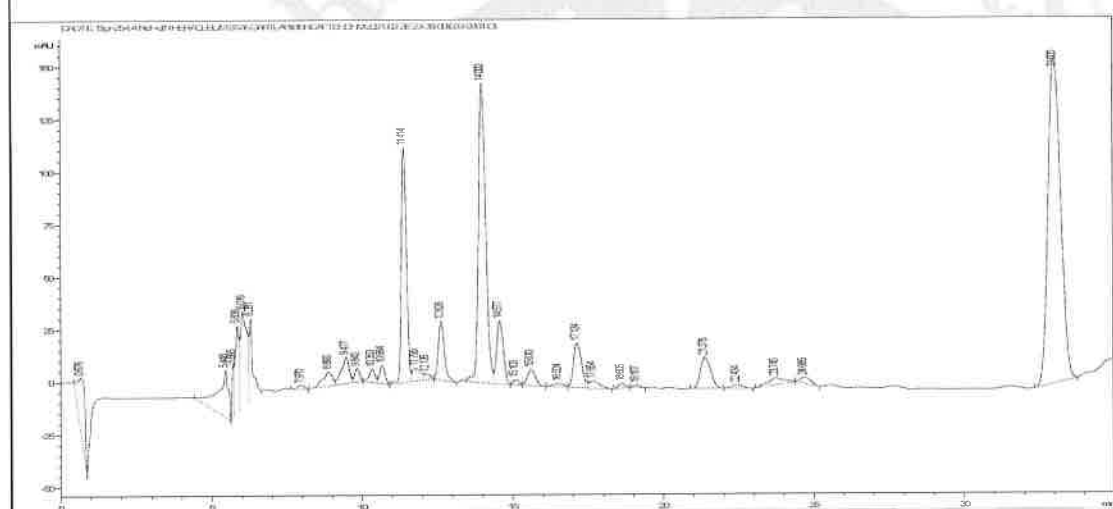
Şekil 22. *H. sphaeroides* subsp. *montanum* diklorometanlı toprak üstü ekstresine ait YPSK kromatogramı



## EK-11 Sonuç Raporu Formatı



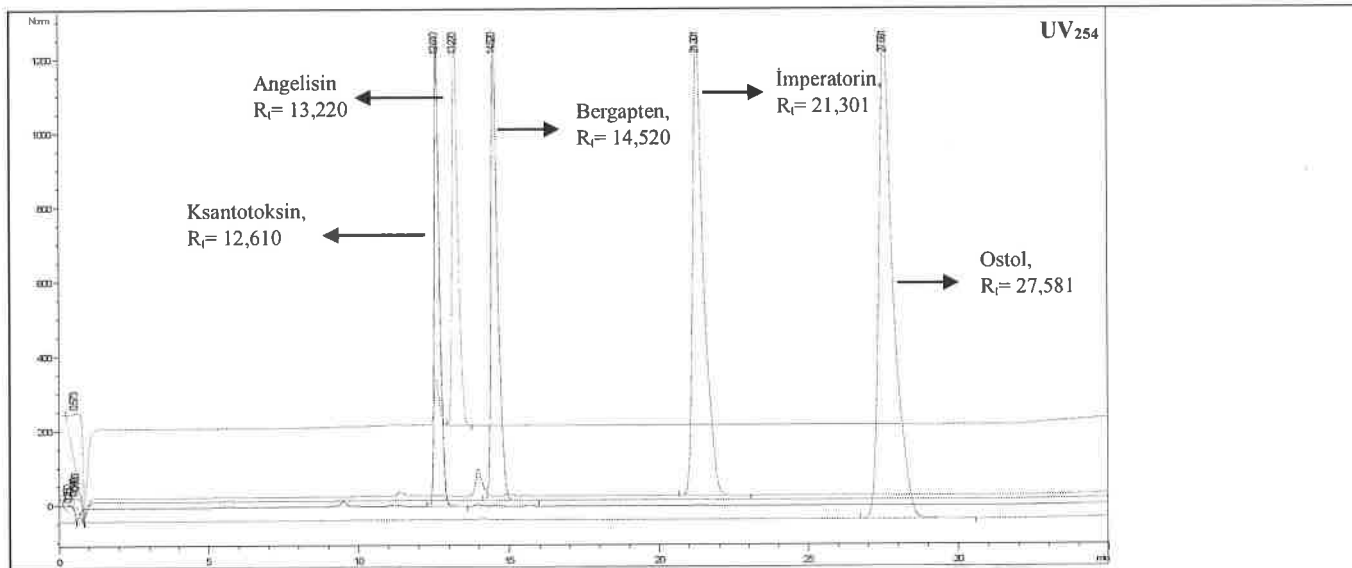
**Sekil 23.** *H. sphondylium* subsp. *cyclocarpum* diklorometanlı kök ekstresine ait YPSK kromatogramı



**Sekil 24.** *H. sphondylium* subsp. *cyclocarpum* diklorometanlı toprak üstü ekstresine ait YPSK kromatogramı

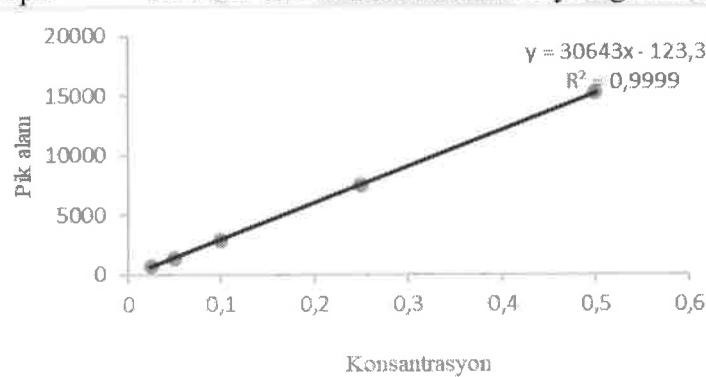
*H. paphlagonicum* köklerinin diklorometanlı ekstresinde angelisin ve bergapten; *H. sphondylium* subsp. *ternatum* köklerinin diklorometanlı ekstresinde ksantotoksin ve bergapten; *H. sphondylium* subsp. *montanum* köklerinin diklorometanlı ekstresinde ksantotoksin, angelisin ve bergapten; *H. sphondylium* subsp. *montanum* toprak üstü kısımlarının diklorometanlı ekstresinde imperatorin ve bergapten; *H. sphondylium* subsp. *cyclocarpum* köklerinin diklorometanlı ekstresinde imperatorin, angelisin, bergapten ve ostol tespit edildi ve kantitatif YPSK analizleri yapıldı. Tespit edilen maddelere ait YPSK kromatogramı Şekil 25'te verilmiştir.

## EK-11 Sonuç Raporu Formatı

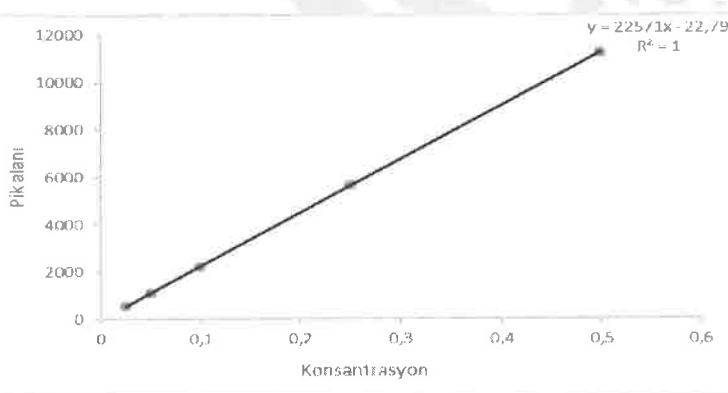


**Şekil 25.** *Heracleum* ekstrelerinde tespit edilen kumarinlerin YPSK kromatogramları

Tespit edilen kumarin türevlerine ait kalibrasyon grafikleri ve denklemleri Şekil 26-30'da verilmiştir.

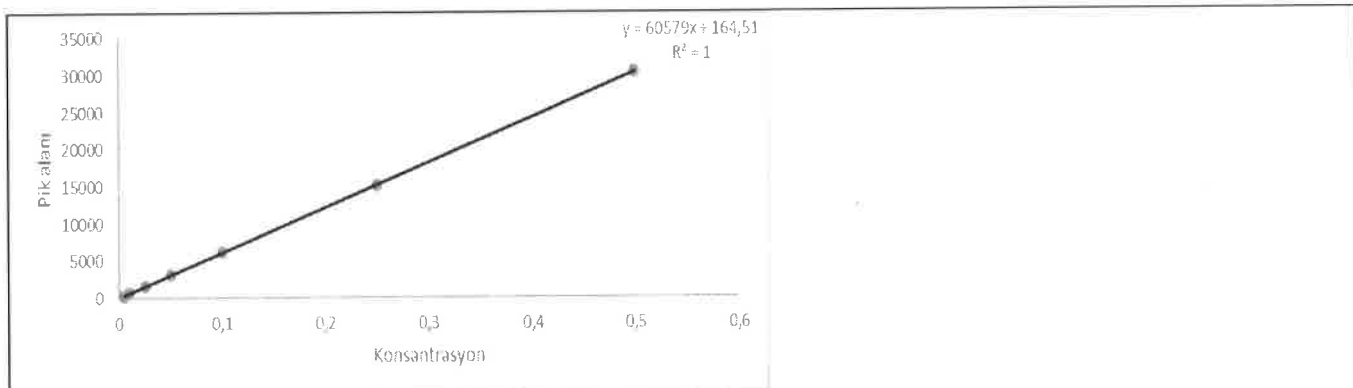


**Şekil 26.** Ksantotoksin kalibrasyon grafiği ve denklemi

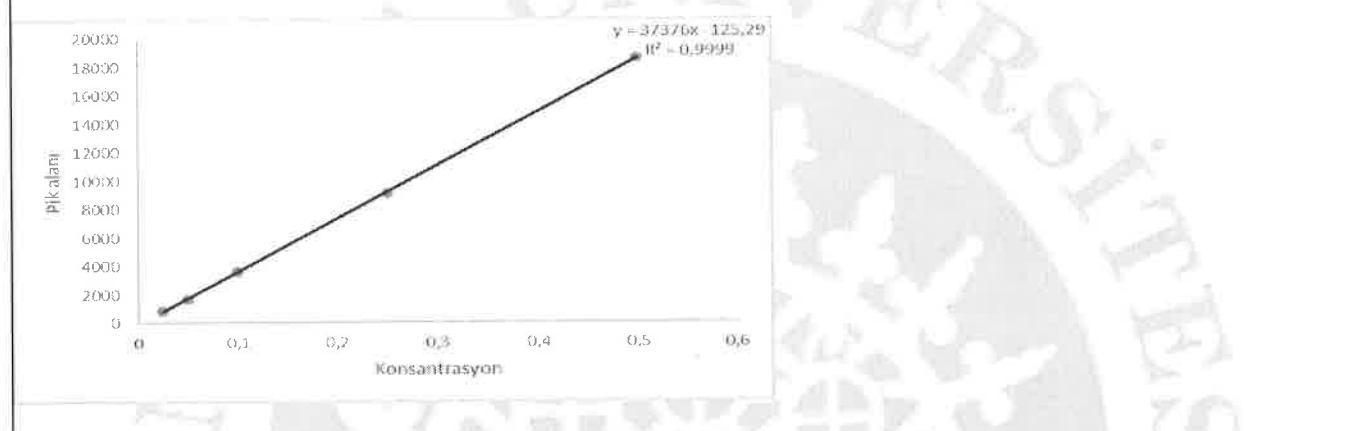


**Şekil 27.** Angelisin kalibrasyon grafiği ve denklemi

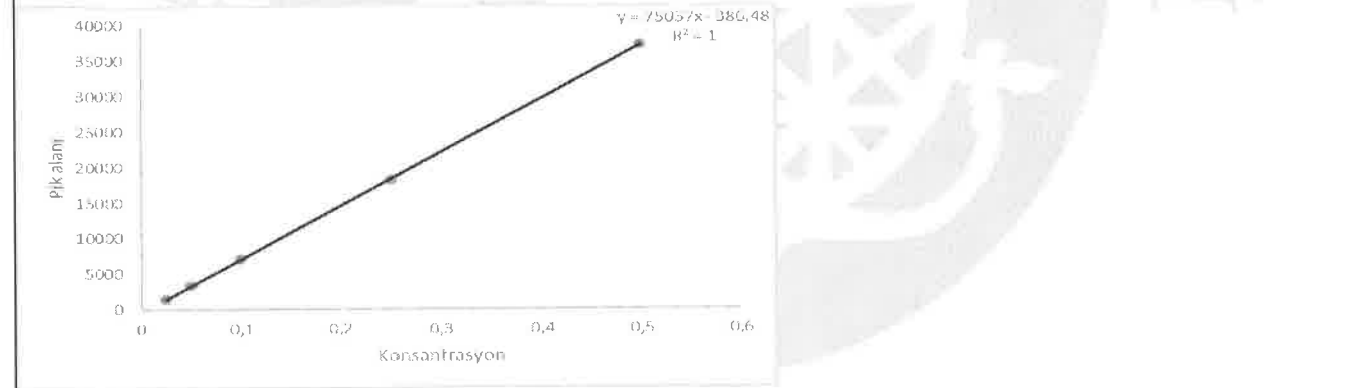
## EK-11 Sonuç Raporu Forması



Şekil 28. Bergapten kalibrasyon grafiği ve denklemi



Şekil 29. İmperatorin kalibrasyon grafiği ve denklemi



Şekil 30. Ostol kalibrasyon grafiği ve denklemi

Ekstrelerde maddelere ait pik alanları kalibrasyon denklemlerinde yerine konularak her bir ekstredeki maddelerin miktarı hesaplandı. Madde miktarları ile maddelerin LOD ve LOQ değerleri Çizelge 10'da verilmiştir.

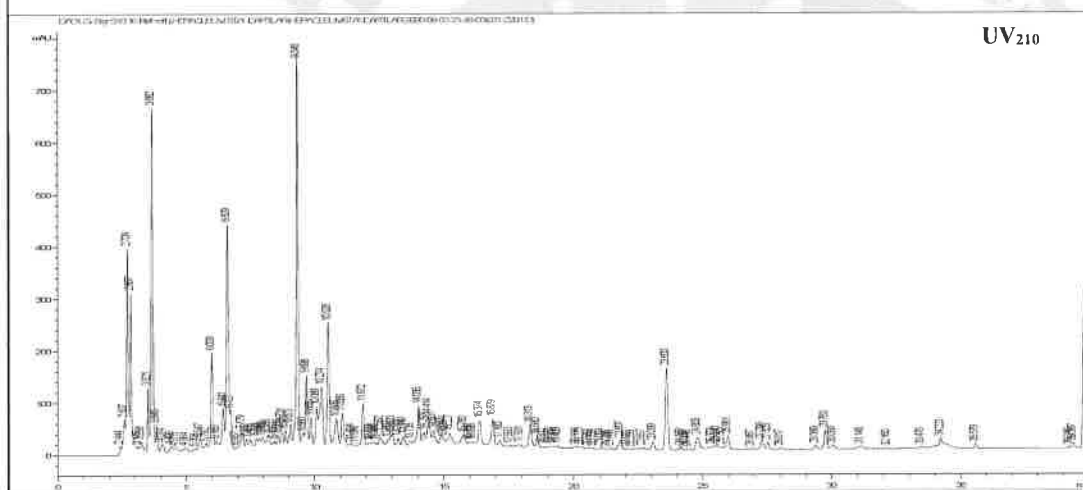
Diklorometanlı ekstrelerin kumarin içerikleri incelendiğinde ksantotoksin, angelisin, bergapten, imperatorin ve ostol varlığı görüldü. En yüksek bergapten ve imperatorin içeriği *H. sphondylium* subsp. *cyclocarpum* köklerinde (%0,49 mg/g ve %0,14 mg/g) tespit edildi. *H. sphondylium* subsp. *cyclocarpum* köklerindeki ostol oranı %0,05 mg/g olarak bulundu. *H. sphondylium* subsp. *montanum* kökleri en yüksek ksantotoksin içeriğine (%0,06 mg/g), *H. paphlagonicum* kökleri ise en yüksek angelisin içeriğine (%0,04) sahip ekstreler olarak saptandı.

**Çizelge 10.** *Heracleum* türlerinde YPSK ile tespit edilen kumarin miktarları

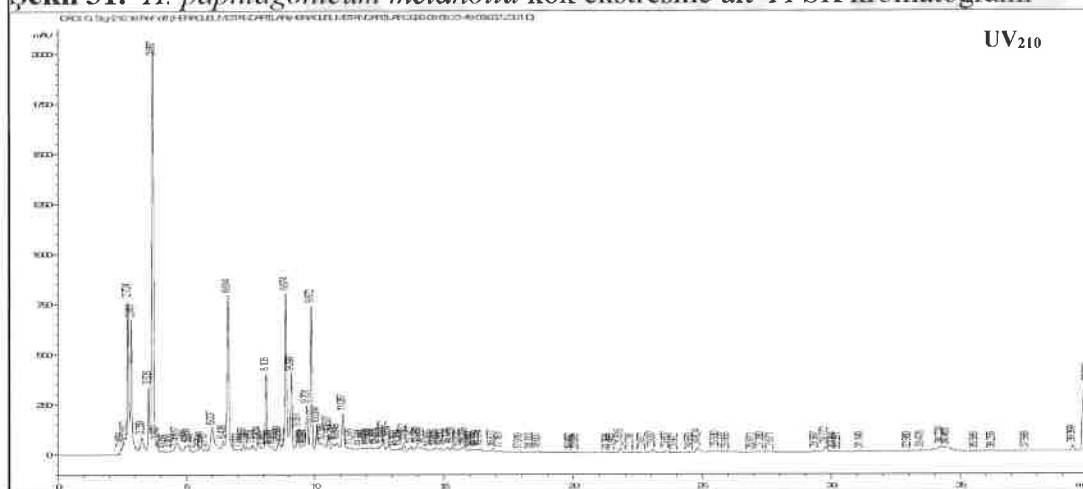
	Bitki kısımlarındaki madde miktarları (% mg/gr)				
	Ksantotoksin	Angelisin	Bergapten	İmperatorin	Ostol
HPK	-	0,0399±0,0001	0,0125±0,0001	-	-
HSTK	0,0361±0,0001	-	0,0089±0,0000	-	-
HSMK	0,0586±0,0001	0,0380±0,0006	0,0010±0,0000	-	-
HSMT	-	-	0,0047±0,0000	0,0238±0,0000	-
HSCK	-	0,0218±0,0001	0,4982±0,0015	0,1411±0,0093	0,0522±0,0006
LOD	0,00079	0,00079	0,00044	0,00022	0,00559
LOQ	0,0024	0,0024	0,00147	0,00075	0,01863

HPK: *H. paphlagonicum* kök, HSTK: *H. sphondylium* subsp. *ternatum* kök, HSMK: *H. sphondylium* subsp. *montanum* kök, HSMT: *H. sphondylium* subsp. *montanum* toprak üstü, HSCK: *H. sphondylium* subsp. *cyclocarpum* kök

Metanollu ekstrelerin YPSK kromatogramları Şekil 31-38'de verilmiştir. Analizi yapılan flavonoid ve fenolik asit türevlerine test edilen ekstrelerde rastlanmadı.

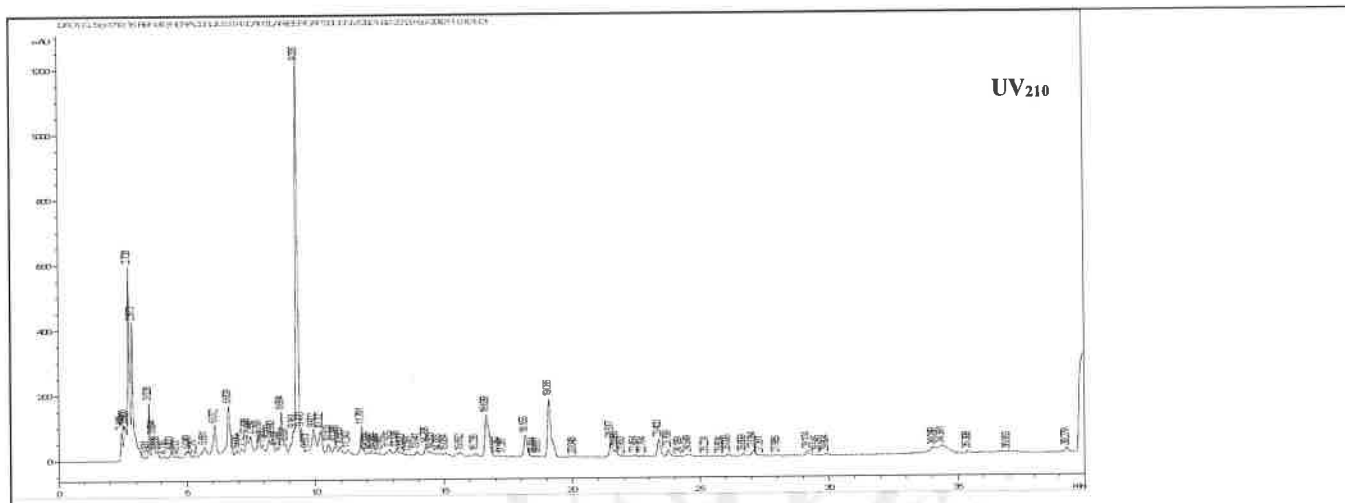


**Sekil 31.** *H. paphlagonicum* metanollu kök ekstresine ait YPSK kromatogramı

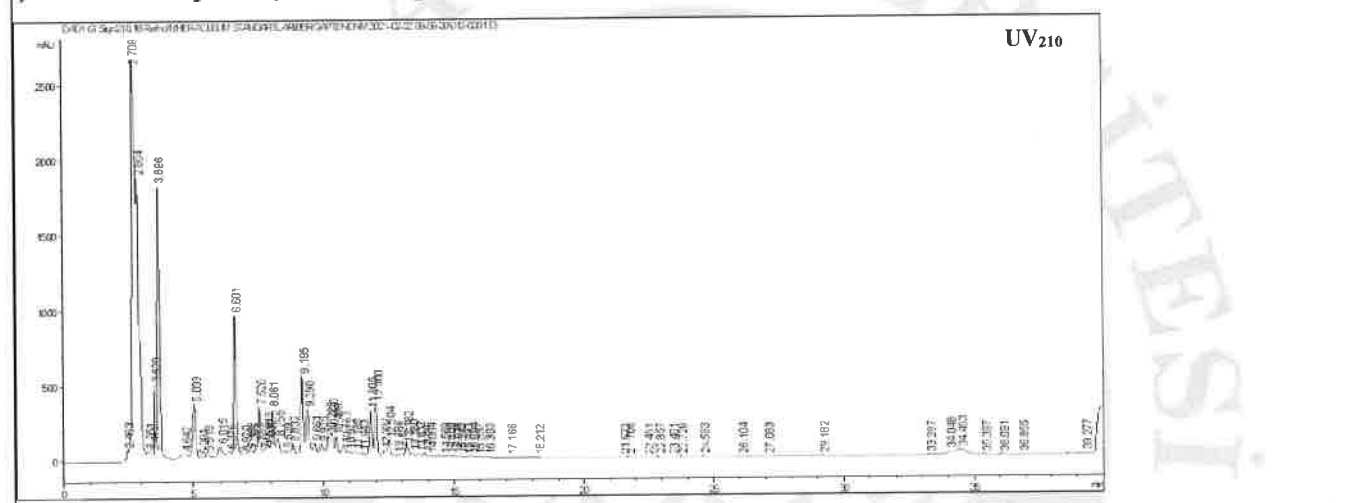


**Sekil 32.** *H. paphlagonicum* metanollu toprak üstü ekstresine ait YPSK kromatogramı

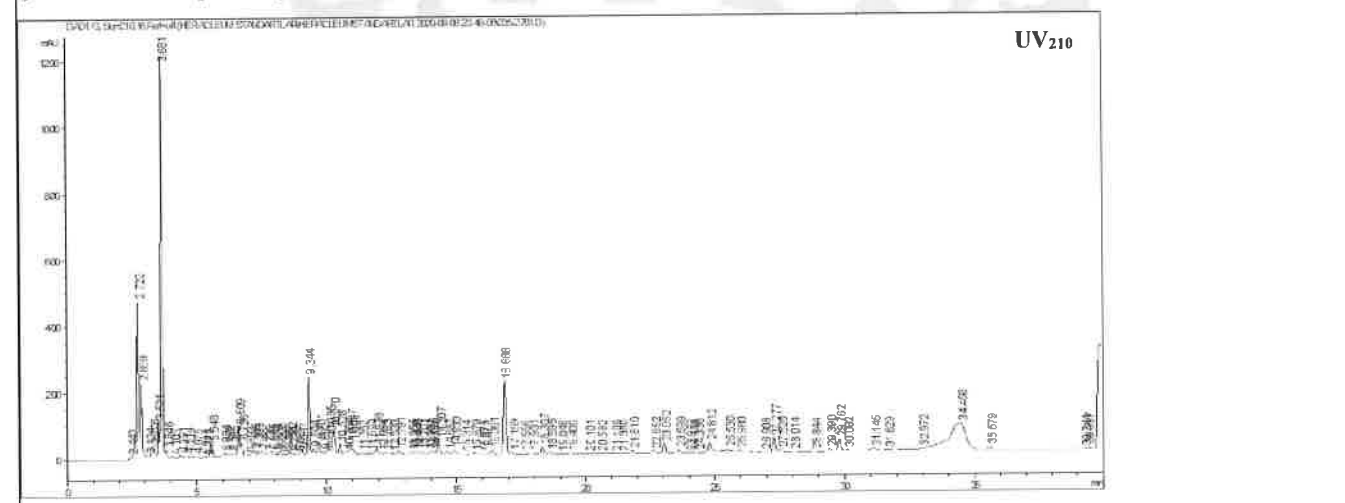
## EK-11 Sonuç Raporu Formatı



Şekil 33. *H. sphondylium* subsp. *ternatum* metanollü kök ekstresine ait YPSK kromatogramı



Şekil 34. *H. sphondylium* subsp. *ternatum* metanollü toprak üstü ekstresine ait YPSK kromatogramı

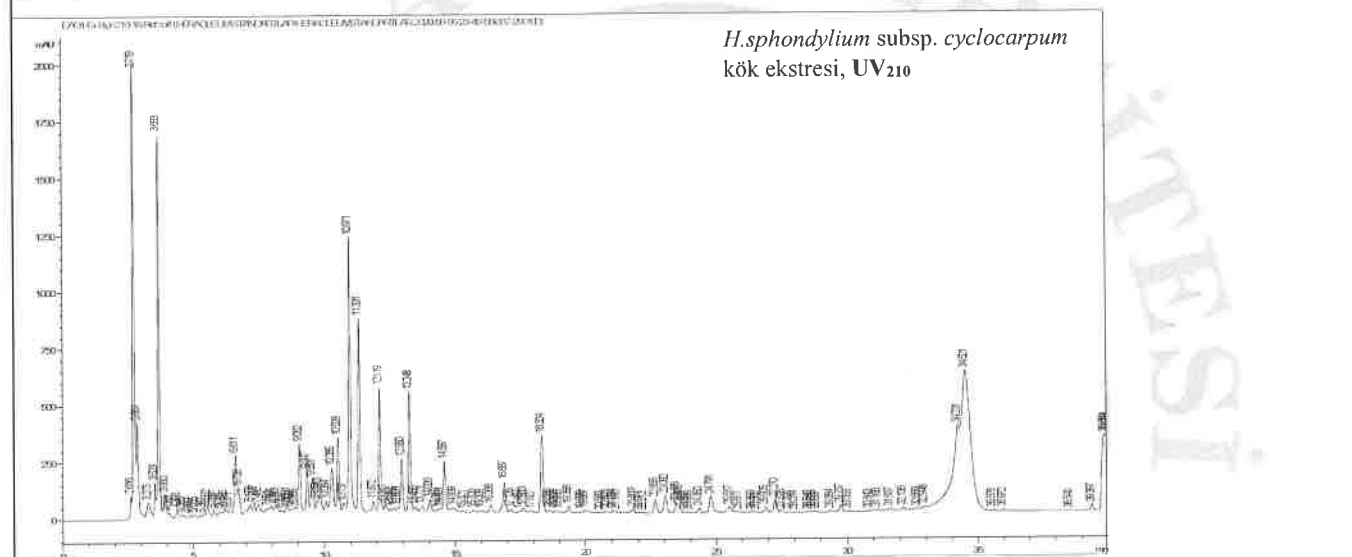


Şekil 35. *H. sphondylium* subsp. *montanum* metanollü kök ekstresine ait YPSK kromatogramı

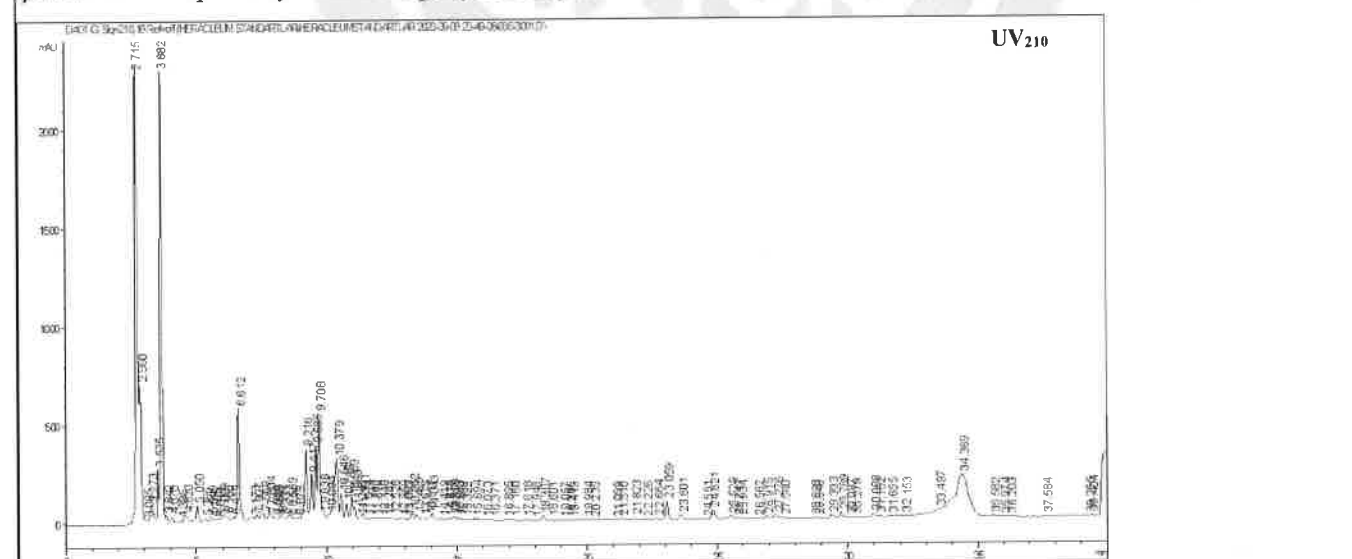
## EK-11 Sonuç Raporu Formatı



Şekil 36. *H. sphondylium* subsp. *montanum* metanollu toprak üstü ekstresine ait YPSK kromatogramı



Şekil 37. *H. sphondylium* subsp. *cyclocarpum* metanollu kök ekstresine ait YPSK kromatogramı

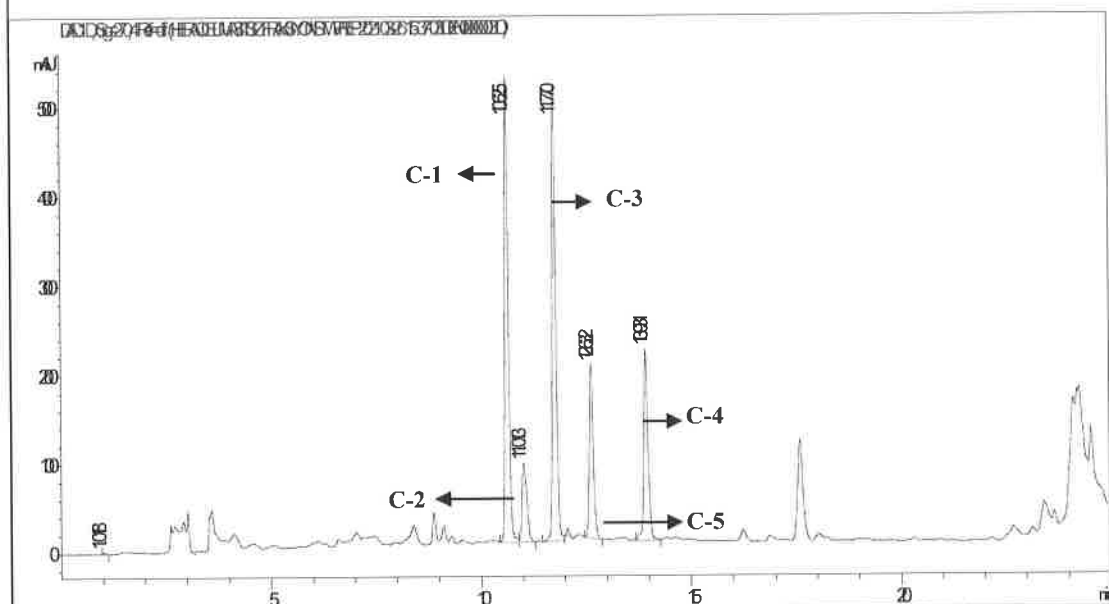


Şekil 38. *H. sphondylium* subsp. *cyclocarpum* metanollu toprak üstü ekstresine ait YPSK kromatogramı

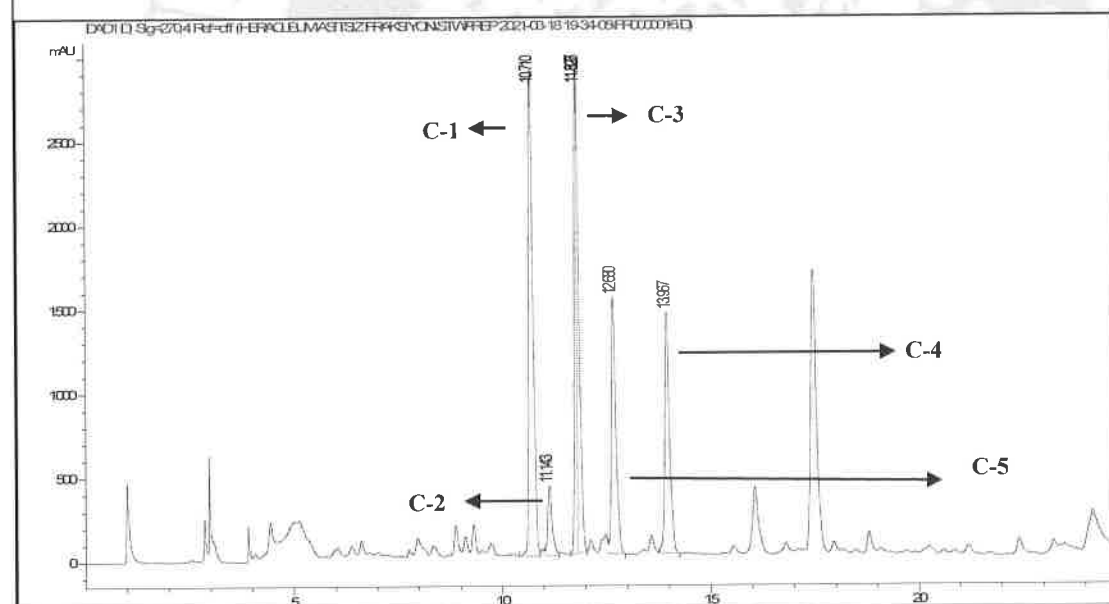
Diklorometanlı ekstrenin en yüksek aktiviteye sahip 127-140 numaralı fraksiyonuna ait YPSK

## EK-11 Sonuç Raporu Formatı

kromatogramı Şekil 39'da, metanollu ekstrenin aktivitesi en yüksek fraksiyon grubu 1-10 numaralı fraksiyona ait YPSK kromatogramı Şekil 40'ta verilmiştir. Kromatogramlarda ayrıca izole edilen bileşikler gösterilmiştir. İki fraksiyondan izole edilen bileşiklerin her iki fraksiyonda da bulunduğu tespit edilmiştir.



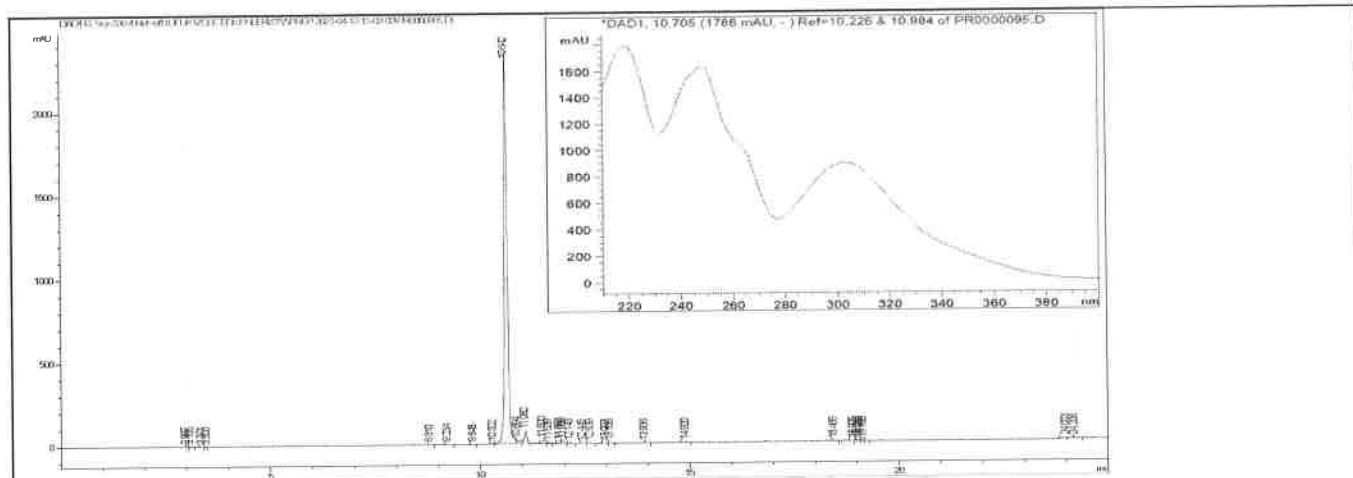
Şekil 39. Diklorometanlı ekstrenin 127-140 numaralı fraksiyonuna ait YPSK kromatogramı



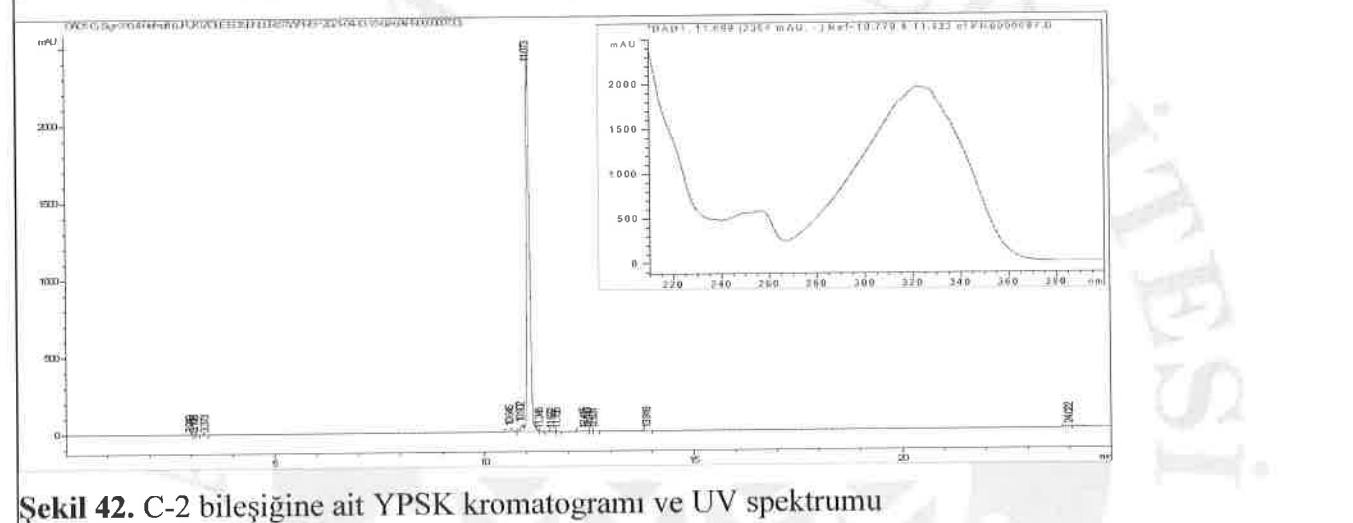
Şekil 40. Metanollu ekstrenin 1-10 numaralı fraksiyonuna ait YPSK kromatogramı

Izole edilen maddelerin YPSK kromatogramları ile UV spektrumları Şekil 41-45'te gösterilmiştir.

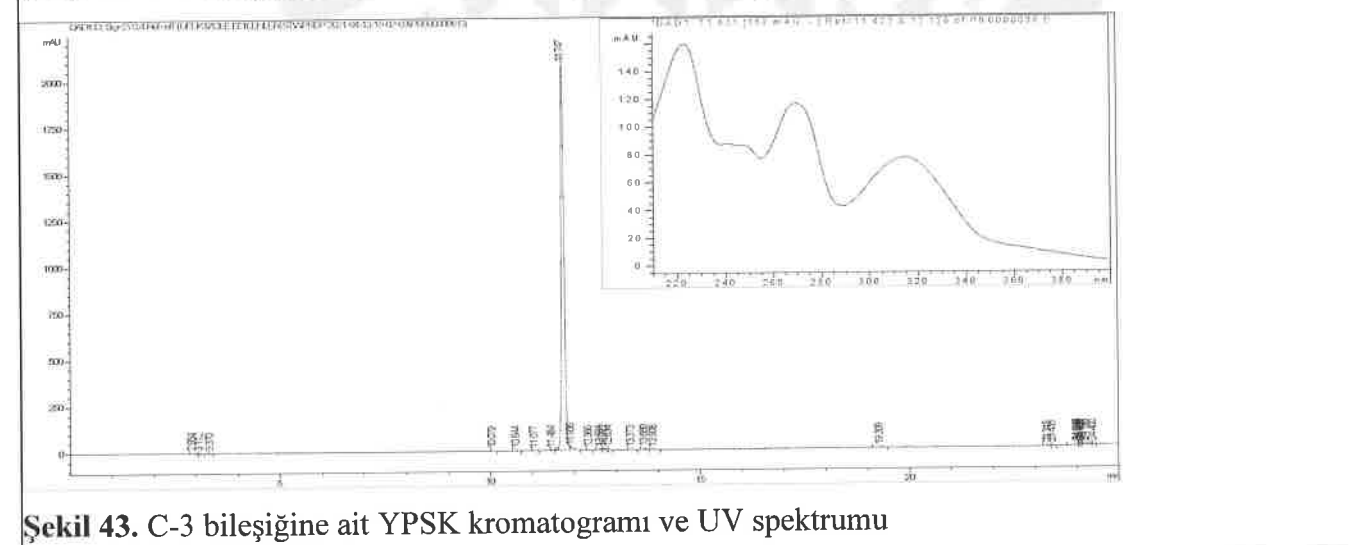
## EK-11 Sonuç Raporu Formatı



Sekil 41. C-1 bileşигine ait YPSK kromatogramı ve UV spektrumu

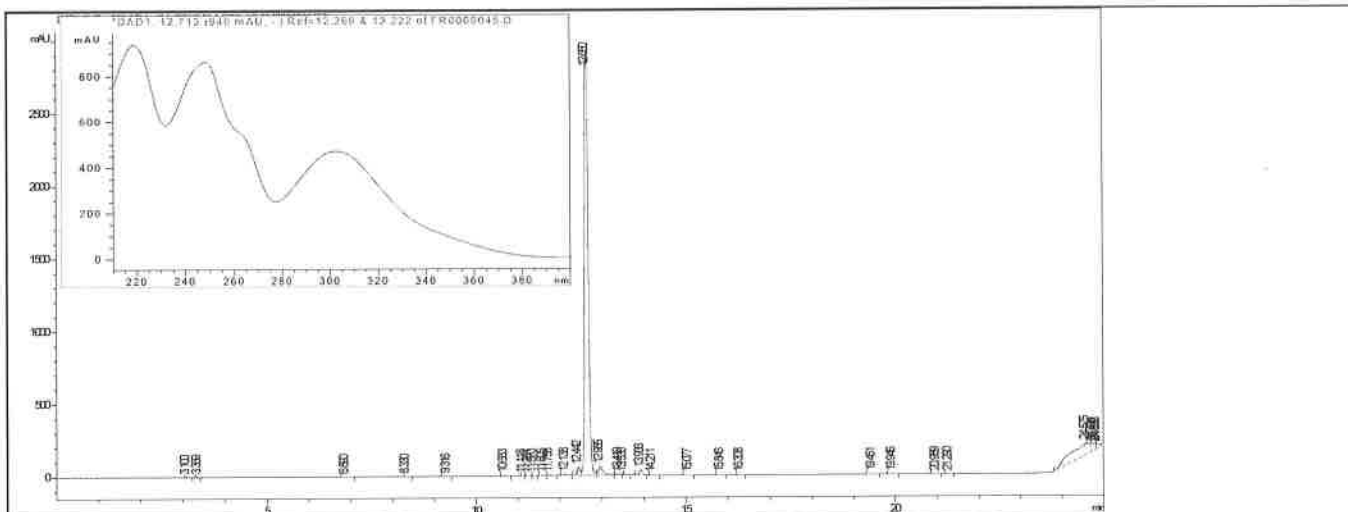


Sekil 42. C-2 bileşigine ait YPSK kromatogramı ve UV spektrumu

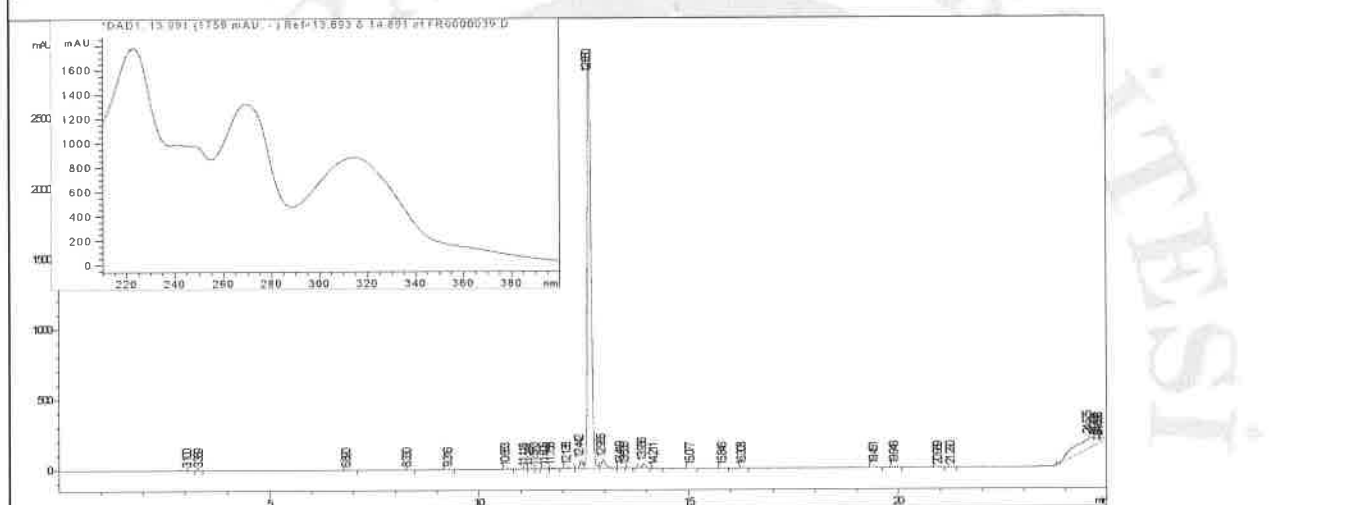


Sekil 43. C-3 bileşigine ait YPSK kromatogramı ve UV spektrumu

## EK-11 Sonuç Raporu Formatı



Şekil 44. C-4 bileşигine ait YPSK kromatogramı ve UV spektrumu

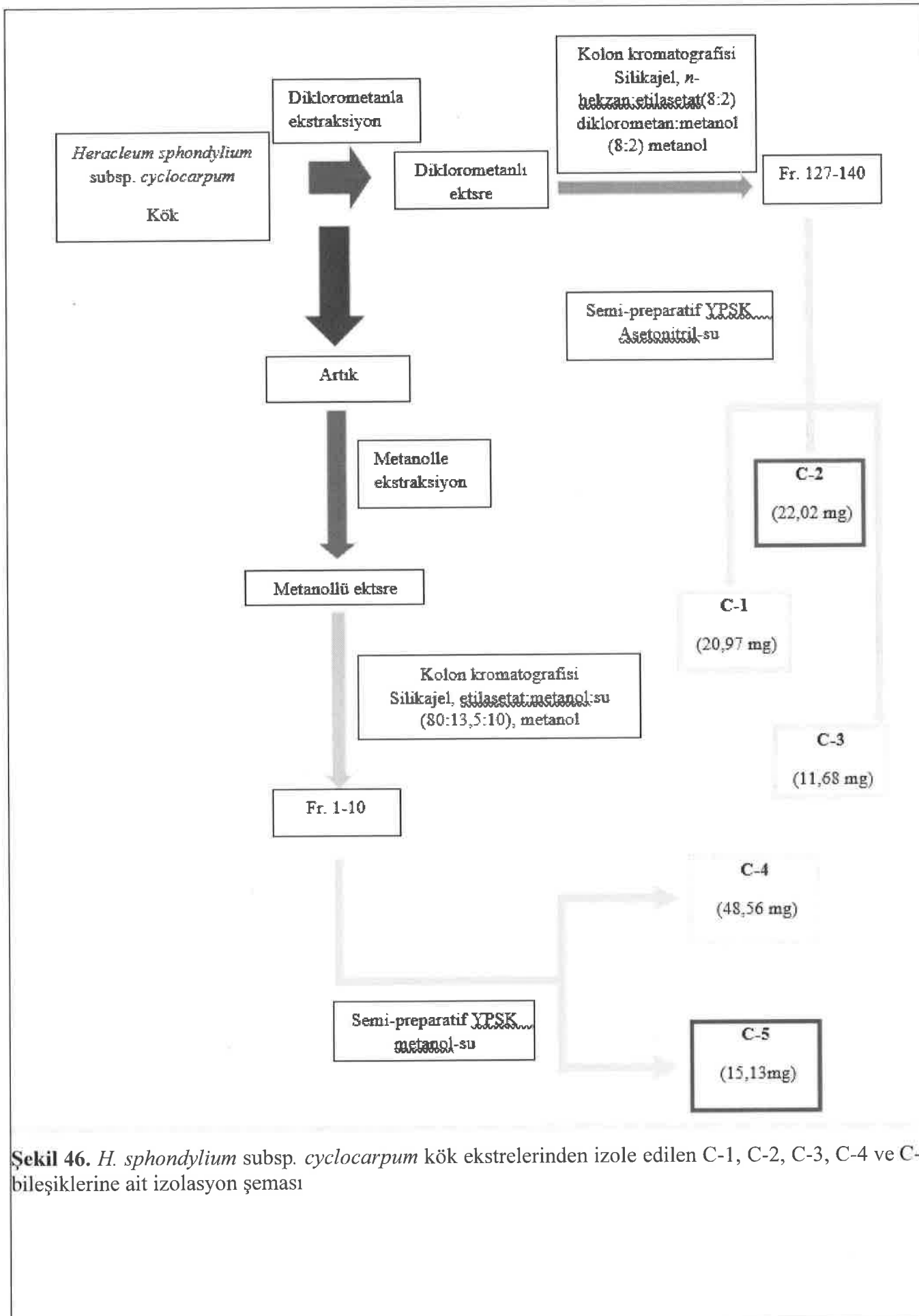


Şekil 45. C-5 bileşигine ait YPSK kromatogramı ve UV spektrumu

## Semi-Preparatif Yüksek Performans Sıvı Kromatografisi Uygulamalarına Ait Bulgular

*H. sphondylium* subsp. *cyclocarpum* köklerinin diklorometanlı ekstresine ait 127-140 numaralı fraksiyondan semi-preparatif YPSK ile C-1 (20,97 mg), C-2 (22,02 mg) ve C-3 (11,68 mg) bileşikleri izole edilmiştir. Metanollu ekstrenin 1-10 numaralı fraksiyonundan C-4 (48,56 mg) ve C-5 (15,13 mg) bileşikleri izole edilmiştir. C-1, C-2, C-3, C-4, C-5 bileşiklerine ait izolasyon şeması Şekil 46'da gösterilmiştir.

EK-11 Sonuç Raporu Formatu

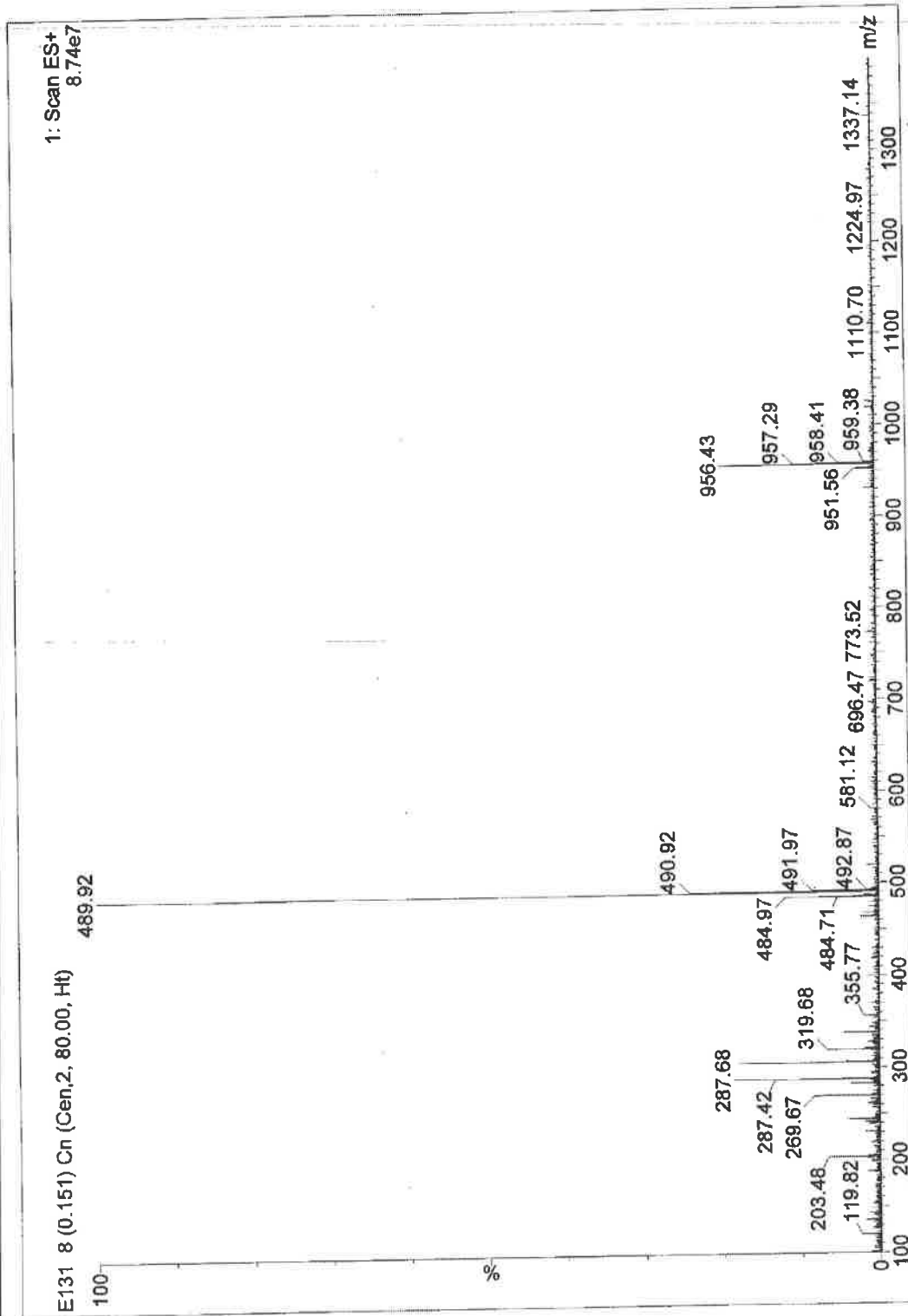


**Sekil 46.** *H. sphondylium* subsp. *cyclocarpum* kök ekstrelerinden izole edilen C-1, C-2, C-3, C-4 ve C-5 bileşiklerine ait izolasyon şeması

## Yapı Tayini Çalışmalarına Ait Bulgular

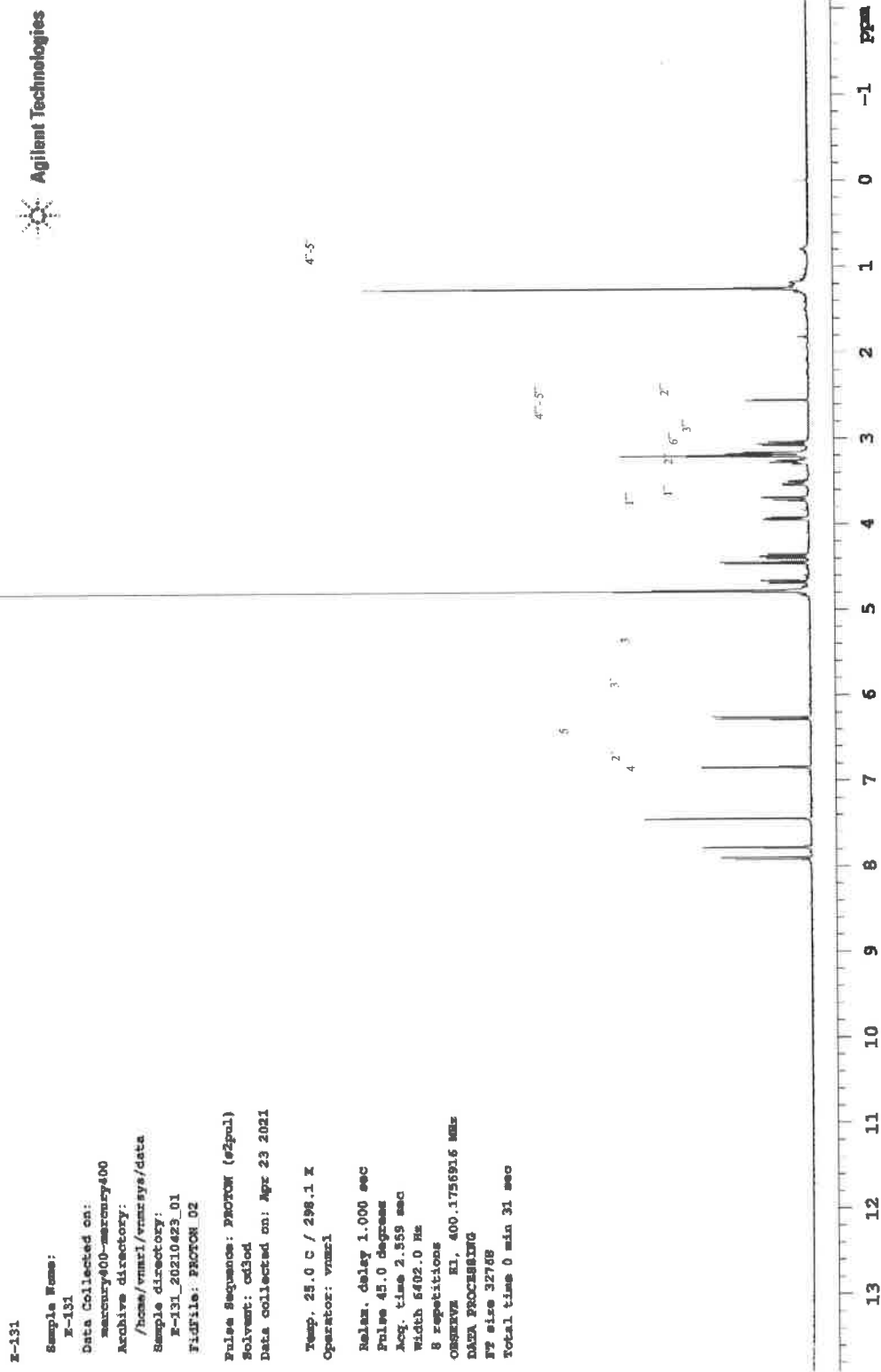
### C-1 Bileşığının Yapı Tayini

C-1 bileşığine ait kütle spektrumu Şekil 47'da verilmiştir.  $^1\text{H}$  ve  $^{13}\text{C}$  NMR ile 2D NMR spektrumları Şekil 48-53'te verilmiştir. C-1 bileşığının  $^1\text{H}$  ve  $^{13}\text{C}$  NMR bulguları Çizelge 11'de gösterilmiştir.



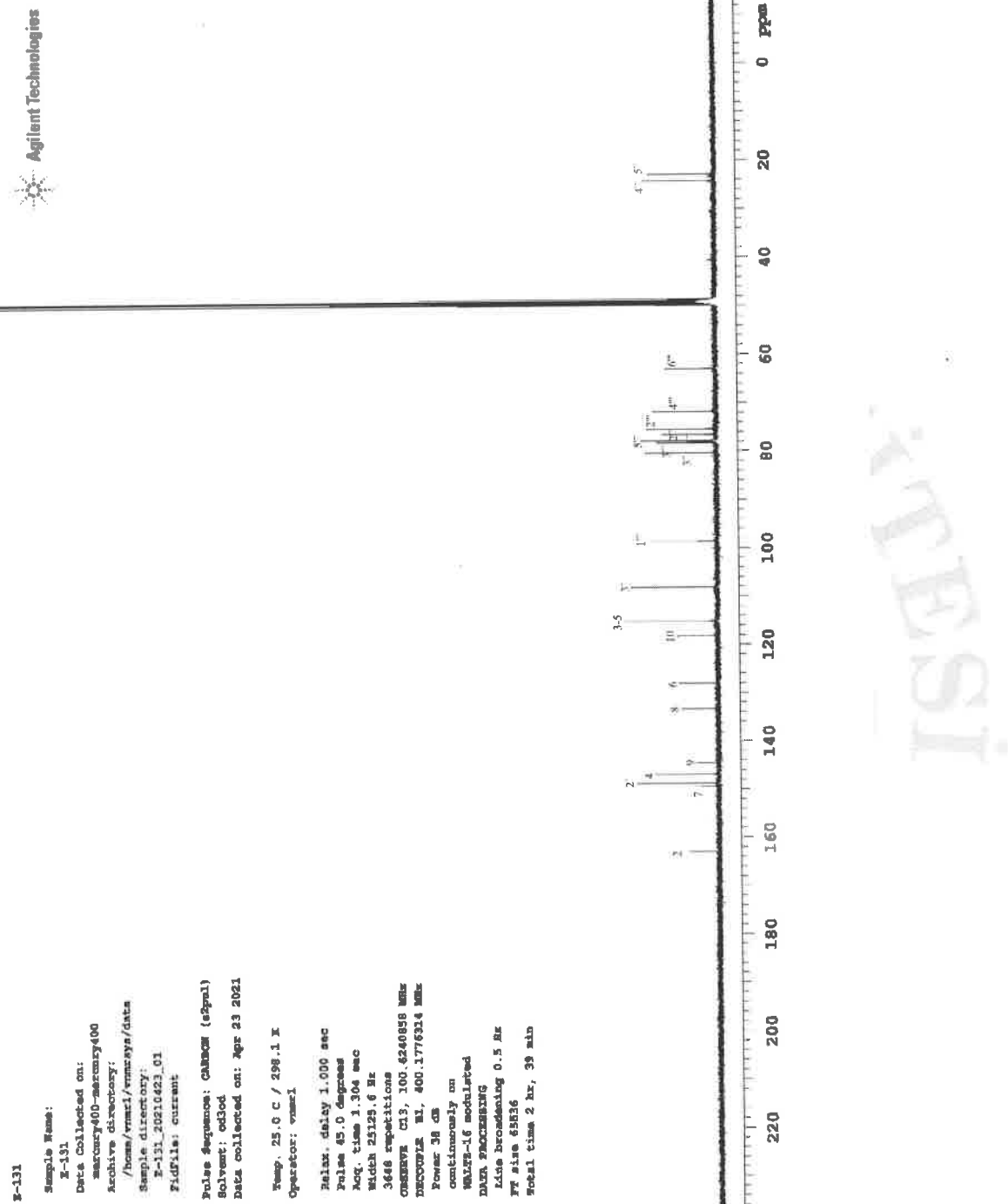
Şekil 47. C-1 bileşığine ait kütle spektrumu

## EK-11 Sonuç Raporu Formatı

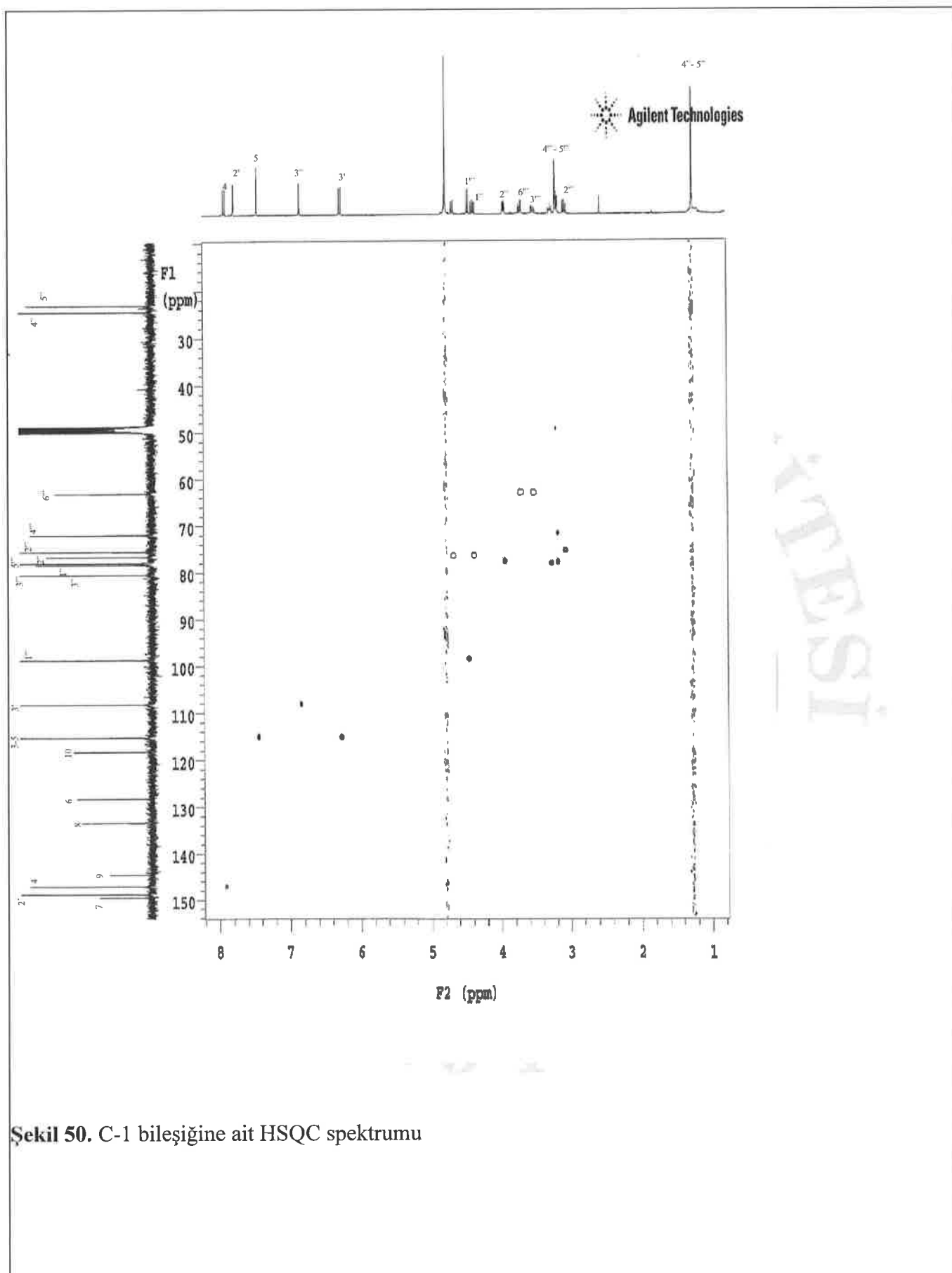


Şekil 48. C-1 bileşigine ait <sup>1</sup>H NMR spektrumu

## EK-11 Sonuç Raporu Formatı

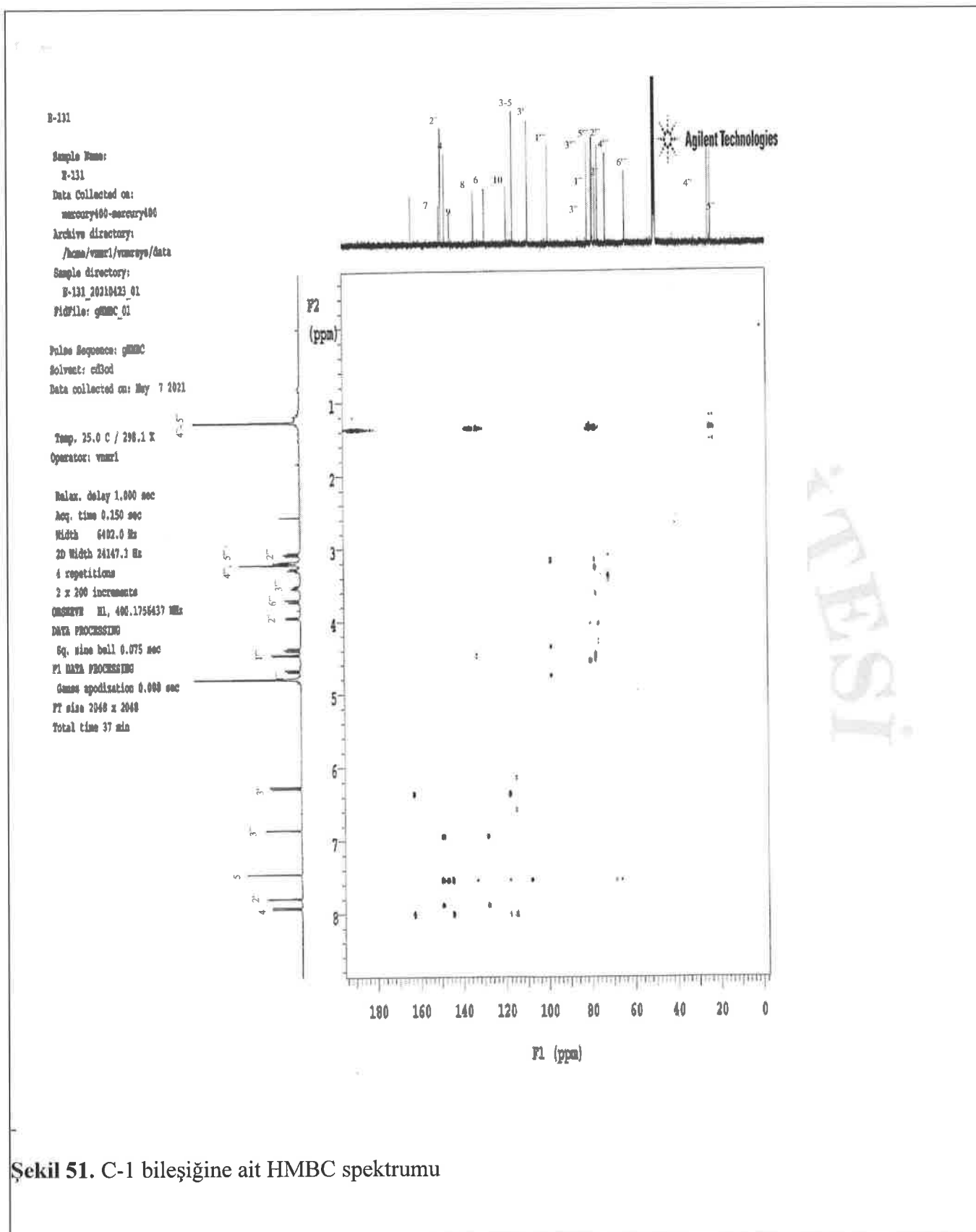


Şekil 49. C-1 bileşigine ait  $^{13}\text{C}$  NMR spektrumu



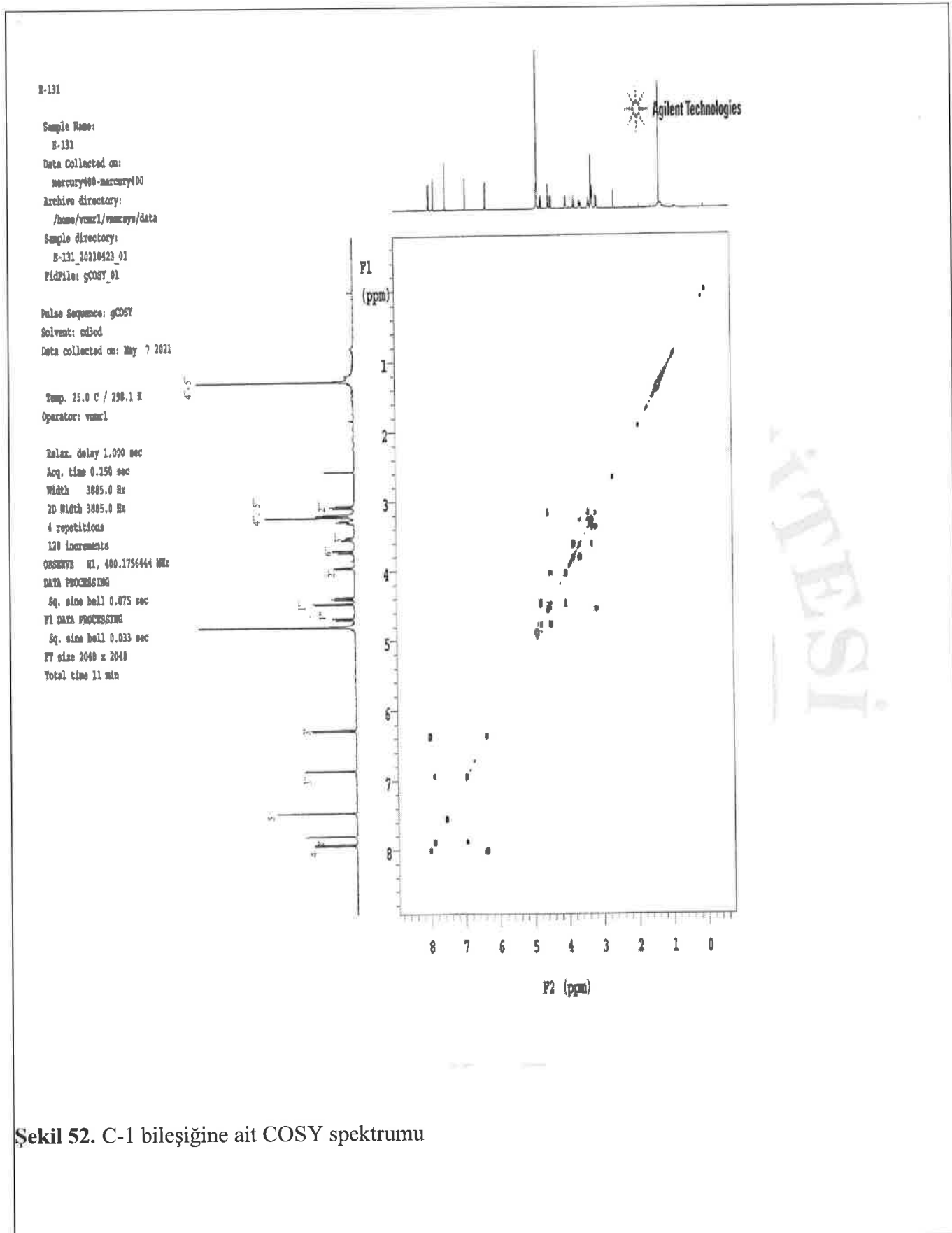
Şekil 50. C-1 bileşigine ait HSQC spektrumu

## EK-11 Sonuç Raporu Formatı

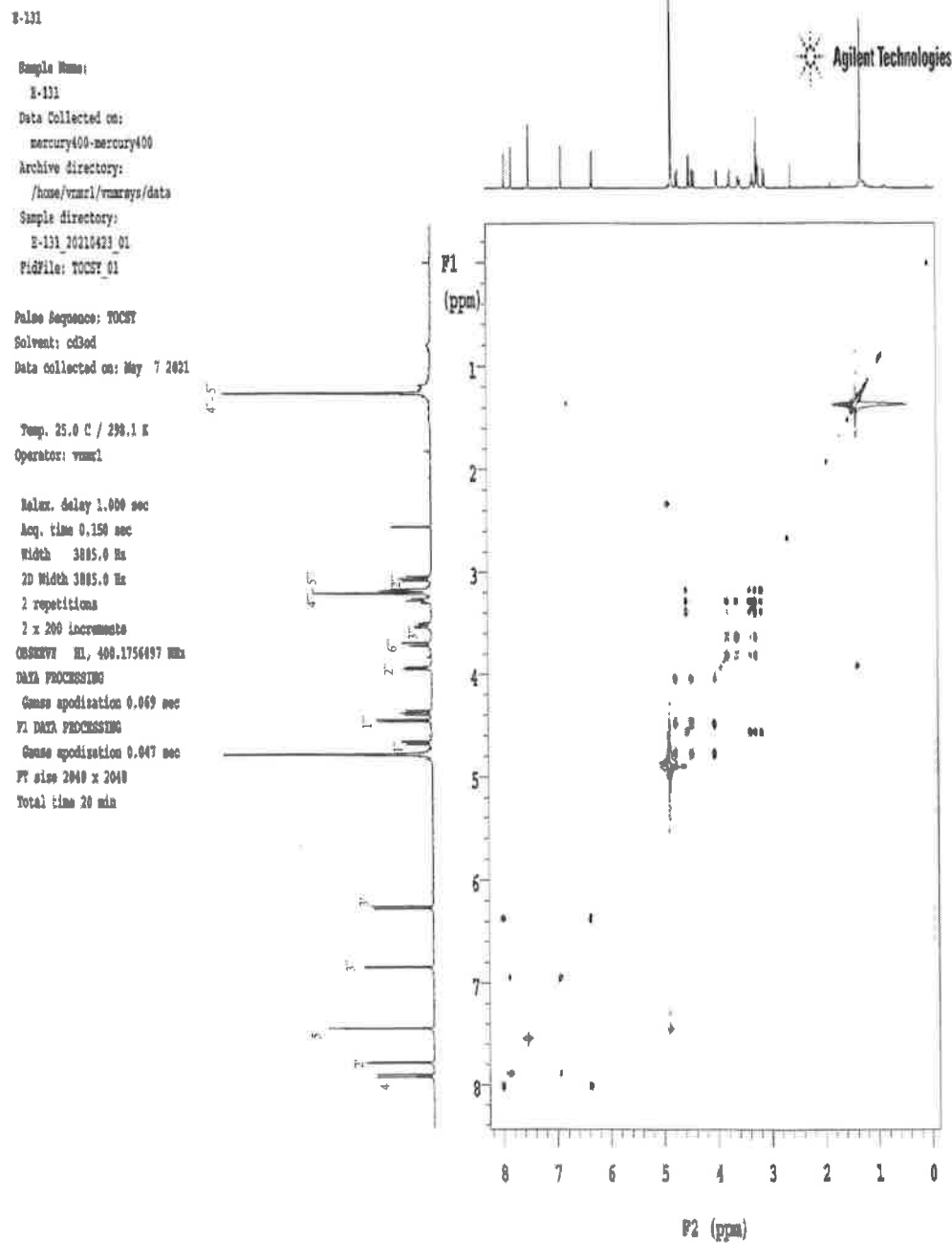


**Şekil 51.** C-1 bileşигine ait HMBC spektrumu

## EK-11 Sonuç Raporu Formatı



## EK-11 Sonuç Raporu Formatı

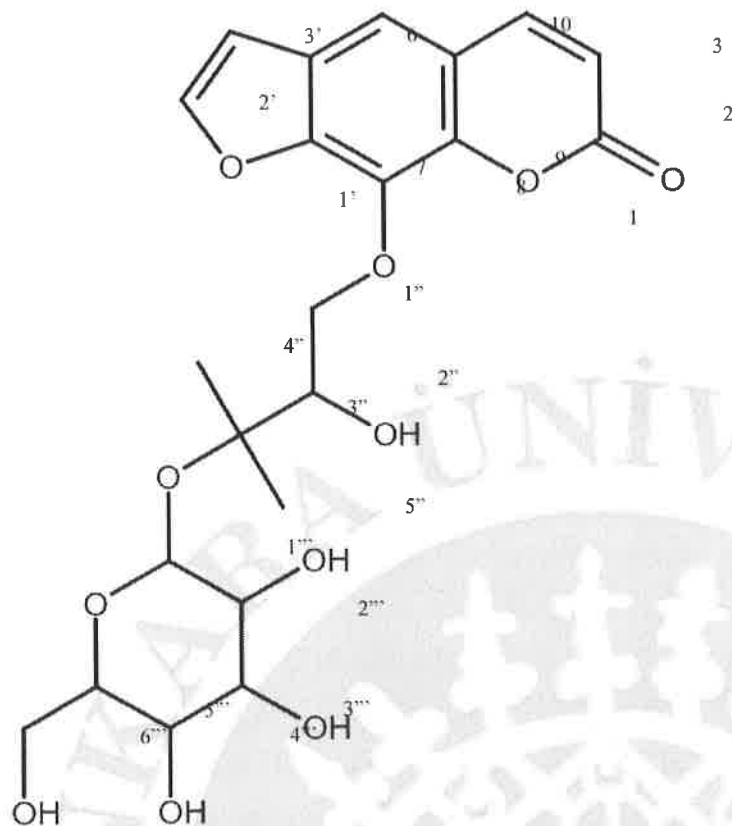


**Sekil 53.** C-1 bileşigine ait TOCSY spektrumu

Çizelge 11. C-1 bileşiginin  $^1\text{H}$  ve  $^{13}\text{C}$  NMR bulguları

Kimyasal kayma	Proton	C	$\delta$ (ppm)
-	-	-	-
-	-	C-2	162,954
6,26 (1H, d, $J= 10$ )	H-3	C-3	115,168
7,90 (1H, d, $J= 9,6$ )	H-4	C-4	146,936
7,44 (1H, s)	H-5	C-5	115,168
-	-	C-6	128,115
-	-	C-7	149,482
-	-	C-8	133,334
-	-	C-9	144,605
-	-	C-10	118,115
-	-	-	-
7,77 (1H, d, $J=2$ )	H-2'	C-2'	148,720
6,84 (1H, d, $J=2$ )	H-3'	C-3'	108,157
4,37 (1H, dd, $J=8; 9,2$ ); 4,67 (1H, dd, $J=2,4; 10,4$ )	H-1"	C-1"	76,564
3,93 (1H, dd, $J=2; 8$ )	H-2"	C-2"	77,829
-	-	C-3"	80,382
1,25 (3H, s)	H-4"	C-4"	24,933
1,25 (3H, s)	H-5"	C-5"	24,282
4,45 (1H, d, $J= 8,0$ )	H-1'''	C-1'''	98,617
3,06 (1H, dd, $J= 8,0; 9,2$ )	H-2'''	C-2'''	75,413
3,27 (1H, m)	H-3'''	C-3'''	78,263
3,18 (1H, m)	H-4'''	C-4'''	71,840
3,18 (1H, m)	H-5'''	C-5'''	77,913
3,51 (1H, m), 3,71 (1H, dd, $J=1,2; 11,2$ )	H-6'''	C-6'''	62,970

C-1 bileşiginin  $^1\text{H}$  ve  $^{13}\text{C}$  NMR spektrumları incelendiğinde (Çizelge 3.3.),  $\delta$ 6,26 (1H, d,  $J= 10$ ),  $\delta$ 7,90 (1H, d,  $J= 9,6$ ) ppm'lerde gözlenen karakteristik dubletler kumarin yapısını işaret etmiştir.  $\delta$ 162,954 ppm'de gözlenen karbon sinyali ise kumarin iskeletinin karbonil grubu için karakteristik olup kumarin yapısını doğrulamıştır. Bileşige ait diğer aromatik protonlar  $\delta$ 7,44 ppm'de singlet,  $\delta$ 7,77 ( $J=2$ ) ve  $\delta$ 6,84 ( $J=2$ ) ppm'de iki ayrı dublet olarak görülmüştür.  $\delta$ 7,77 ve  $\delta$ 6,84 protonları ise kumarin halkasına kondanse bir furan halkasının varlığını ortaya koymuştur. Aromatik protonların yanı sıra  $\delta$ 4,37 (1H, dd,  $J=8; 9,2$ );  $\delta$ 4,67 (1H, dd,  $J=2,4; 10,4$ ) ve  $\delta$ 3,93 (1H, dd,  $J=2; 8$ ) ppm'de aromatik olmayan proton sinyalleri izlenmiştir.  $\delta$ 4,37 ve  $\delta$ 4,67 ppm'lerde dubletin dubleti olarak görülen proton sinyallerinin kimyasal kaymaları göz önünde bulundurularak oksijen atomuna bağlı -CH<sub>2</sub> grubuna ait olduğu belirlenmiş, HMBC spektrumunda  $\delta$ 133,334 ppm'de gözlenen karbon sinyali ile etkileşimi olduğu görülmüştür.  $\delta$ 3,06 ppm'de dubletin dubleti olarak gözlenen proton sinyalinin -CH<sub>2</sub> grubuna komşu karbona olduğu kimyasal kayma değeri ile anlaşılmıştır.  $\delta$ 1,25 ppm'de metil protonlarına ait iki singlet gözlenmiştir. HMBC verileri metil gruplarının  $\delta$ 80,382 ppm'deki karbona bağlandığını göstermiştir.  $\delta$ 4,45 (1H, d,  $J= 8,0$ ) sinyali  $\beta$ -konumundan bağlı bir anomerk protonu işaret etmiştir. HMBC spektrumuna bakıldığından  $\delta$ 98,617 karbonuna bağlı bir ozun varlığı anlaşılmıştır.  $^1\text{H}$  ve  $^{13}\text{C}$  NMR bulguları ozun glikoz olduğunu ortaya koymuştur. Elde edilen bilgiler literatür verileriyle (Niu ve ark., 2002) karşılaştırılarak C-1 bileşigi "heraklenol-3"-O- $\beta$ -glikozit" olarak tayin edilmiştir (Şekil 54).



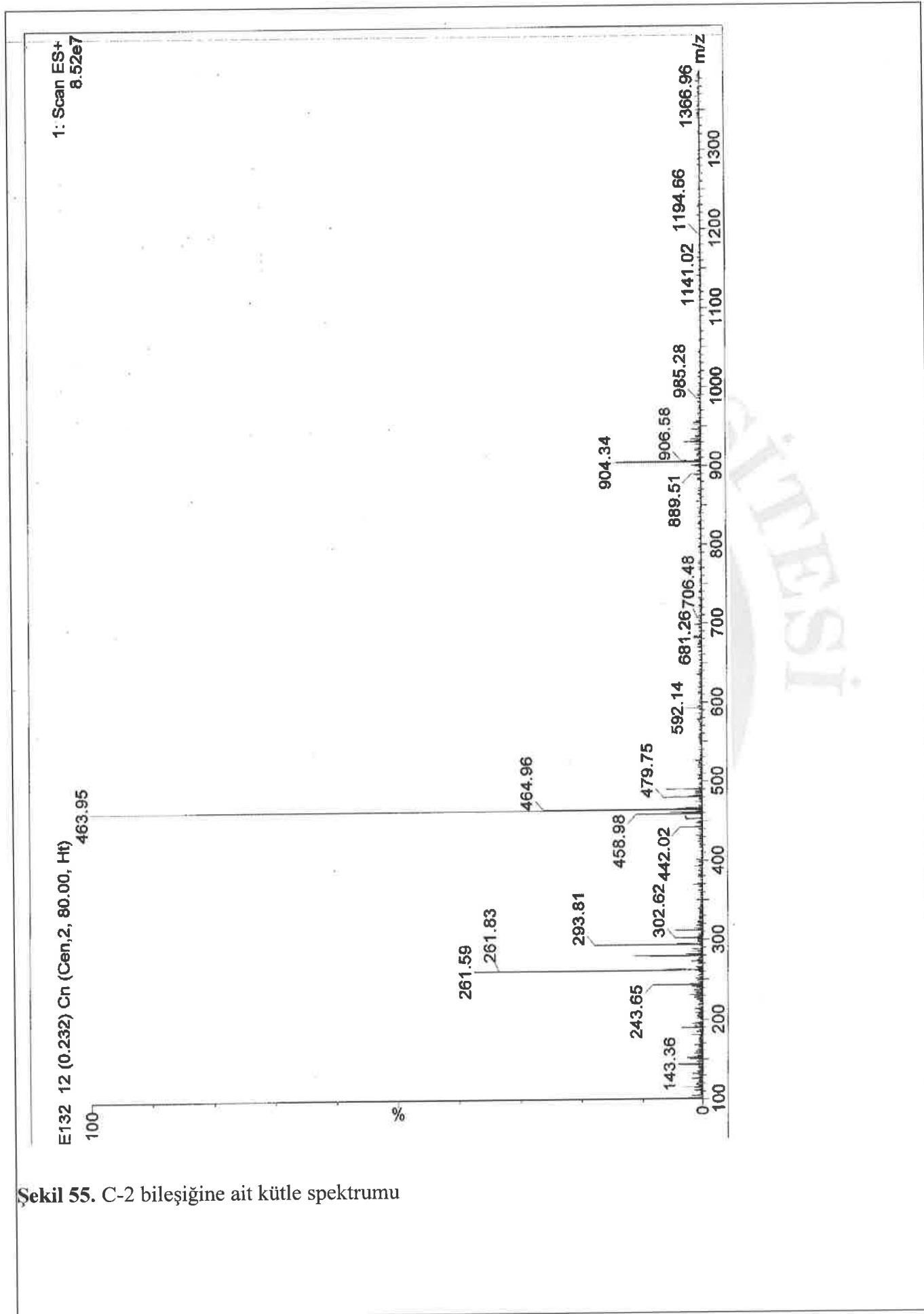
<b>Molekül Adı</b>	Heraklenol-3''-O- $\beta$ -glikozit
<b>Molekül Ağırlığı</b>	466
<b>Molekül Formülü</b>	C <sub>22</sub> H <sub>26</sub> O <sub>11</sub>
<b>Özellikİ</b>	Sarı, yağimsı

**Şekil 54.** C-1 bileşiginin yapı tayini bulguları

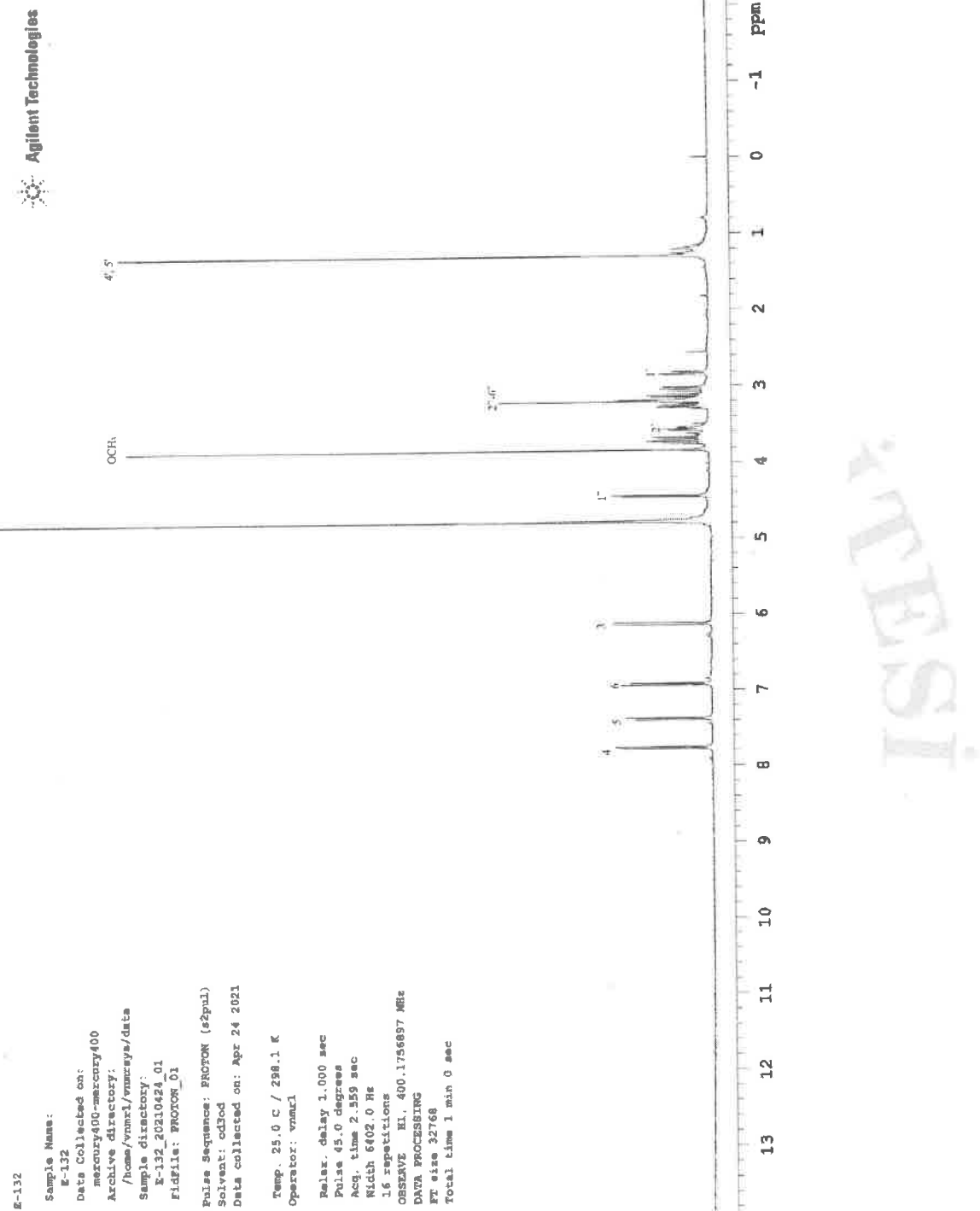
#### C-2 Bileşiginin Yapı Tayini

C-2 bileşigine ait kütle spektrumu ile <sup>1</sup>H ve <sup>13</sup>C NMR ile 2D NMR spektrumları Şekil 55-61'de verilmiştir. <sup>1</sup>H ve <sup>13</sup>C NMR bulguları Çizelge 12'de sunulmuştur. C-2 bileşiginin yapı tayini bulguları Şekil 62'de gösterilmiştir.

EK-11 Sonuç Raporu Formati

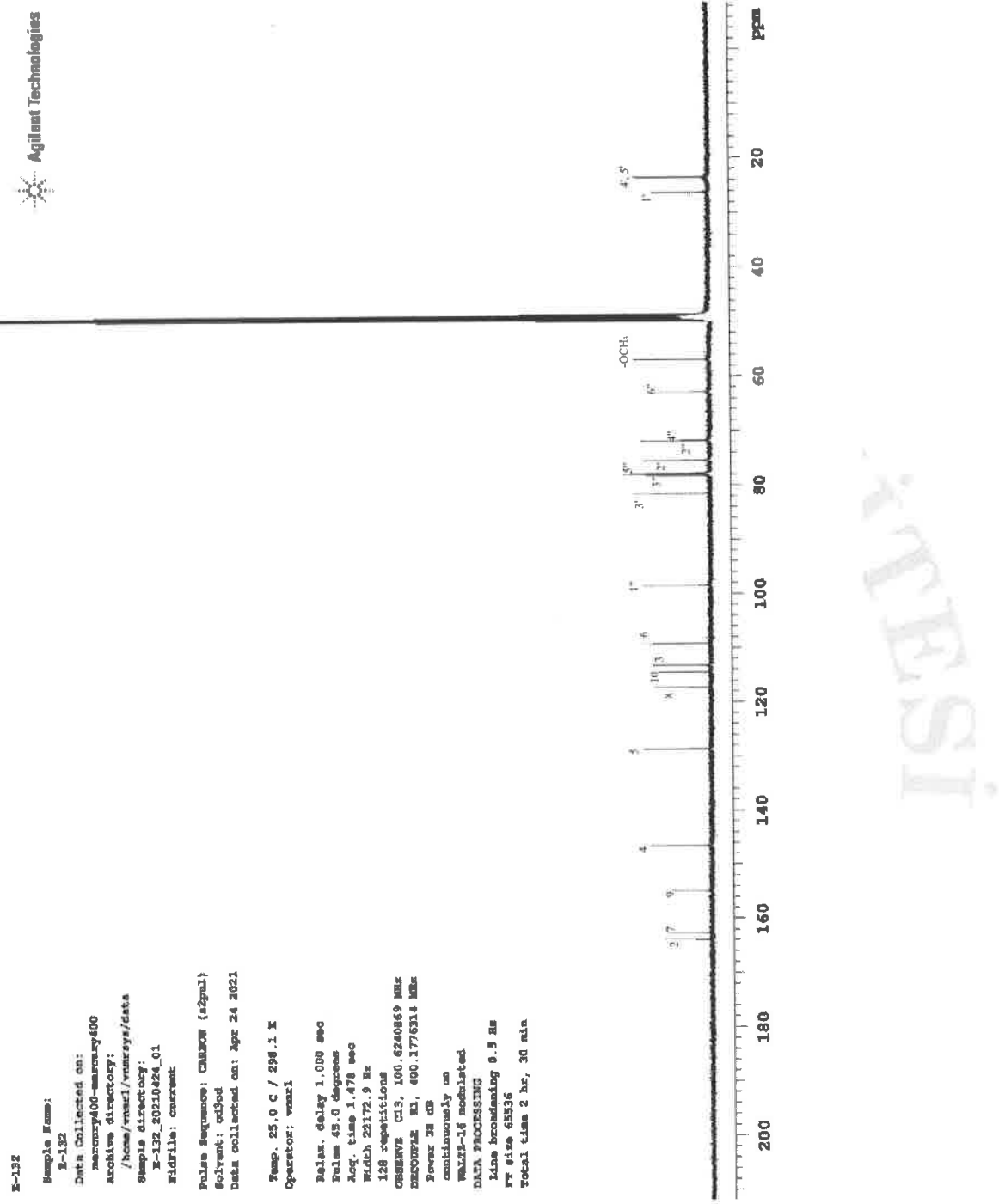


## EK-11 Sonuç Raporu Formatı



Sekil 56. C-2 bileşigine ait  $^1\text{H}$  NMR spektrumu

## EK-11 Sonuç Raporu Formatı



Şekil 57. C-2 bileşigine ait <sup>13</sup>C NMR spektrumu

## EK-11 Sonuç Raporu Formatı

R-132

Sample Name:

R-132

Data Collected on:

mercury400-mercury400

Archive directory:

/home/vmrc1/vmrcsys/data

Sample directory:

R-132\_20210424\_01

Fitfile: gHSQC\_02

Pulse Sequence: gHSQC

Solvent: cdod

Data collected on: May 8 2021

Temp. 25.0 C / 298.1 K

Operator: vmar1

Relax. delay 1.000 sec

Acq. time 0.150 sec

Width 6400.0 Hz

2D Width 17165.0 Hz

8 repetitions

2 x 128 increments

OBSERVE El, 400.1756824 MHz

DECOUPLE Cl3, 100.6317945 MHz

Power 45 dB

on during acquisition

off during delay

GARP-1 modulated

DATA PROCESSING

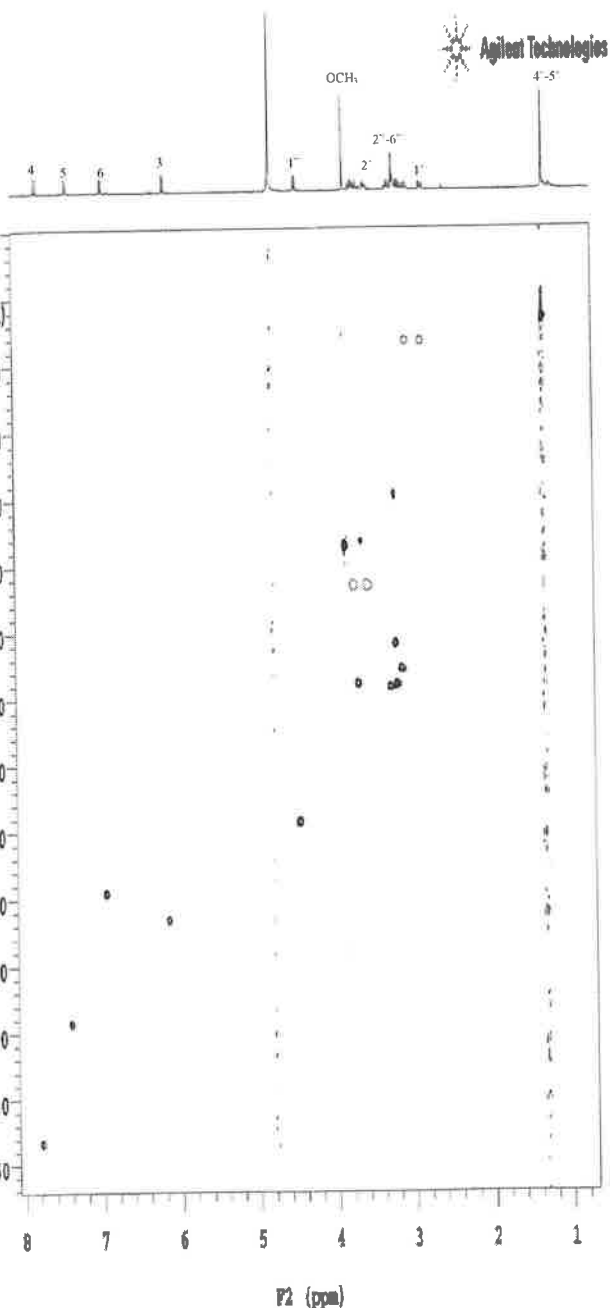
Gauss apodization 0.069 sec

FI DATA PROCESSING

Gauss apodization 0.007 sec

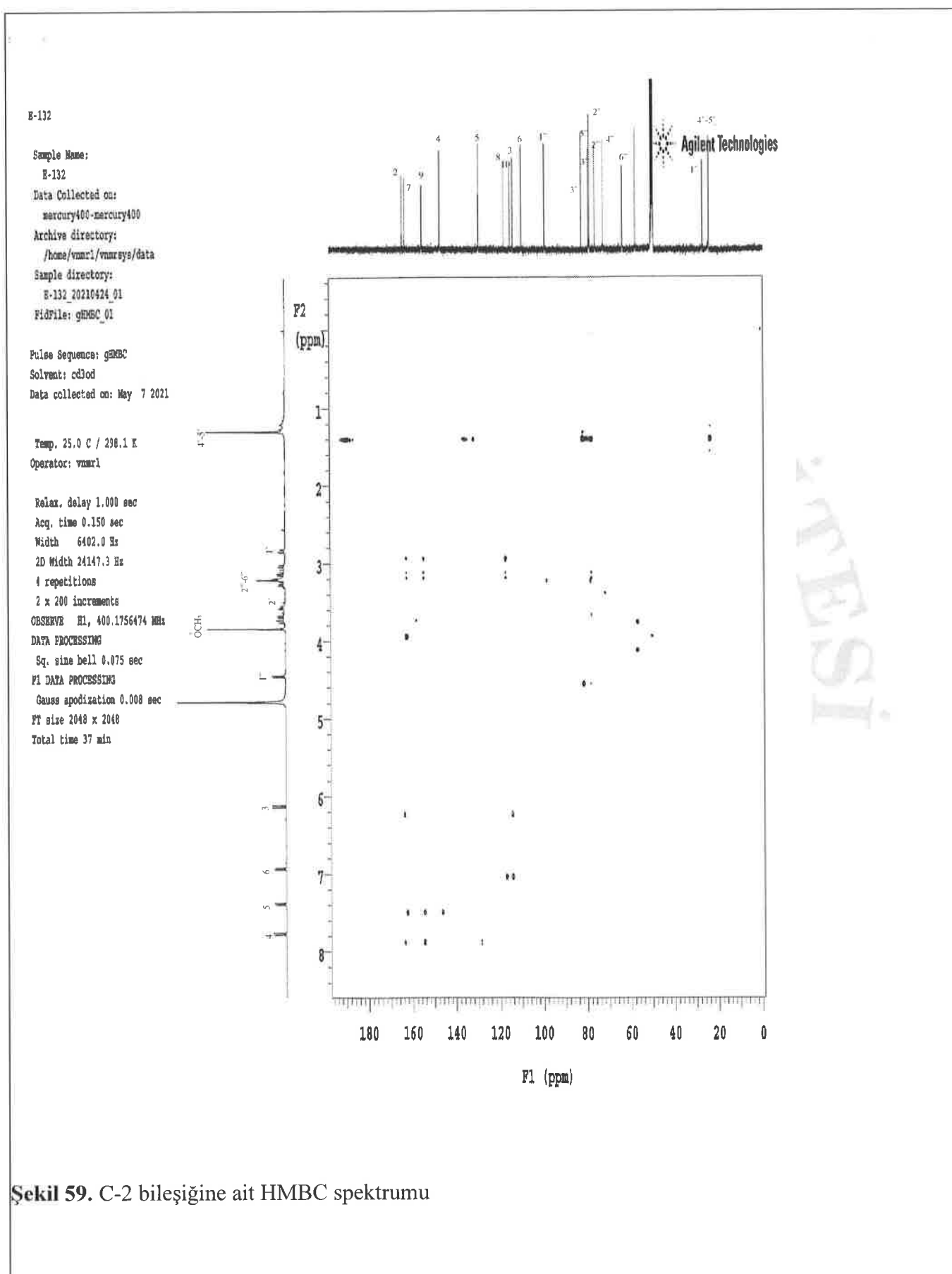
FT size 2048 x 2048

Total time 44 min



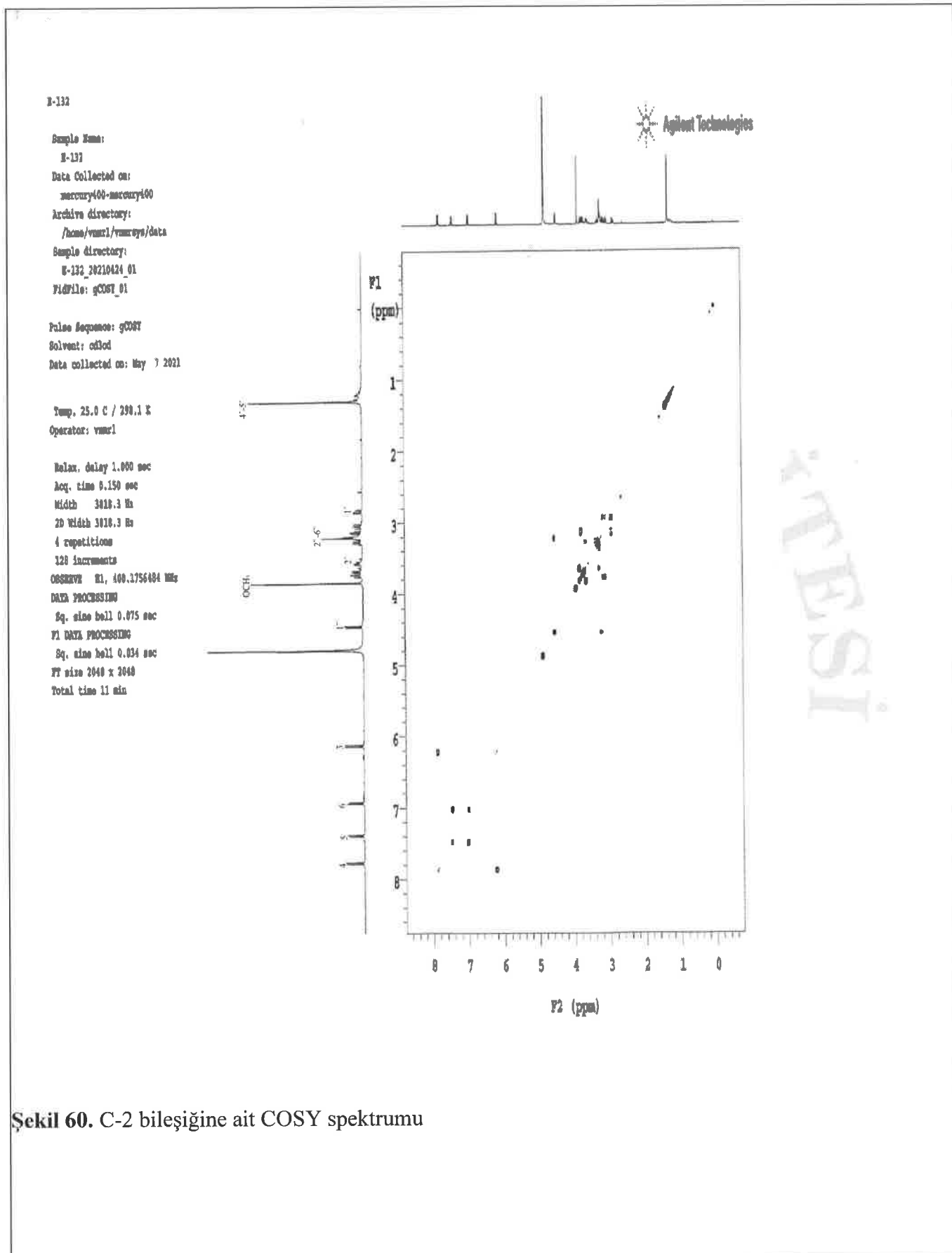
Şekil 58. C-2 bileşигine ait HSQC spektrumu

## EK-11 Sonuç Raporu Formatı



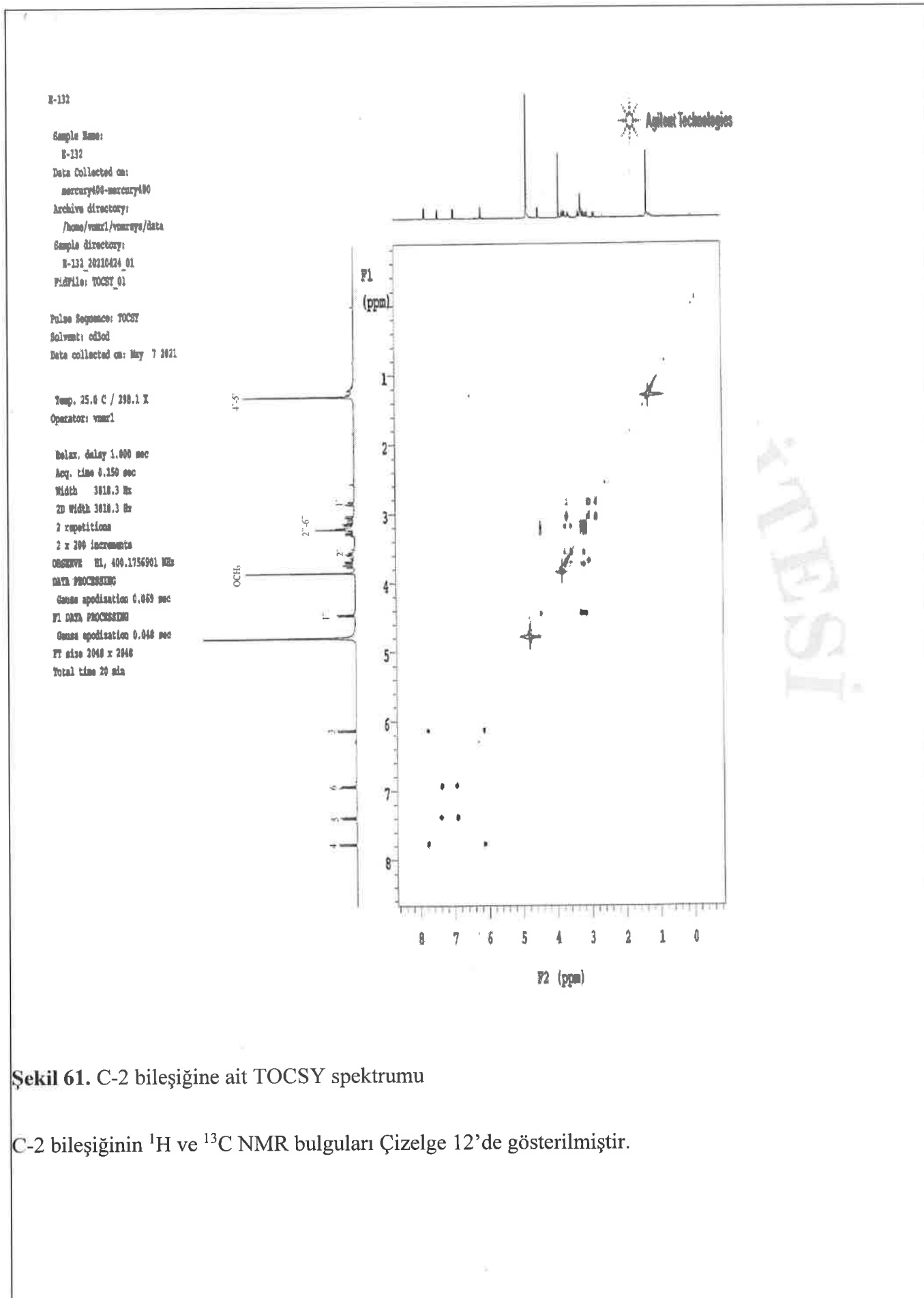
**Sekil 59.** C-2 bileşigine ait HMBC spektrumu

## EK-11 Sonuç Raporu Formatı



**Sekil 60.** C-2 bileşигine ait COSY spektrumu

## EK-11 Sonuç Raporu Formatı



**Sekil 61.** C-2 bileşigine ait TOCSY spektrumu

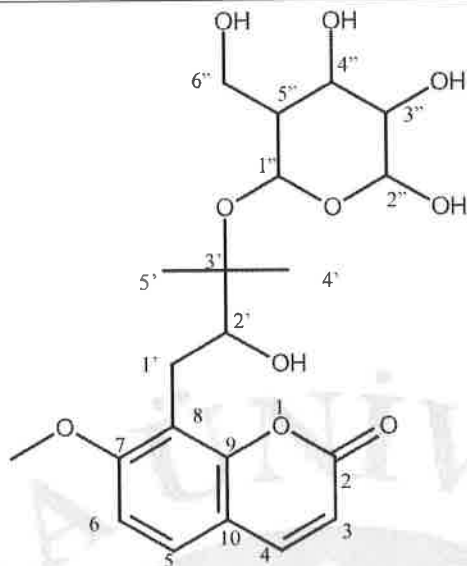
C-2 bileşığının <sup>1</sup>H ve <sup>13</sup>C NMR bulguları Çizelge 12'de gösterilmiştir.

## EK-11 Sonuç Raporu Forması

**Çizelge 12.** C-2 bileşığının  $^1\text{H}$  ve  $^{13}\text{C}$  NMR bulguları

Kimyasal kayma	Proton	C	$\delta$ (ppm)
-	-	-	-
-	-	C-2	163,842
6,12 (1H, d, $J=9,2$ )	H-3	C-3	113,226
7,76 (1H, d, $J=9,2$ )	H-4	C-4	146,546
7,38 (1H, d, $J=8,8$ )	H-5	C-5	128,659
6,92 (1H, d, $J=8,8$ )	H-6	C-6	109,177
-	-	C-7	162,679
-	-	C-8	117,294
-	-	C-9	154,885
-	-	C-10	114,510
2,83 (1H, dd, $J=13,6; 2,4$ ); 3,06 (1H, d, $J=10,4$ )	H-1'	C-1'	26,269
3,68 (1H, dd, $J=2,4; 10$ )	H-2'	C-2'	77,854
-	-	C-3'	81,600
1,29 (3H, s)	H-4'	C-4'	23,545
1,27 (3H, s)	H-5'	C-5'	23,404
4,45 (1H, d, $J=7,6$ )	H-1"	C-1"	98,499
3,06 (1H, d, $J=10$ )	H-2"	C-2"	75,534
3,25 (1H, m)	H-3"	C-3"	78,311
3,18, (1H, m)	H-4"	C-4"	71,822
3,10 (1H, m)	H-5"	C-5"	77,968
3,57, (1H, dd, $J=5,2; 12$ ; 3,73, dd, $J=1,2; 12$ )	H-6"	C-6"	62,939
3,83 (3H, s)	7-OCH <sub>3</sub>	7-OCH <sub>3</sub>	56,913

C-2 bileşığının  $^1\text{H}$  ve  $^{13}\text{C}$  NMR spektrumları incelendiğinde 21 C atomu içerdiği görülmüştür.  $\delta$ 163,842 ppm'de gözlenen kumarin yapısının karbonil grubuna ait karakteristik karbon sinyali ile  $\delta$ 6,12 ve  $\delta$ 7,76 ppm'lerde  $J=9,2$  degeriyle gözlenen dubletler kumarin iskeletinin varlığını ortaya koymuştur.  $\delta$ 7,38 ve  $\delta$ 7,76 sinyalleri ise kumarin iskeletine ait diğer aromatik protonları işaret etmiştir.  $\delta$ 3,83 (3H, s) ppm'de gözlenen metoksi sinyalinin HMBC spektrumunda  $\delta$ 162,679 ppm'deki karbon ile etkileştiği belirlenmiş ve metoksi grubunun iskelete 7. konumdan bağlandığı anlaşılmıştır. Bir diğer sübstiyonun ise iskelete 8.konumdan bağlanan  $\delta$ 26,269 sinyalinin temsil ettiği C-1' karbonu olduğunu, H-1' protonlarının HMBC spektrumunda  $\delta$ 117,294 karbonuya gösterdiği etkileşim ortaya koymuştur. C-2 bileşığının TOCSY spektrumu incelendiğinde  $\delta$ 26,269 protonlarının,  $\delta$ 2,83 (1H, dd,  $J=13,6; 2,4$ ) ve  $\delta$ 3,06 (1H, d,  $J=10,4$ ),  $\delta$ 77,854 protonuna komşu olduğu görülmüştür.  $\delta$ 1,293 (3H, s) ve  $\delta$ 1,271 (3H, s) sinyallerinin temsil ettiği metil protonları ile  $\delta$ 2,83 (1H, dd,  $J=13,6; 2,4$ );  $\delta$ 3,06 (1H, d,  $J=10,4$ );  $\delta$ 3,68 (1H, dd,  $J=2,4; 10$ ) sinyalleri iki oksijen atomu bağlı alifatik butil grubunu göstermiştir.  $\delta$ 4,45 (1H, d,  $J=7,6$ )  $\delta$ C 98,499 ppm'deki anomeric karbon sinyali şeker ünitesinin varlığını ifade etmiş,  $^1\text{H}$  ve  $^{13}\text{C}$  şekerin glukoz olduğunu doğrulamıştır. Glukozun anomeric protonu  $\delta$ 4,45  $J=7,6$  degeriyle  $\beta$  konumundan bağlandığını göstermiştir. Literatür verileri ile karşılaştırıldığında C-2 bileşığının 3'-O- $\beta$ -glikozilmeranzin hidrat olduğu ortaya çıkmıştır ve meranzin hidrat III olarak isimlendirilmiştir (Tian ve ark., 2019). C-2 bileşığının yapı tayini bulguları Şekil 62'de verilmiştir.



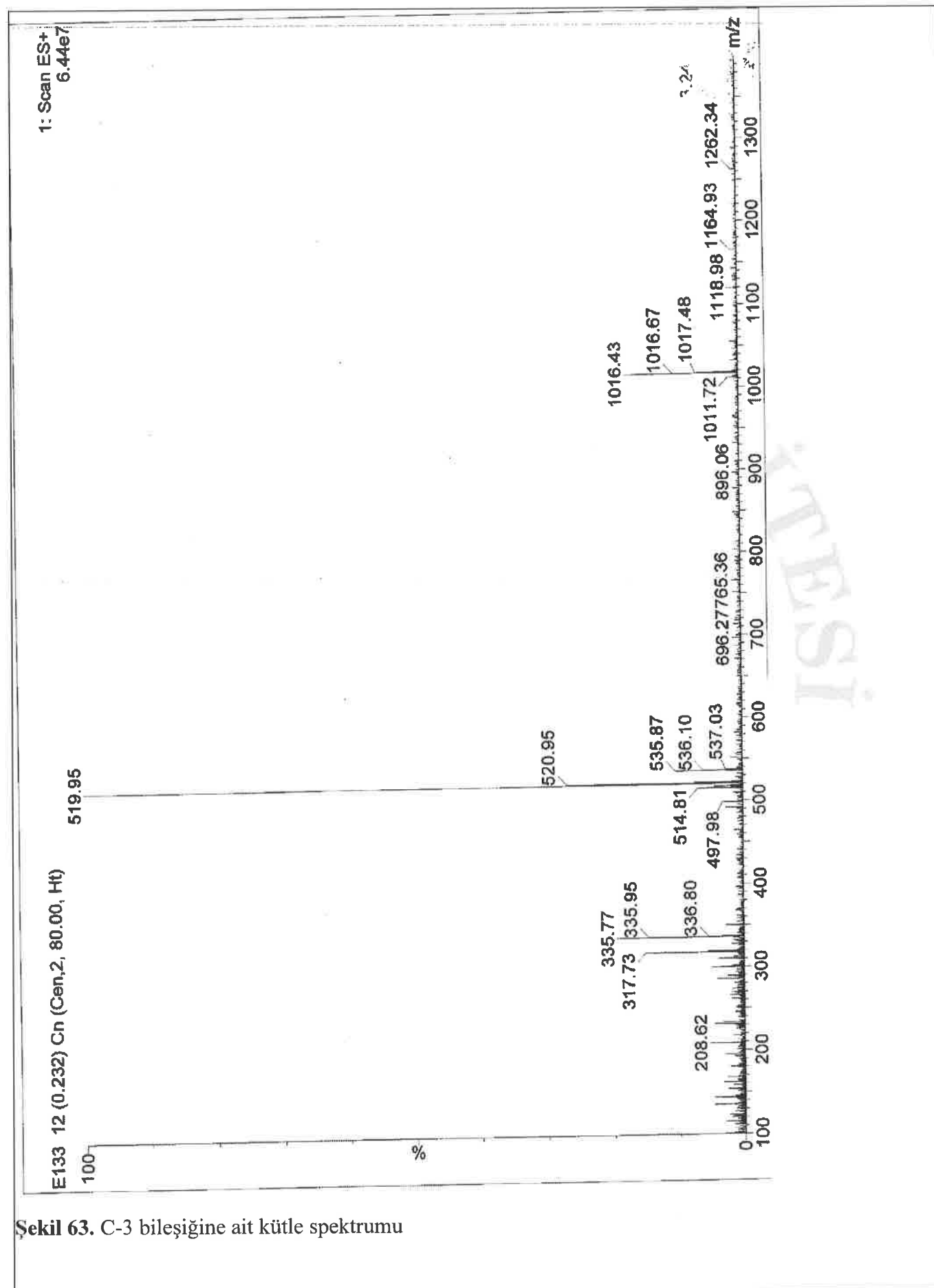
<b>Molekül Adı</b>	Meranzin hidrat III
<b>Molekül Ağırlığı</b>	422
<b>Molekül Formülü</b>	C <sub>20</sub> H <sub>22</sub> O <sub>10</sub>
<b>Özellikleri</b>	Sarı, yağimsı

**Şekil 62.** C-2 bileşığının yapı tayini bulguları

#### C-3 Bileşığının Yapı Tayini

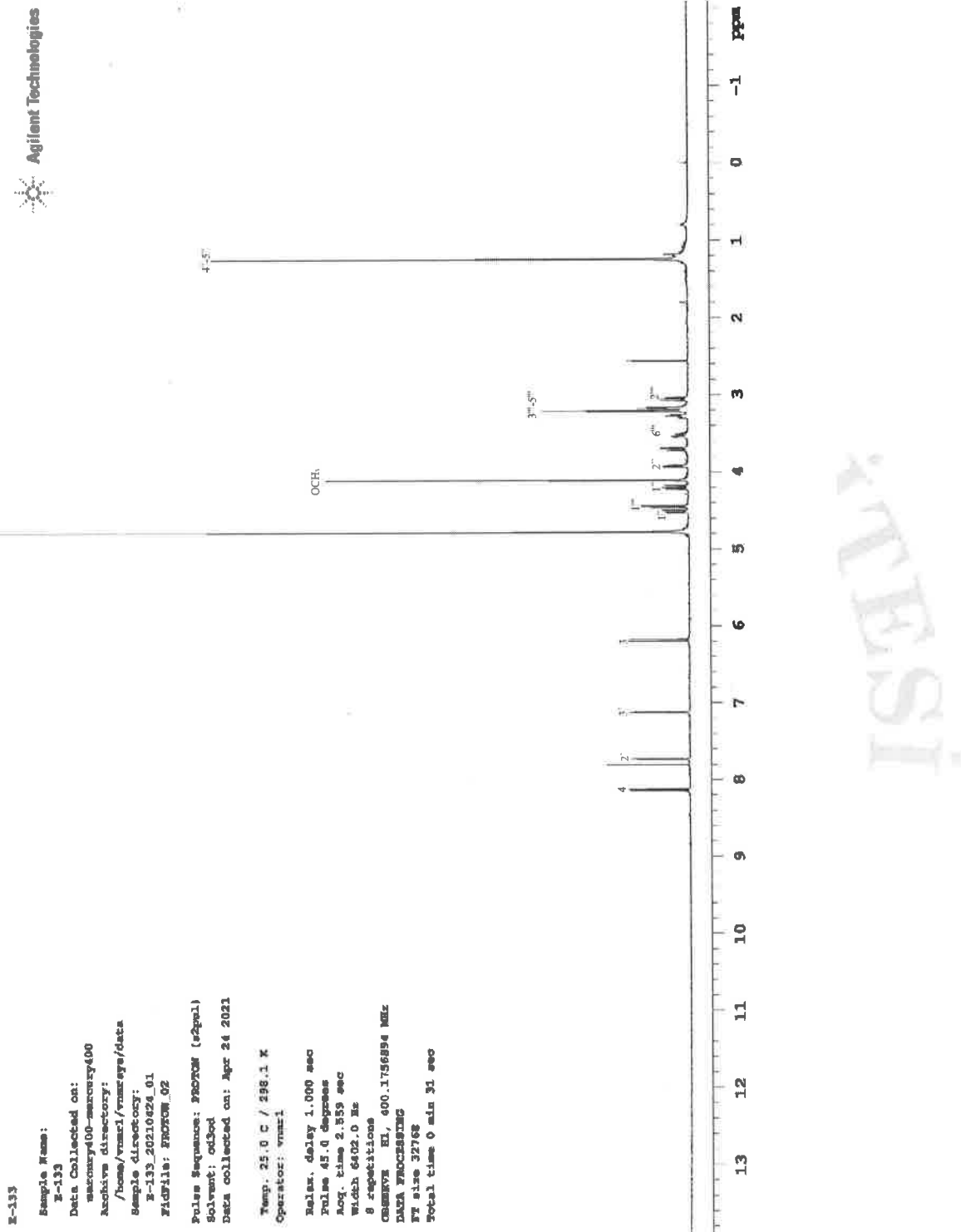
C-3 bileşigine ait kütle spektrumu ile <sup>1</sup>H ve <sup>13</sup>C NMR ile 2D NMR spektrumları Şekil 63-69'da verilmiştir.

EK-11 Sonuç Raporu Formatı



**Sekil 63.** C-3 bileşigine ait kütle spektrumu

## EK-11 Sonuç Raporu Formatı



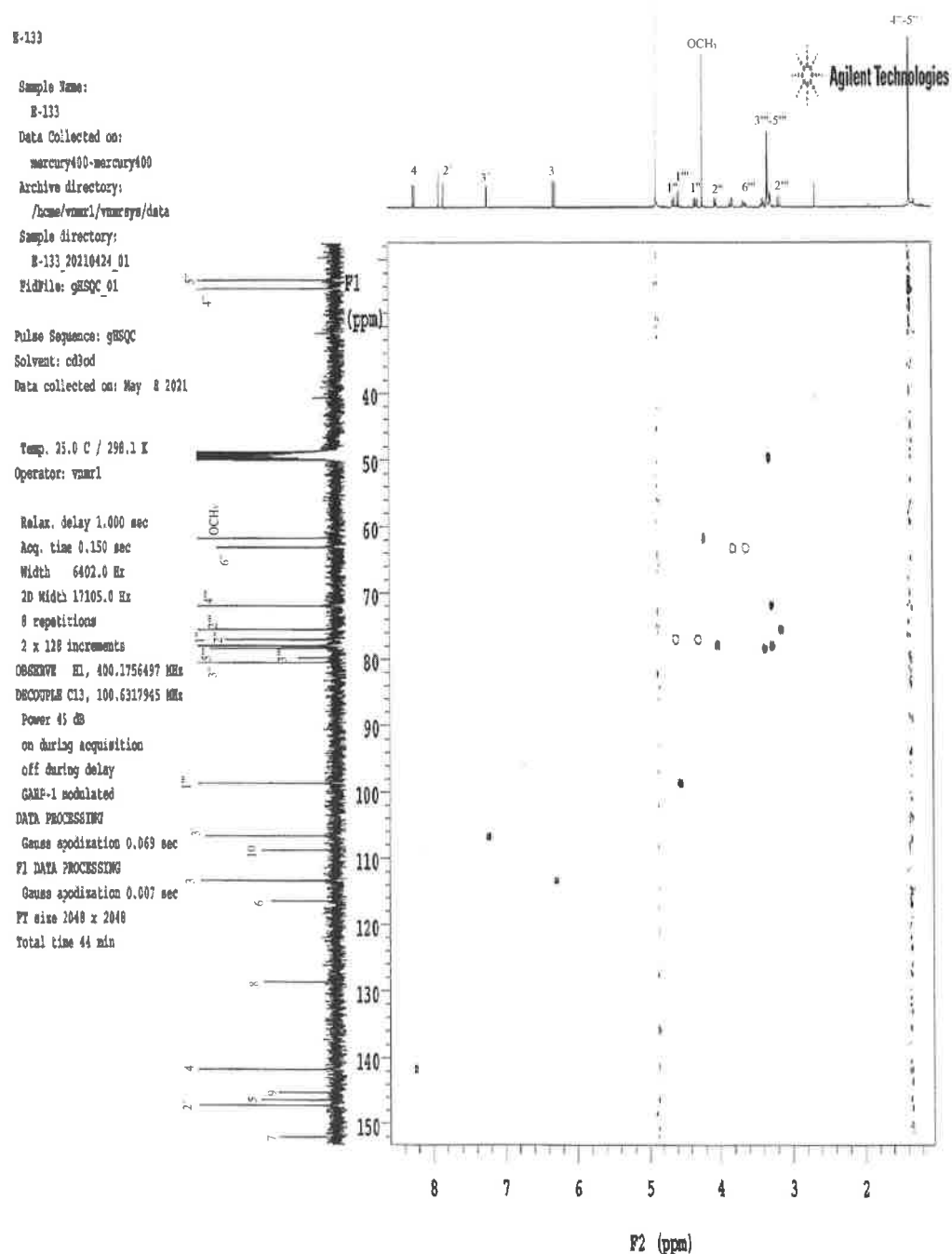
Şekil 64. C-3 bileşigine ait  $^1\text{H}$  NMR spektrumu

## EK-11 Sonuç Raporu Formatı



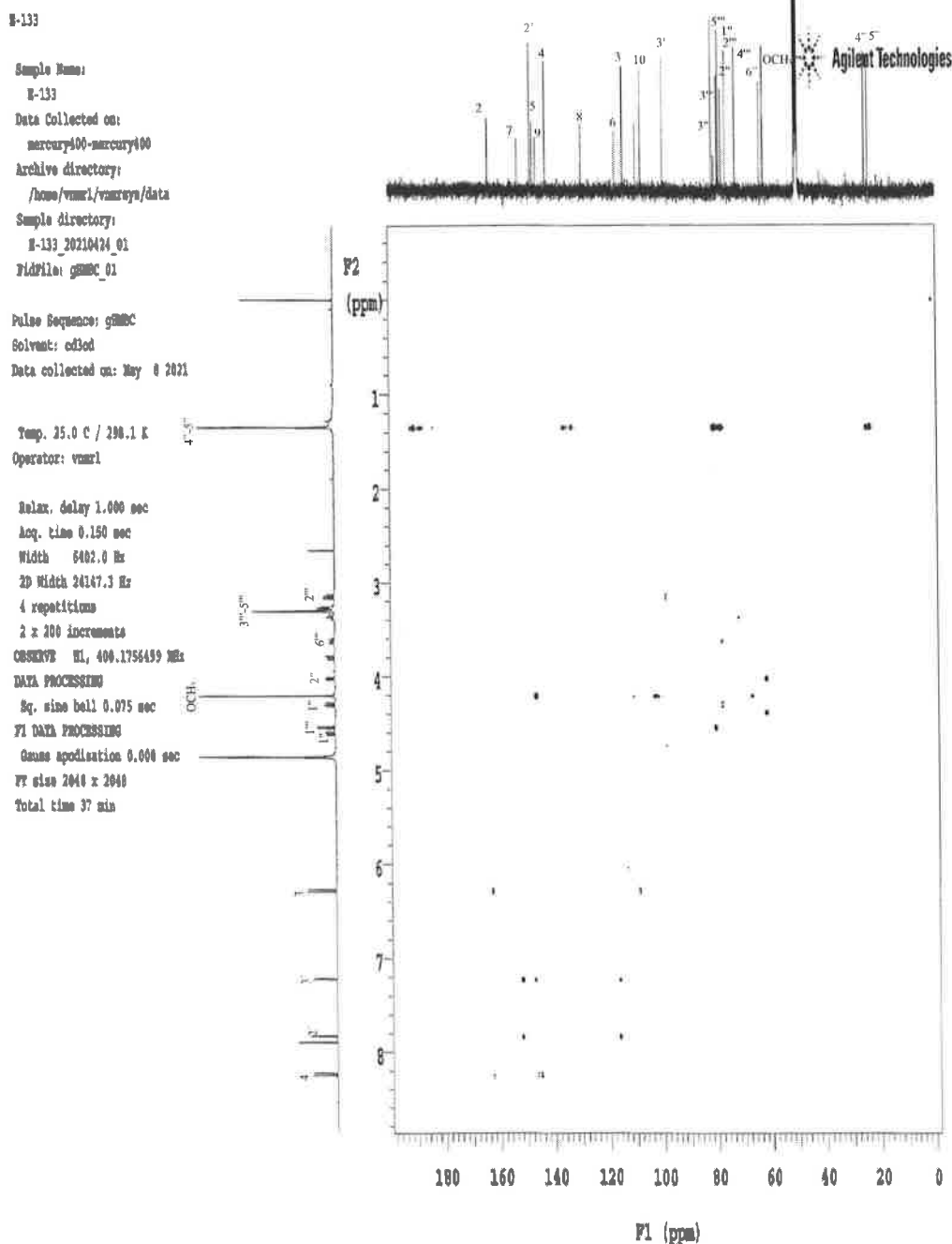
**Şekil 65.** C-3 bileşigine ait <sup>13</sup>C NMR spektrumu

## EK-11 Sonuç Raporu Formatı



Şekil 66. C-3 bileşигine ait HSQC spektrumu

## EK-11 Sonuç Raporu Formatı



Sekil 67. C-3 bileşигine ait HMBC spektrumu

## EK-11 Sonuç Raporu Formatı

E-133

Sample Name:

E-133

Data Collected on:

mercury400-mercury400

Archive directory:

/home/vmrci/vmrciya/data

Sample directory:

E-133\_20210424\_01

Fitfile: gCOSY\_01

Pulse Sequence: gCOSY

Solvent: cdod

Data collected on: May 4 2021

Temp. 25.0 C / 298.1 K

Operator: vmarl

Relax. delay 1.000 sec

Avg. time 0.150 sec

Width 4042.0 Hz

2D Width 4042.0 Hz

4 repetitions

128 increments

OBSERVE H1, 400.1754519 MHz

DATA PROCESSING

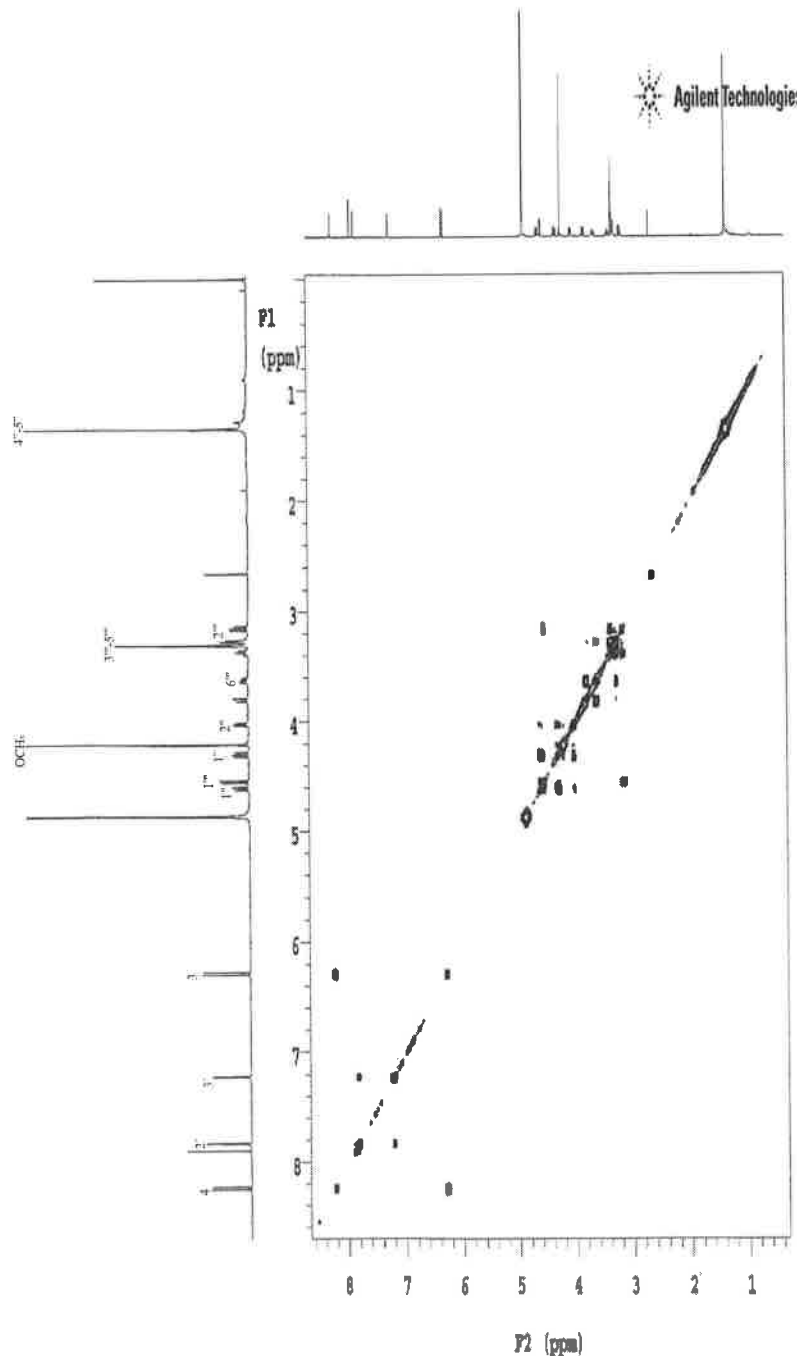
Sq. sine bell 0.075 sec

F1 DATA PROCESSING

Sq. sine bell 0.032 sec

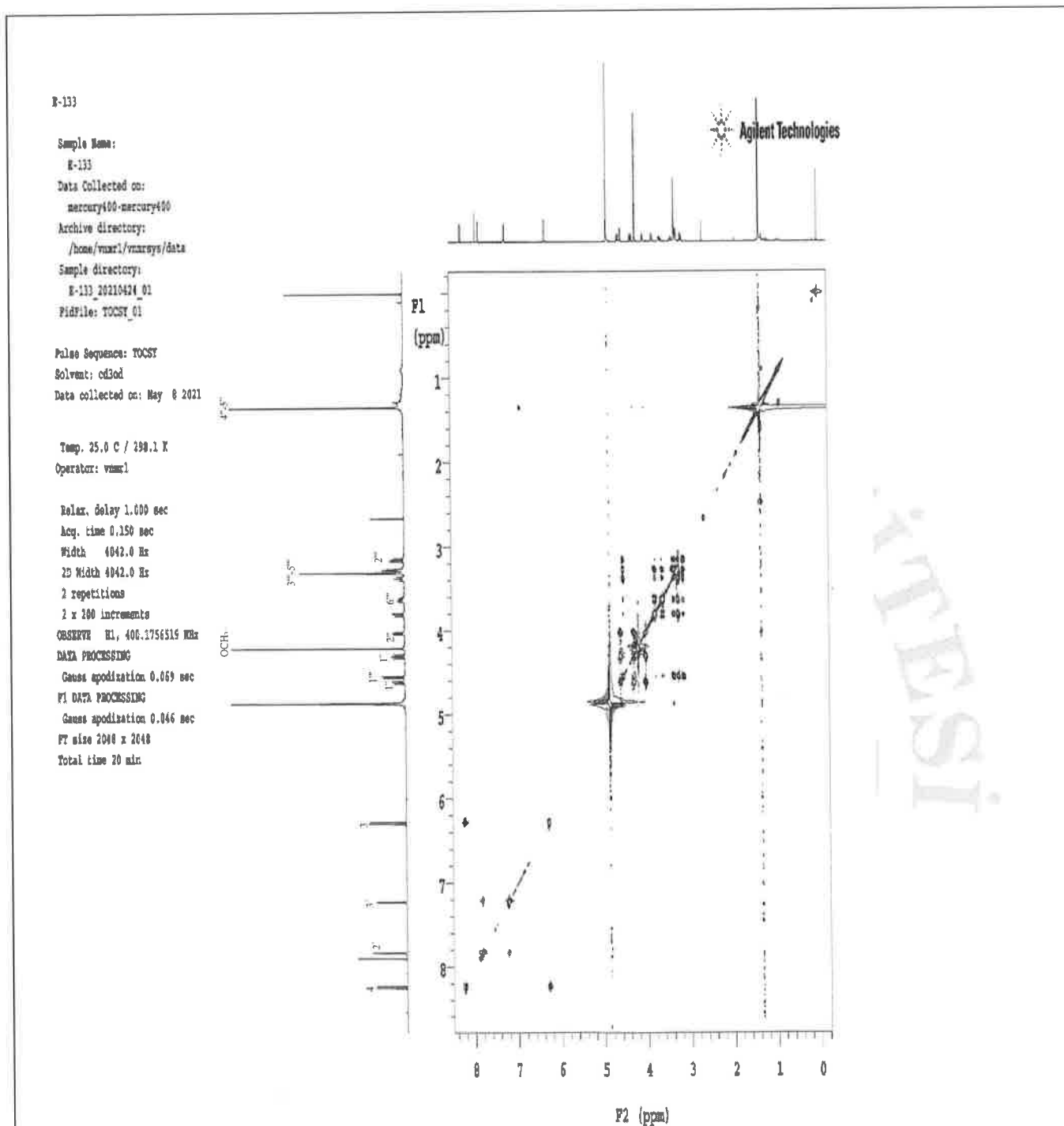
FT size 2048 x 2048

Total time 11 min



**Sekil 68.** C-3 bileşigine ait COSY spektrumu

## EK-11 Sonuç Raporu Forması



**Şekil 69.** C-3 bileşигine ait TOCSY spektrumu

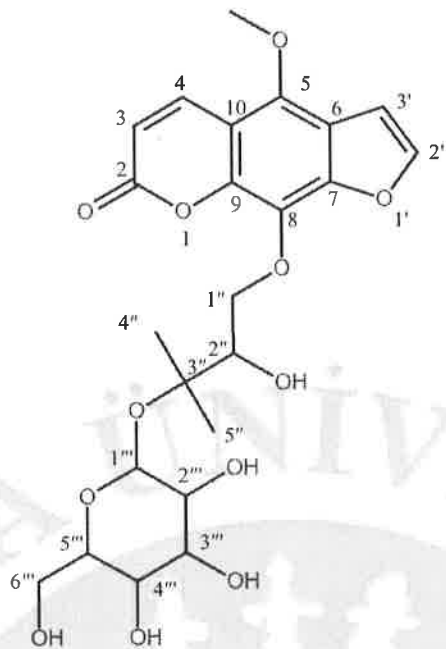
C-3 bileşiginin  $^1\text{H}$  ve  $^{13}\text{C}$  NMR bulguları Çizelge 13'te sunulmuştur.  $\delta$ 6,18 (1H, d,  $J= 10$ ) sinyali kumarin yapısının H-3 protonunu,  $\delta$ 8,13 (1H, d,  $J= 10$ ) sinyali ise H-4 protonunu göstermiştir.  $\delta$ 7,72 (1H, d,  $J=2$ ) ve  $\delta$ 7,12 (1H, d,  $J=2,4$ ) protonları ise düzlemsel furanokumarin yapısını işaret etmiştir. Metoksi grubuna ait  $\delta$ 4,108 (3H, s) protonları HMBC spektrumunda  $\delta$ 146,334 karbon sinyaliyle etkileşmiştir ve kumarin halkasına 5.konumdan bağlı metoksi grubunun varlığı ortaya konmuştur.  $\delta$ 4,51 (1H, dd,  $J=2,8; 10,4$ ) ve  $\delta$ 4,20 (1H, dd,  $J=8, 10,4$ ) protonları oksijen atomuna bağlı bir  $-\text{CH}_2$  grubunu göstermiştir. HMBC spektrumunda  $\delta$ 128,564 ppm'deki karbon sinyaliyle etkileşen  $-\text{CH}_2$  protonları yapının halkaya oksijen ile 8.konumdan bağlandığını işaret etmiştir. Dubletin dubleti olarak gözlenen

## EK-11 Sonuç Raporu Formatı

$\delta$ 3,92 (1H, dd,  $J=2,4; 7,6$ ) protonunun kimyasal kayma değeri ve TOCSY etkileşimleri  $-CH_2$  grubuna bağlı bir karbonda olduğu göstermiştir.  $\delta$ 1,24 (3H, s) ve  $\delta$ 1,24 (3H, s) ppm'de izlenen proton sinyalleri ile HMBC etkileşimleri kuaterner karbona ( $\delta$ 80,397 ppm) bağlı iki metil grubunun varlığını göstermiştir. Anomerik protona ait sinyal  $\delta$ 4,45 (1H, d,  $J=7,6$ ) ppm'de izlenmiş ve  $^1H$ ,  $^{13}C$  NMR bulguları ile glikoz olarak tayin edilen ozun  $\beta$  konumundan bağlandığı ortaya konmuştur. Bulgular C-3'ün "byakangelisin-3"-O- $\beta$ -glikozit" olduğunu göstermiştir ve literatür verileriyle desteklenmiştir (Şekil 70) (Kim ve ark., 1992).

**Çizelge 13.** C-3 bileşiginin  $^1H$  ve  $^{13}C$  NMR bulguları

Kimyasal kayma	Proton	C	$\delta$ (ppm)
-	-	-	-
6,18 (1H, d, $J= 10$ )	H-3	C-2	162,270
8,13 (1H, d, $J= 10$ )	H-4	C-3	113,301
-	-	C-4	141,663
-	-	C-5	146,334
-	-	C-6	116,372
-	-	C-7	151,943
-	-	C-8	128,564
-	-	C-9	145,176
-	-	C-10	108,759
-	-	-	-
7,72 (1H, d, $J=2$ )	H-2'	C-2'	147,188
7,12 (1H, d, $J=2,4$ )	H-3'	C-3'	106,626
4,51 (1H, dd, $J=2,8; 10,4$ ); 4,20 (1H, dd, $J=8, 10,4$ )	H-1"	C-1"	76,930
3,92 (1H, dd, $J=2,4; 7,6$ )	H-2"	C-2"	77,814
-	J'	C-3"	80,397
1,24 (3H, s)	H-4"	C-4"	24,221
1,24 (3H, s)	H-5"	C-5"	22,948
4,45 (1H, d, $J=7,6$ )	H-1'''	C-1'''	98,594
3,05 (1H, dd, $J=7,6; 9,2$ )	H-2'''	C-2'''	75,421
3,17 (1H, m)	H-3'''	C-3'''	78,271
3,17 (1H, m)	H-4'''	C-4'''	71,862
3,17 (1H, m)	H-5'''	C-5'''	77,928
3,73 (1H, dd, $J=20; 11,6$ ); 3,52 (1H, dd, $J= 5,2; 12$ )	H-6'''	C-6'''	62,993
4,10 (3H, s)	5-OCH <sub>3</sub>	5-OCH <sub>3</sub>	61,606

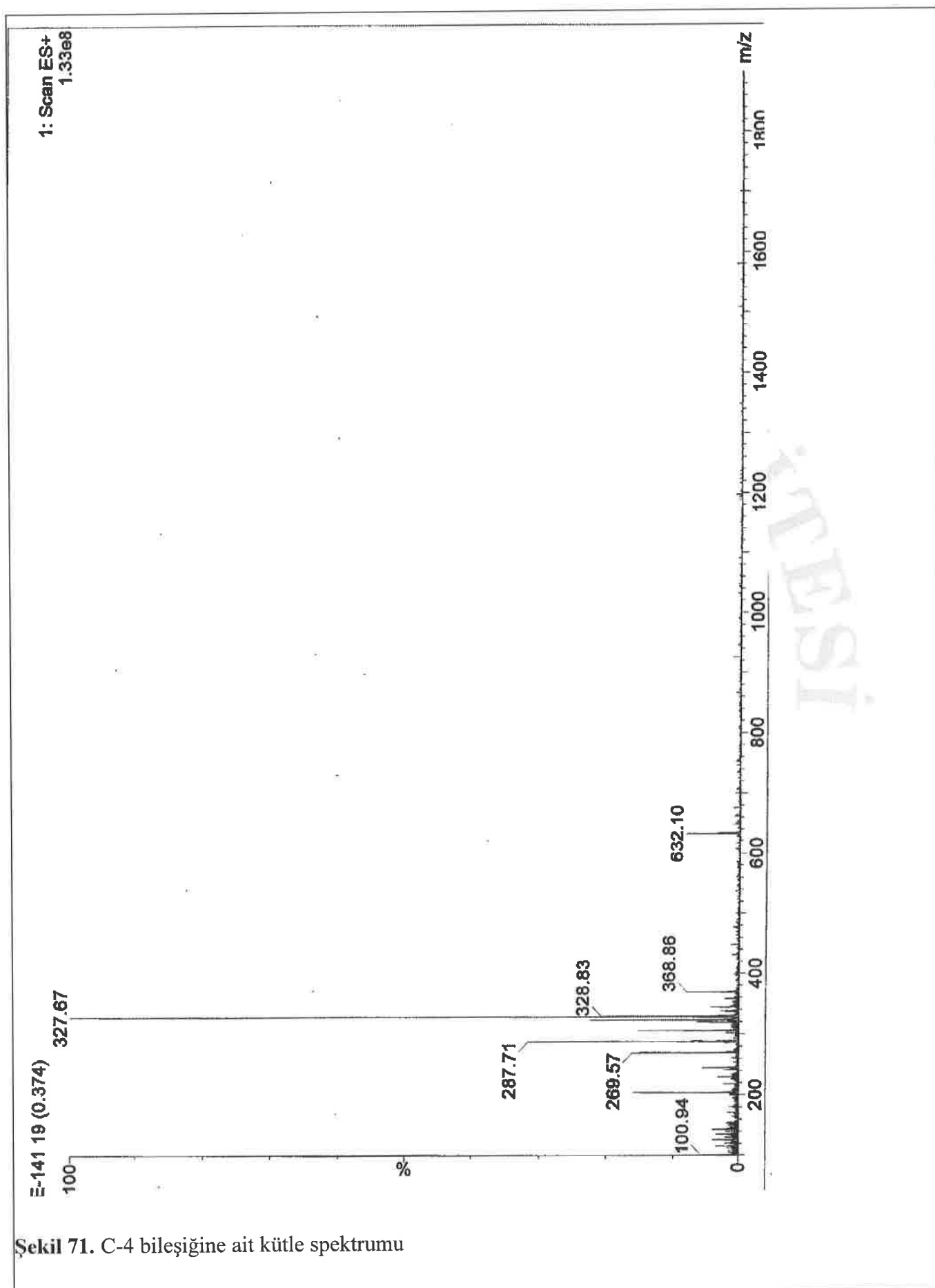


Molekül Adı	Byakangelisin-3''-O- $\beta$ -glikozit
Molekül Ağırlığı	496
Molekül Formülü	C <sub>23</sub> H <sub>28</sub> O <sub>12</sub>
Özellikİ	Sarı, yağlımsı

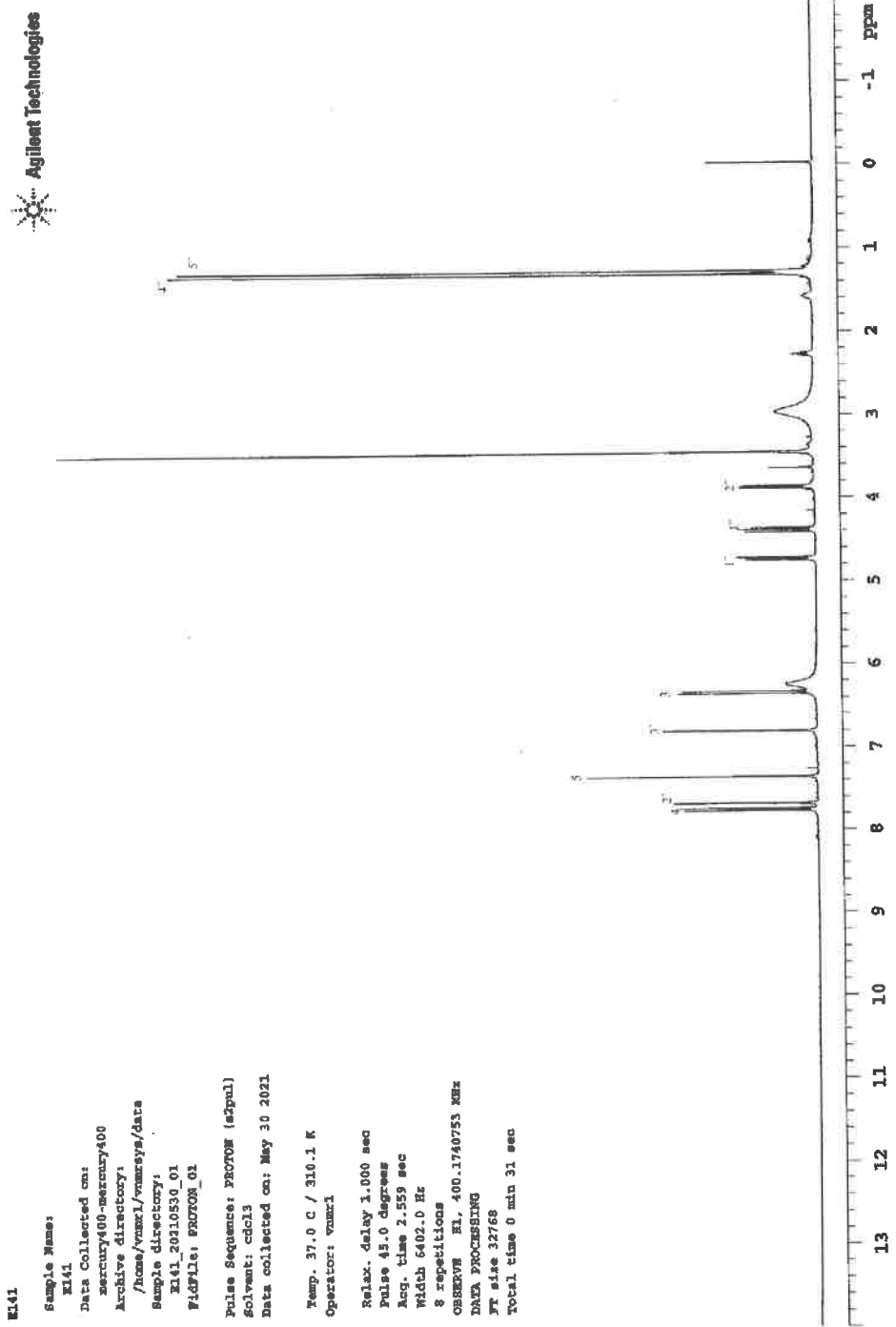
**Şekil 70.** C-3 bileşığının yapı tayini bulguları

#### C-4 Bileşığının Yapı Tayini

C-4 bileşigine ait kütle spektrumu ile <sup>1</sup>H ve <sup>13</sup>C NMR ile 2D NMR spektrumları Şekil 71-77'de verilmiştir.

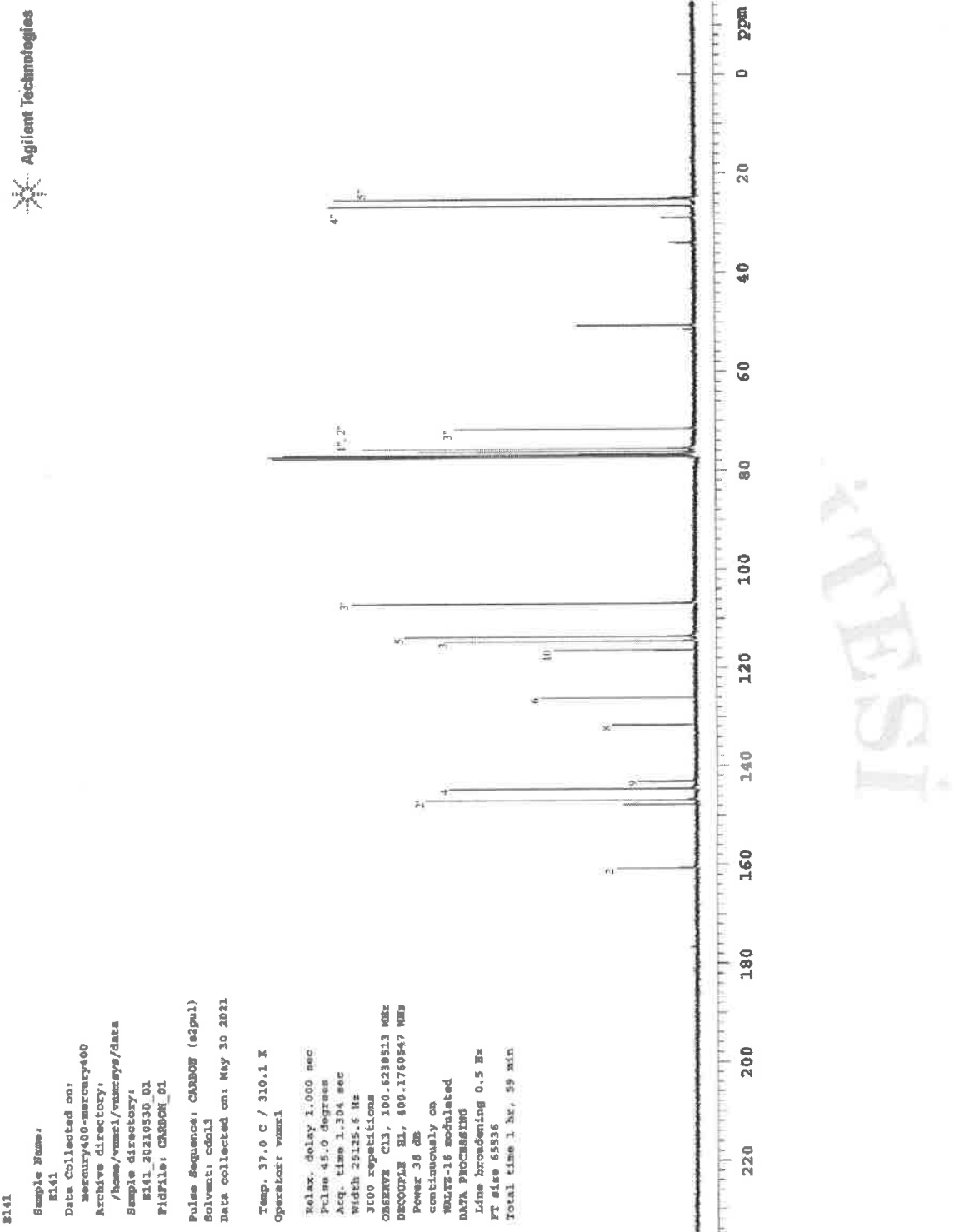


## EK-11 Sonuç Raporu Formatı



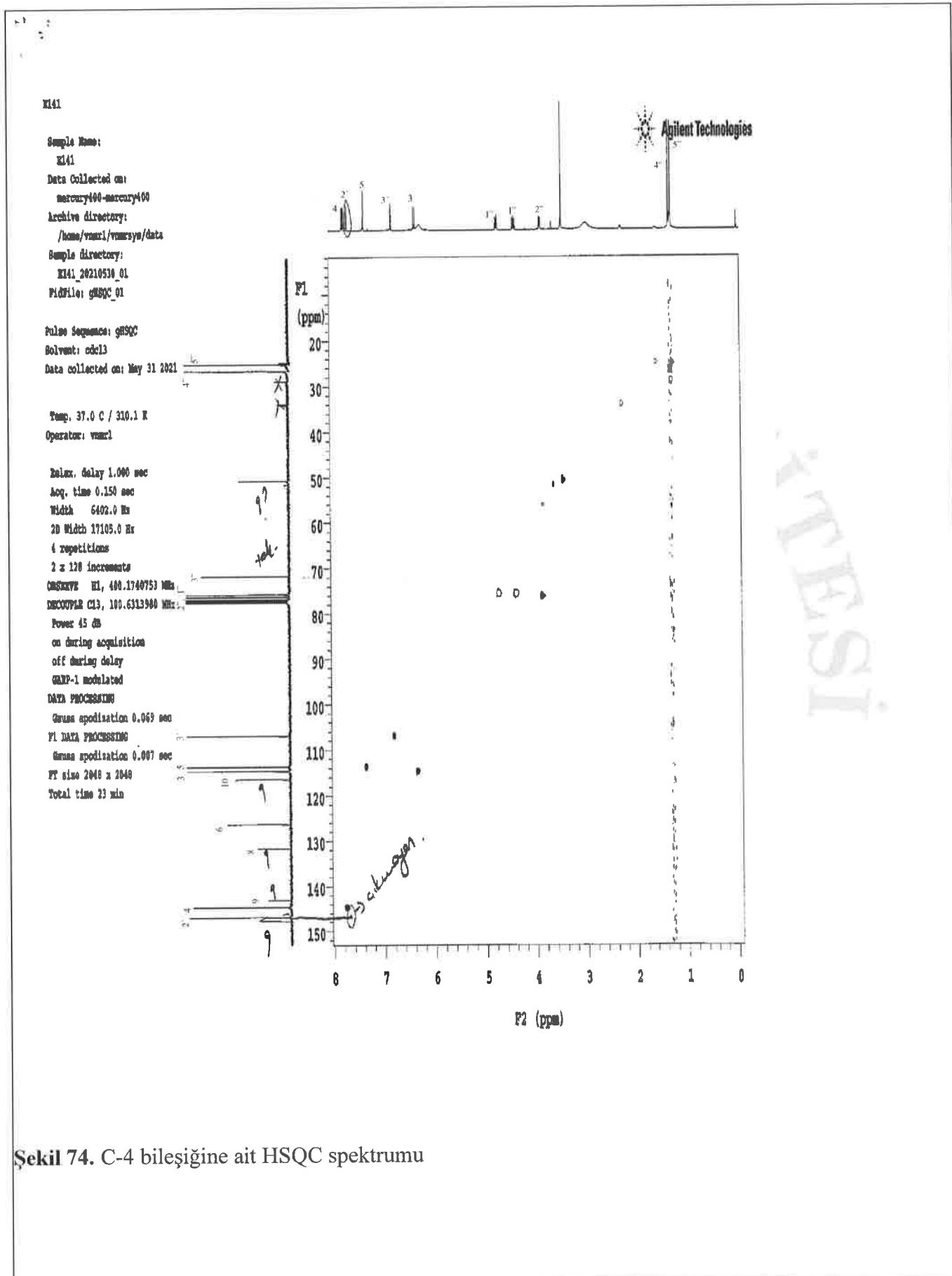
Şekil 72. C-4 bileşigine ait  $^1\text{H}$  NMR spektrumu

## EK-11 Sonuç Raporu Formatı



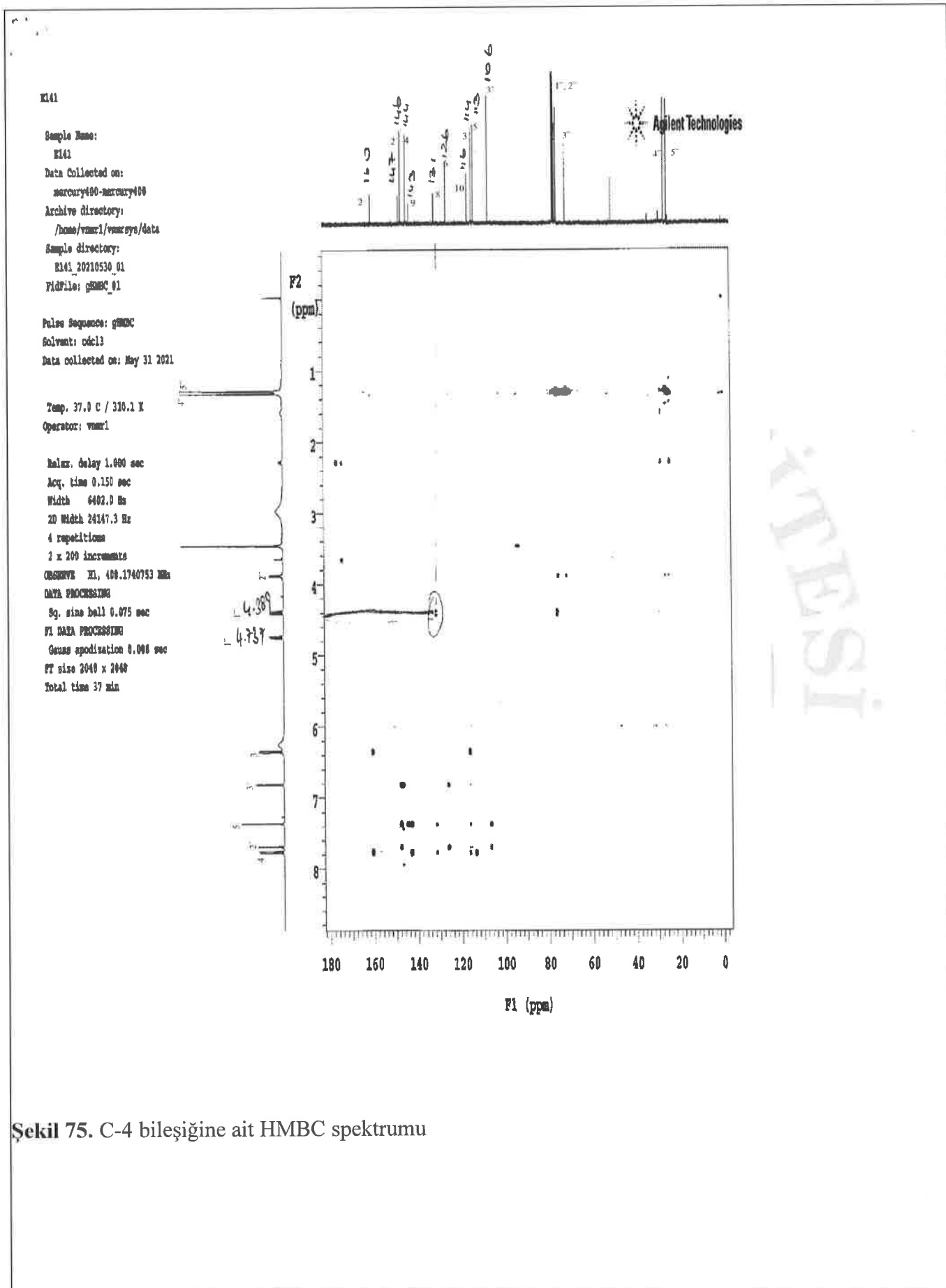
Sekil 73. C-4 bileşigine ait  $^{13}\text{C}$  NMR spektrumu

## EK-11 Sonuç Raporu Formatı



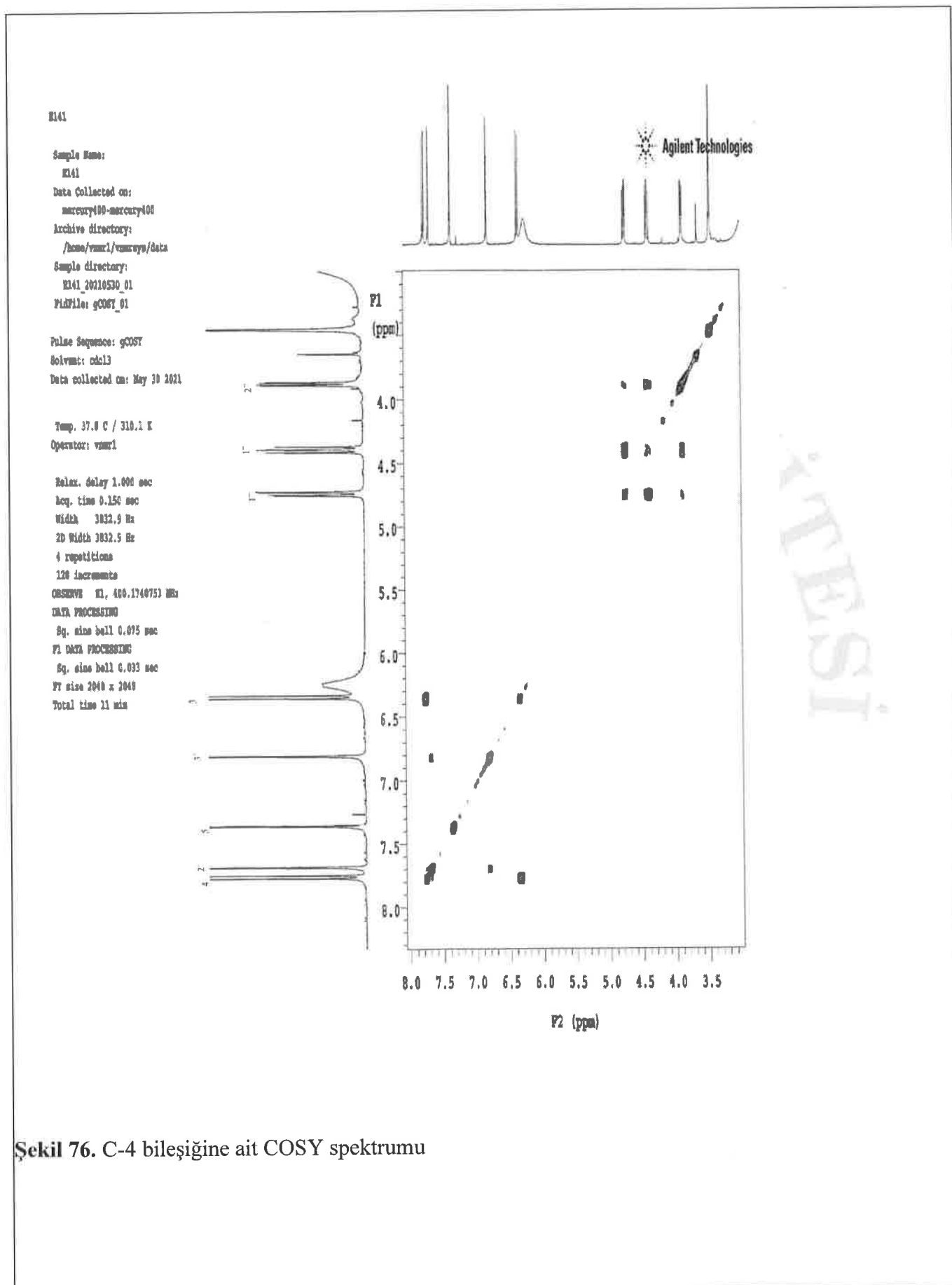
Şekil 74. C-4 bileşигine ait HSQC spektrumu

## EK-11 Sonuç Raporu Formatı



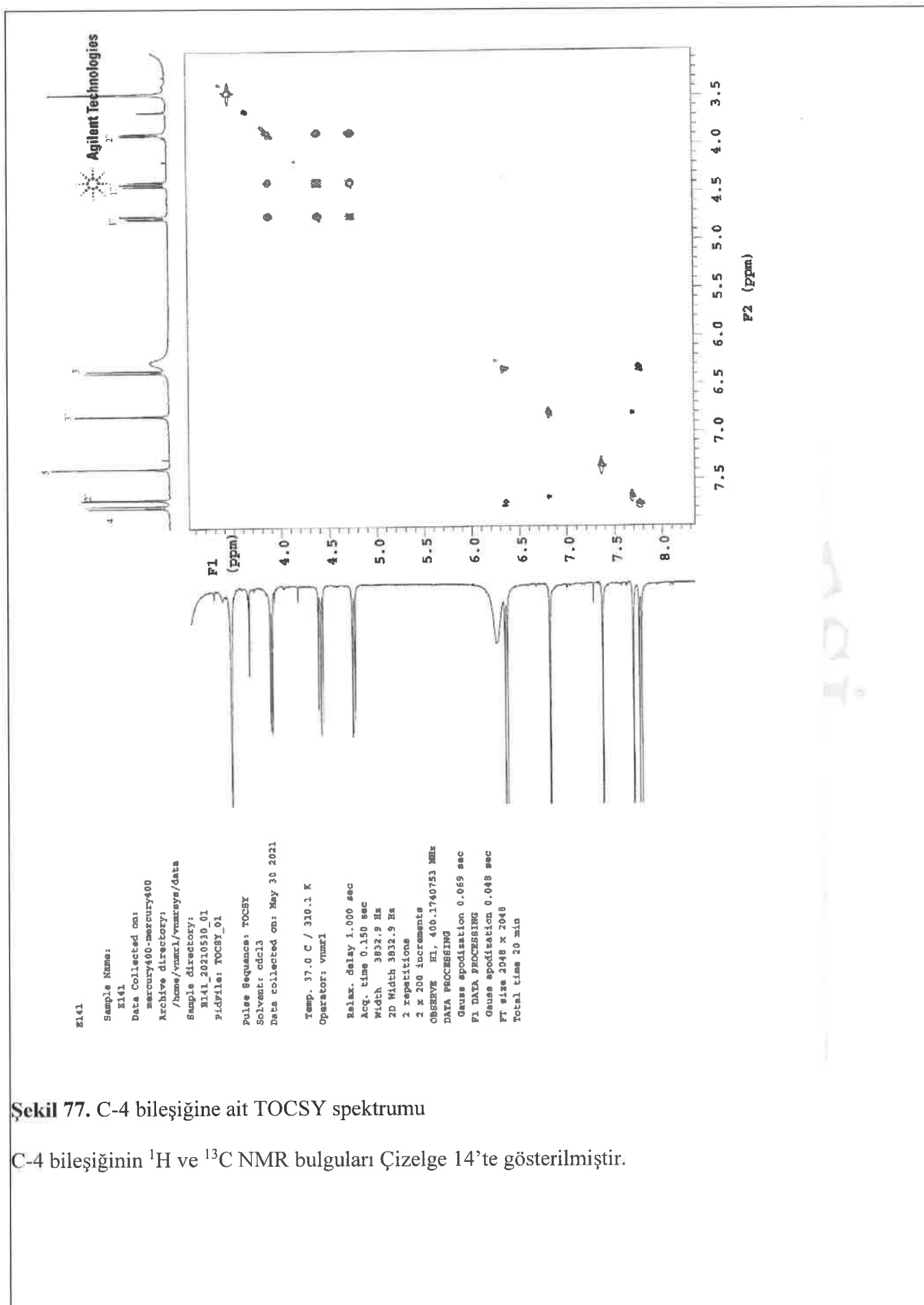
Şekil 75. C-4 bileşigine ait HMBC spektrumu

## EK-11 Sonuç Raporu Formatı



Şekil 76. C-4 bileşигine ait COSY spektrumu

## EK-11 Sonuç Raporu Formatı



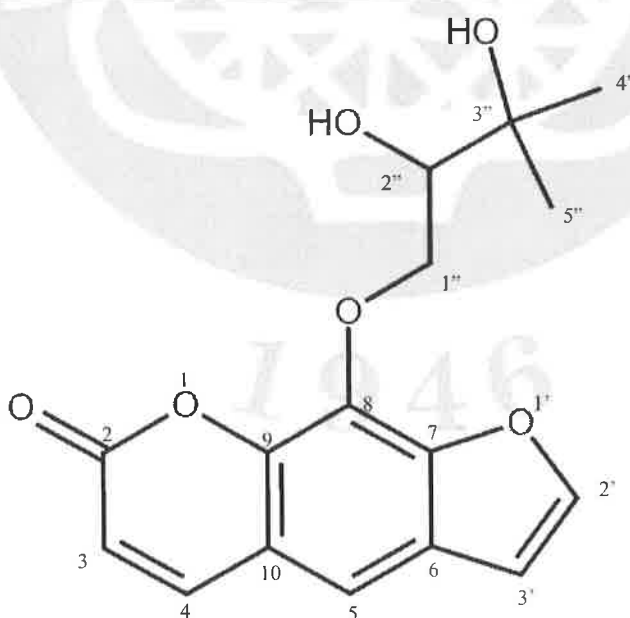
**Şekil 77.** C-4 bileşigine ait TOCSY spektrumu

C-4 bileşığının  $^1\text{H}$  ve  $^{13}\text{C}$  NMR bulguları Çizelge 14'te gösterilmiştir.

**Çizelge 14.** C-4 bileşığının  $^1\text{H}$  ve  $^{13}\text{C}$  NMR bulguları

Kimyasal kayma	Proton	C	$\delta$ (ppm)
-	-	C-2	160,621
6,43 (1H, d, $J= 9,2$ )	H-3	C-3	114,572
7,75 (1H, d, $J= 9,2$ )	H-4	C-4	144,565
7,35 (1H, s)	H-5	C-5	113,597
-	-	C-6	126,178
-	-	C-7	147,750
-	-	C-8	131,596
-	-	C-9	143,041
-	-	C-10	116,886
7,68 (1H, d, $J=2$ )	H-2'	C-2'	146,859
6,80 (1H, d, $J=2,4$ )	H-3'	C-3'	106,853
4,73 (1H, dd, $J=2,8; 10$ ); 4,38 (1H, dd, $J=8, 10$ )	H-1''	C-1''	75,602
3,87 (1H, dd, $J=2,8; 8$ )	H-2''	C-2''	76,174
-	H-3''	C-3''	71,594
1,31 (3H, s)	H-4''	C-4''	26,452
1,27 (3H, s)	H-5''	C-5''	25,035

C-4 bileşığının NMR bulguları (Çizelge 3.6) incelendiğinde C-1 bileşığının aglikonuyla çok benzer proton ve karbon sinyallerine sahip olduğu görülmüştür.  $\delta$ 6,43 (1H, d,  $J= 9,2$ ) ve  $\delta$ 7,75 (1H, d,  $J= 9,2$ ) karakteristik proton sinyalleri güçlü bir şekilde kumarin yapısın işaret etmiştir.  $\delta$ 160,621 ppm'deki karbonil yapısına ait sinyal kumarin iskeletini doğrulamıştır.  $\delta$ 7,68 ve  $\delta$ 6,80 protonları kumarin iskeletine kondansه furan yapısını göstermiştir.  $\delta$ 1,31 (3H, s) ve  $\delta$ 1,27 (3H, s) sinyalleri iki metil grubunu ifade etmiş olup,  $\delta$ 4,73 (1H, dd,  $J=2,8; 10$ );  $\delta$ 4,38 (1H, dd,  $J=8, 10$ ) sinyalleri kumarin halkasına oksijen atomu ile bağlanmış  $-\text{CH}_2$  yapısını göstermiştir. Komşu karbonunda ise  $\delta$ 3,87 (1H, dd,  $J=2,8; 8$ ) proton sinyali görülmüştür.  $\delta$ 71,594 karbon sinyali ile  $\delta$ 1,31 (3H, s) ve  $\delta$ 1,27 (3H, s) metil protonu sinyalleri  $\delta$ 3,87 protonunun karbonuna bağlı bir izopropil grubunun varlığını ortaya koymuştur. Bileşik heraklenol olarak tayin edilmiş, literatür verileriyle bu bulgular doğrulanmıştır. (Niu ve ark., 2002) (Şekil 78).

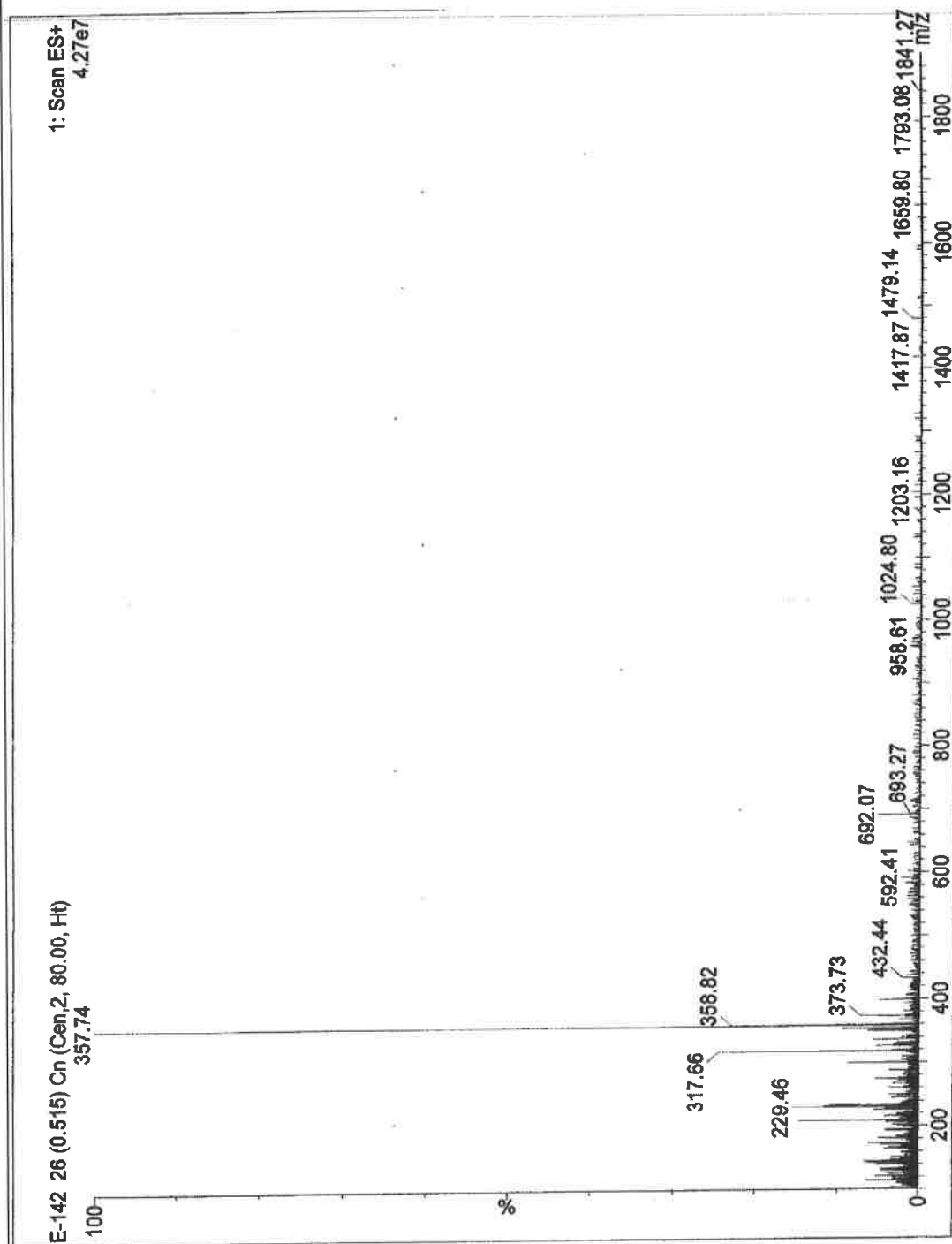


Molekül Adı	Heraklenol
Molekül Ağırlığı	304
Molekül Formülü	$\text{C}_{16}\text{H}_{16}\text{O}_6$
Özellikleri	Sarı, yağimsı

**Şekil 78.** C-4 bileşığının yapı tayini bulguları

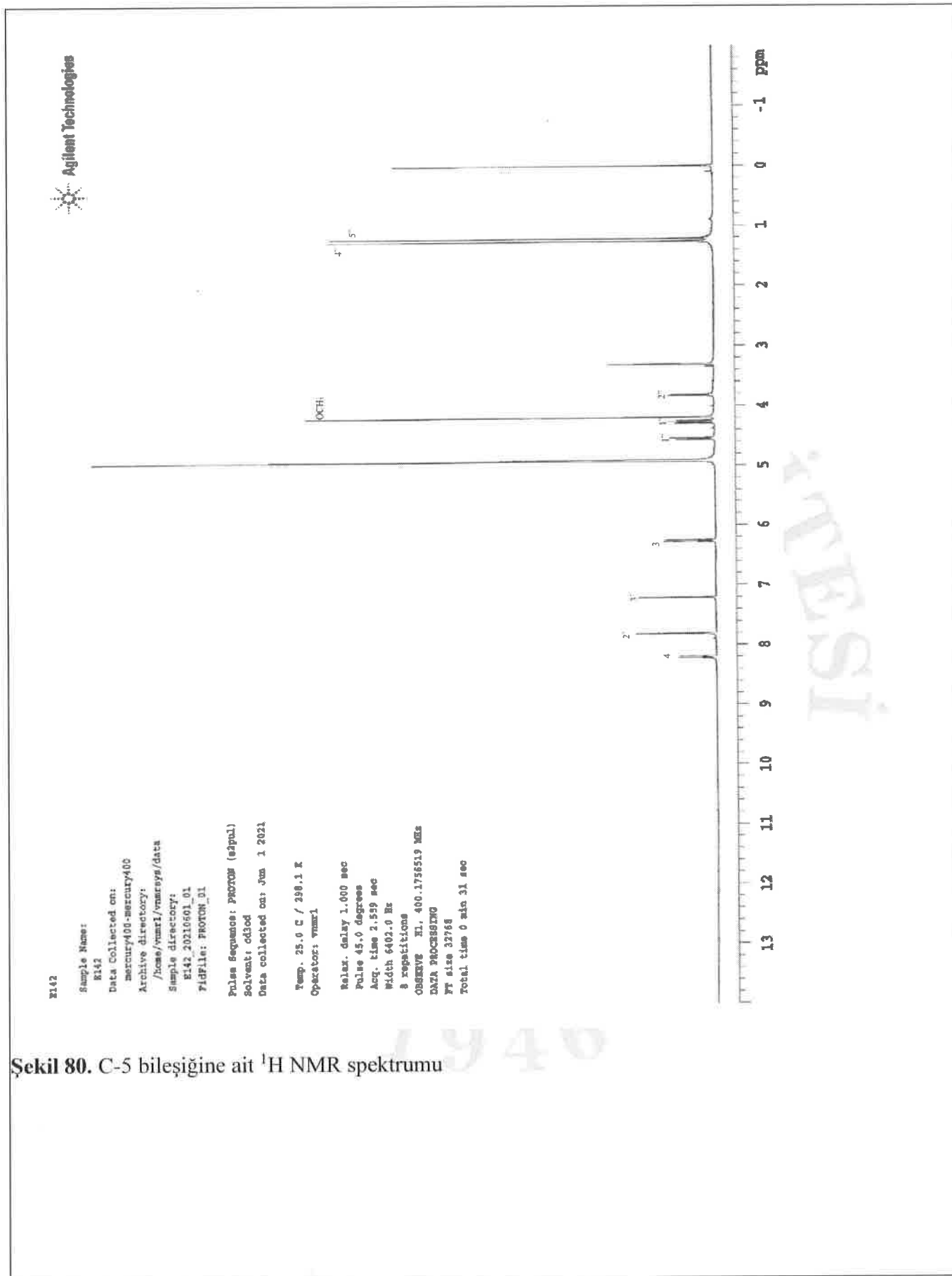
### C-5 Bileşığının Yapı Tayini

C-5 bileşığine ait kütle spektrumu Şekil 79'da verilmiştir.  $^1\text{H}$  ve  $^{13}\text{C}$  NMR ile 2D NMR spektrumları Şekil 80-85'te verilmiştir. C-1 bileşığının  $^1\text{H}$  ve  $^{13}\text{C}$  NMR bulguları Çizelge 15'te gösterilmiştir.



Şekil 79. C-5 bileşığine ait kütle spektrumu

## EK-11 Sonuç Raporu Formatı

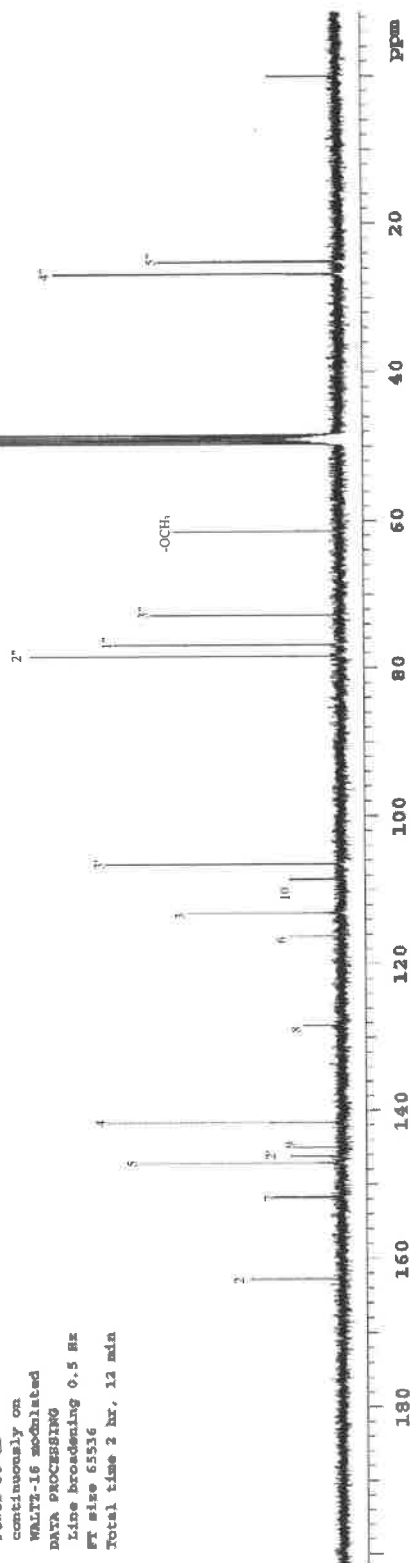


Şekil 80. C-5 bileşigine ait <sup>1</sup>H NMR spektrumu

## EK-11 Sonuç Raporu Formatı

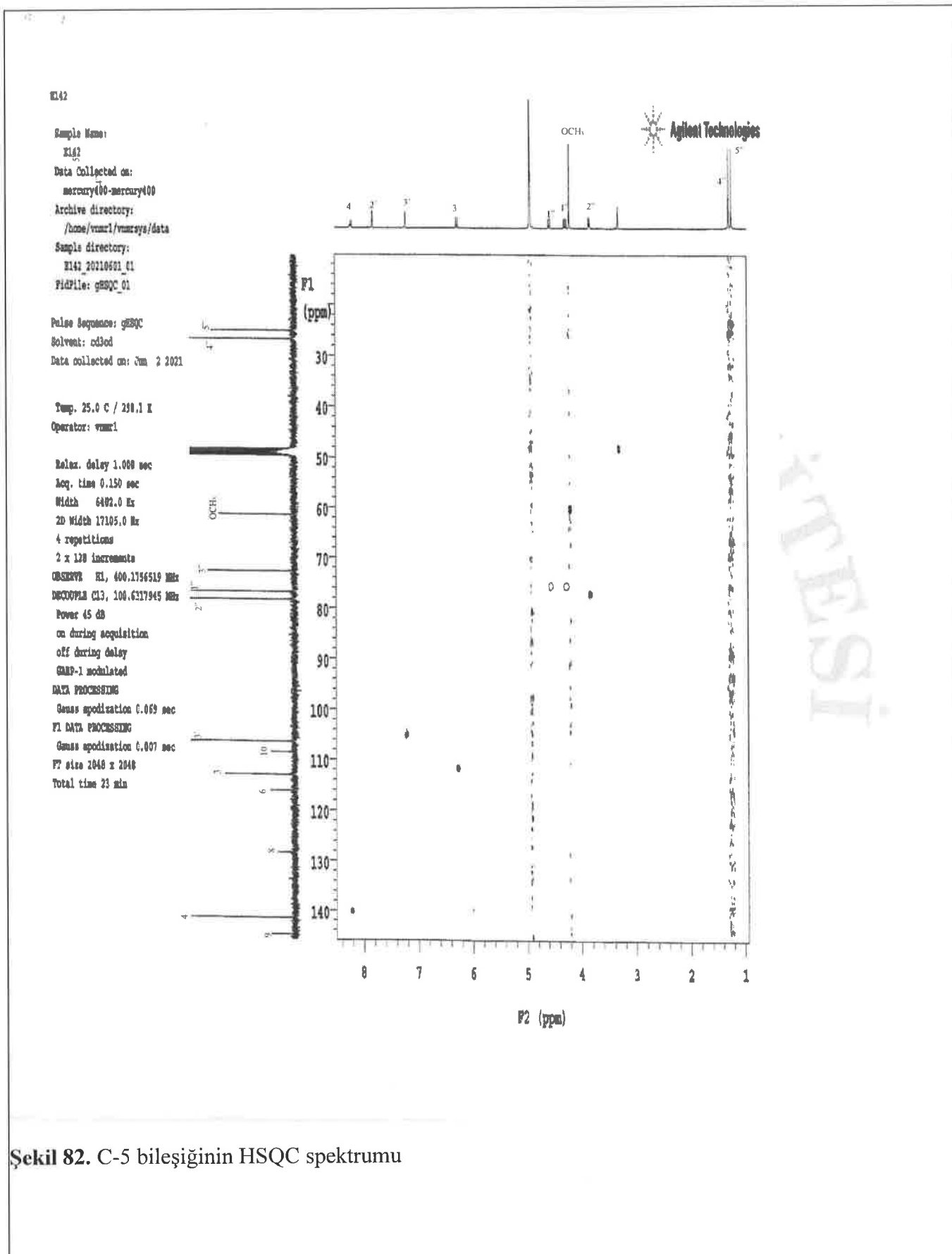


E142  
Sample Name: E142  
Data Collected on: mercury400\_mercury400  
Archive directory: /home/vmceli/vnmrsys/data  
Sample directory: /home/vmceli/vnmrsys/data  
E142\_201000\_01  
Fidfile: CARBON\_01  
  
Pulse Sequence: CARBON (\*2pul)  
Solvent: chloroform  
Data collected on: Jun 1 2021  
Temp: 25.0 °C / 298.1 K  
Operator: vnmrs1  
  
Relax. delay 1.000 msec  
Pulse 45.0 degrees  
Acq. time 1.550 sec  
Width 21101.5 Hz  
3000 repetitions  
OBSERVE CH3, 100.6241014 MHz  
DISCOUPLE F1, 400.1776314 MHz  
Power 38 dB  
continuously on  
WALTZ-16 modulated  
DATA PROCESSING  
LINE BROADENING 0.5 Hz  
FT SIZE 65536  
total time 2 hr, 12 min



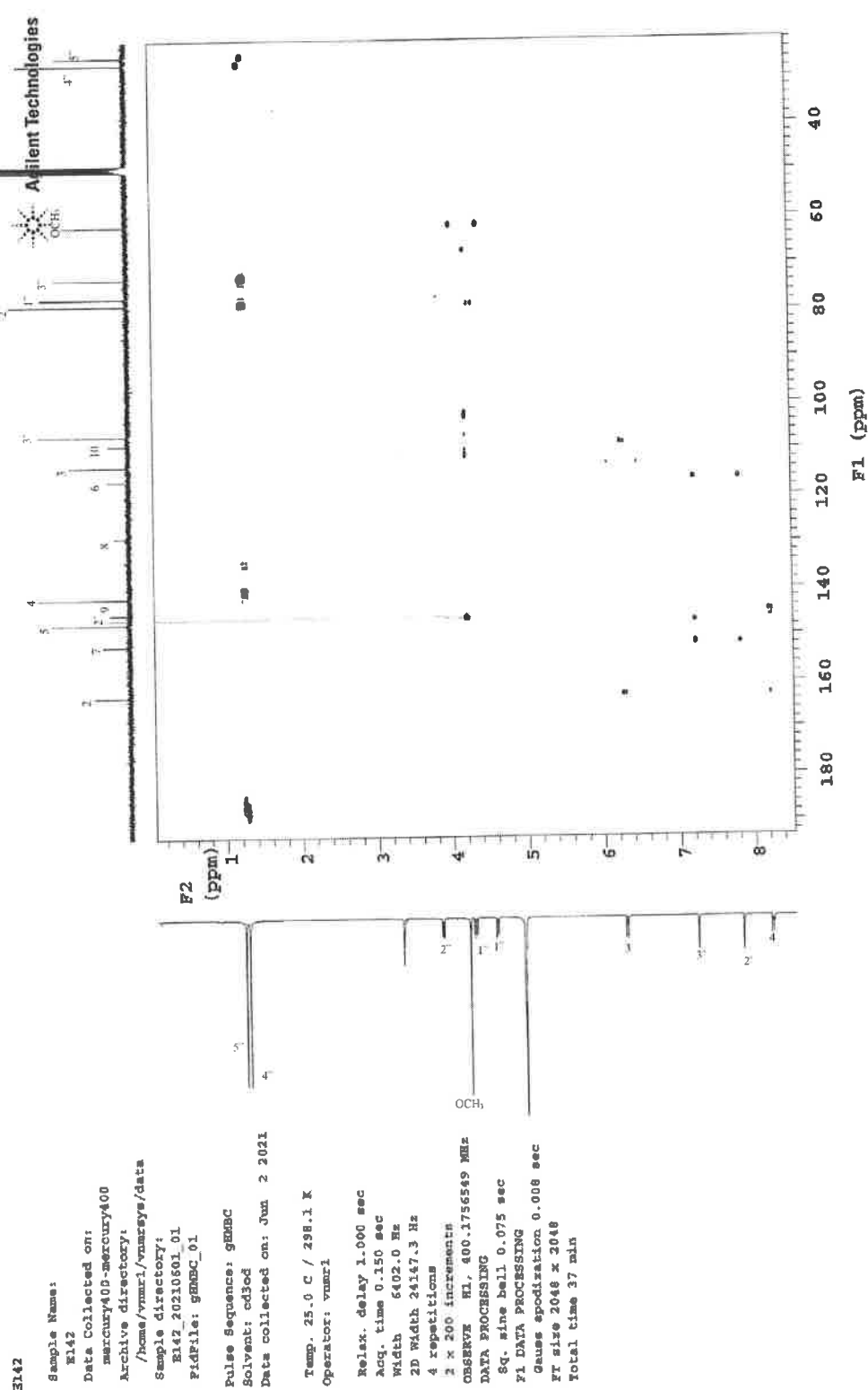
Sekil 81. C-5 bileşigine ait <sup>13</sup>C NMR spektrumu

## EK-11 Sonuç Raporu Formatı



Şekil 82. C-5 bileşığının HSQC spektrumu

## EK-11 Sonuç Raporu Formatı



Sekil 83. C-5 bileşığının HMBC spektrumu

## EK-11 Sonuç Raporu Formatı

E142

Sample Name:  
E142  
Data Collected on:  
mercury400-mercury400  
Archive directory:  
/home/vmml/vmnrays/data  
Sample directory:  
E142\_20210601\_01  
Fidfile: gCOSY\_01

Pulse Sequence: gCOSY  
Solvent: cd3od  
Data collected on: Jun 1 2021

Temp. 25.0 C / 298.1 K  
Operator: vmml

Relax. delay 1.000 sec

Acq. time 0.150 sec

Width 4105.1 Hz

2D Width 4105.1 Hz

4 repetitions

128 increments

088K9V8 RL, 400.1756513 MHz

DATA PROCESSING

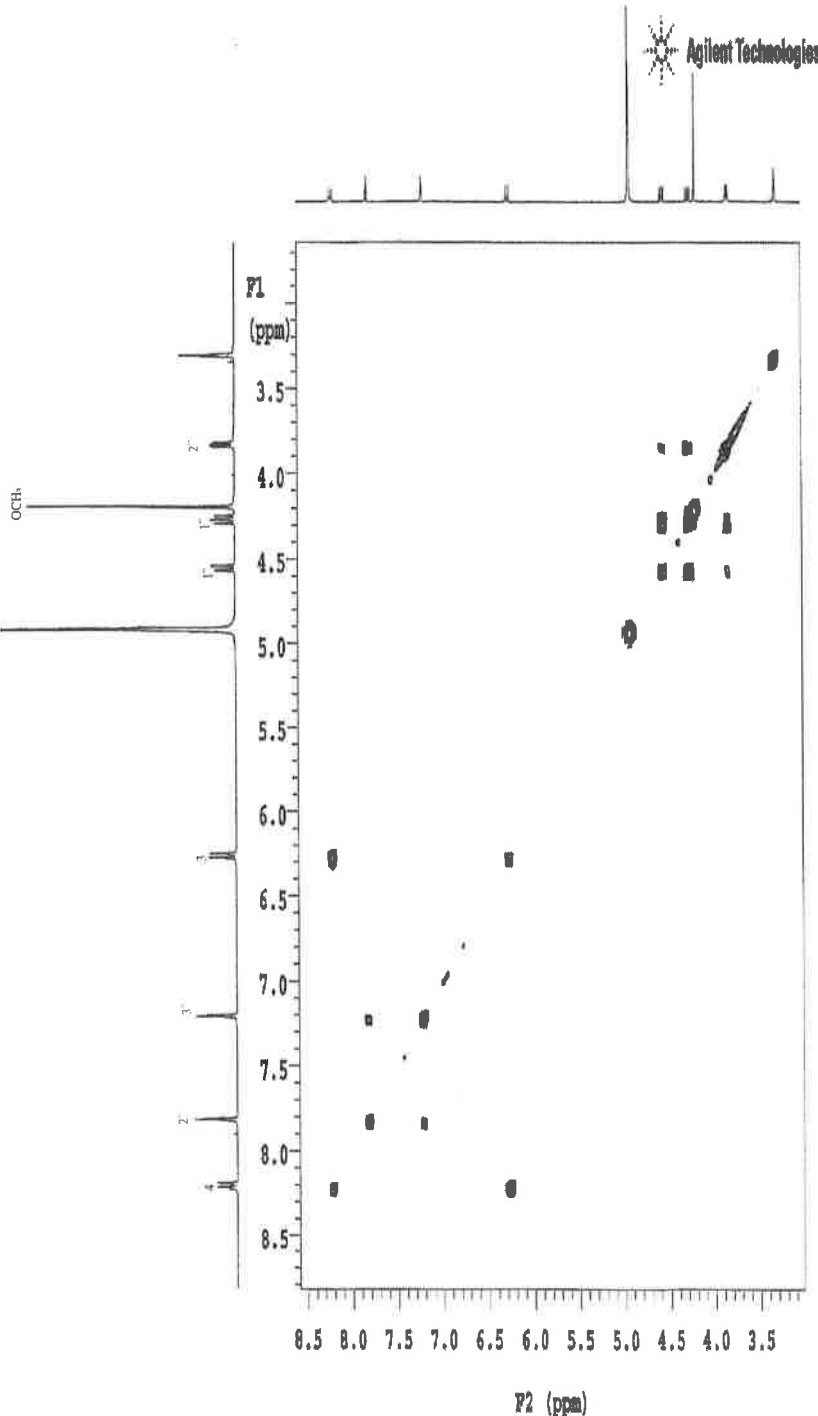
gq, nine bell 0.075 sec

F1 DATA PROCESSING

gq, nine bell 0.031 sec

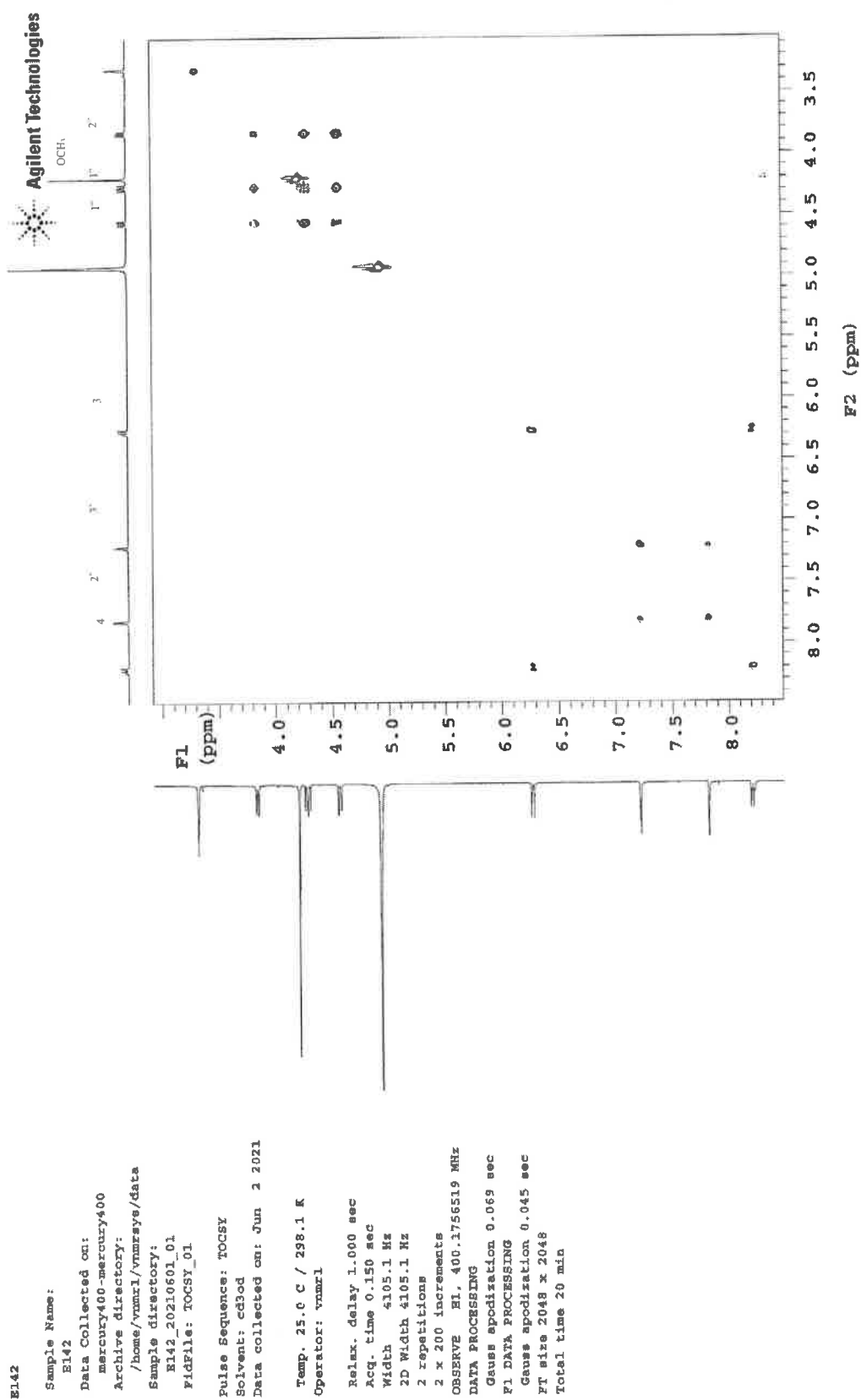
FT size 2048 x 2048

Total time 11 min



Şekil 84. C-5 bileşiginin COSY spektrumu

## EK-11 Sonuç Raporu Formatı



Sekil 85. C-5 bileşiginin TOCSY spektrumu

**Çizelge 15.** C-5 bileşığının  $^1\text{H}$  ve  $^{13}\text{C}$  NMR bulguları

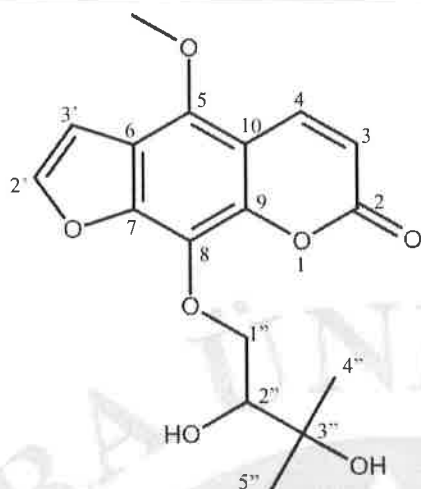
Kimyasal kayma	Proton	C	$\delta$ (ppm)
-	-	-	-
6,25 (1H, d, $J= 9,8$ )	H-3	C-2	162,715
8,2 (1H, d, $J= 10$ )	H-4	C-3	113,093
-	-	C-4	141,498
-	-	C-5	146,089
-	-	C-6	116,190
-	-	C-7	151,686
-	-	C-8	128,334
-	-	C-9	144,883
-	-	C-10	108,560
-	-	-	-
7,81 (1H, d, $J= 2,4$ )	H-2'	C-2'	146,993
7,20 (1H, d, $J= 2,4$ )	H-3'	C-3'	106,470
4,55 (1H, dd, $J= 2,4; 10,8$ ); 4,26 (1H, dd, $J= 8; 10,4$ )	H-1"	C-1"	75,602
3,87 (1H, dd, $J= 2,8; 8$ )	H-2"	C-2"	76,840
-	H-3"	C-3"	72,782
1,26 (3H, s)	H-4"	C-4"	26,738
1,21 (3H, s)	H-5"	C-5"	25,096
4,19 (3H, s)	5-OCH <sub>3</sub>	5-OCH <sub>3</sub>	61,426

$^1\text{H}$  ve  $^{13}\text{C}$  NMR bulgularının C-3 bileşığının aglikonuyla çok benzer sinyaller gösterdiği tespit edilmiştir. Kumarinin halkasının 3 ve 4. konumdaki karakteristik proton sinyalleri sırasıyla  $\delta$ 6,25 (1H, d,  $J= 9,8$ ) ve  $\delta$ 8,2 (1H, d,  $J= 10$ ) olarak izlenmiştir.  $\delta$ 162,71 ppm'deki karbonile ait sinyal de kumarin yapısını işaret etmiştir.  $\delta$ 7,81 (1H, d,  $J= 2,4$ ) ve  $\delta$ 7,20 (1H, d,  $J= 2,4$ ) protonları kumarin halkasına düzlemsel olarak kondanse olmuş furan halkasını göstermiştir. Aromatik olmayan  $\delta$  4,55 (1H, dd,  $J= 2,4; 10,8$ );  $\delta$  ,26 (1H, dd,  $J= 8; 10,4$ ) protonları kumarine oksijen ile bağlı  $-\text{CH}_2$  grubunu,  $\delta$ 3,87 protonu ise dubletin dubleti olarak izlenen sinyaliyle  $\text{CH}_2$  gurubuna komşu protonu göstermiştir.  $\delta$ 72,782 karbonu ve  $\delta$ 1,26 (3H, s),  $\delta$ 1,21 (3H, s) metil protonları izopropil yapısını işaret etmiş, HMBC bulguları ise  $\delta$ 3,87 protonunun bağlı olduğu  $\delta$ 76,840 karbonundan bağlandığını göstermiştir.  $\delta$ 4,19 (3H, s) ve 61,426 ppm'deki sinyallerle izlenen metoksi grubunun HMBC etkileşmeleri ise kumarin halkasına 5. konumdan bağlandığını göstermiştir. Bu verilere göre C-5 bileşiği "byakangelisin" olarak tayin edilmiştir ve Dinçel ve ark. (2013) tarafından *H platytenium*'dan izole edilen byakangelisin verileriyle karşılaştırılarak doğrulanmıştır (Şekil 86).

### Antienflamatuvlar Etki Çalışmalarına Ait Bulgular

#### Karagenin Nedenli Arka Pençe Ödemi Çalışmalarına Ait Bulgular

*Heracleum* türlerinin kök ve toprak üstü kısımlarından hazırlanan diklorometan ve metanollu ekstrelerin karagenin nedenli arka pençe ödemindeki etkileri Çizelge 16'da verilmiştir. Ekstrelerin karagenin nedenli arka pençe ödemi üzerindeki etkilerine bakıldığından standart olarak kullanılan indometazine en yakın inhibisyonu gösteren ekstrelerin *H. sphondylium* subsp. *cyclocarpum* köklerinin diklorometan ve metanollu ekstreleri olduğu görülmüştür. Diklorometanlı ekstre ödemi 180, 270 ve 360. dakikalarda sonunda sırasıyla %40,5; %43,4 ve %43,2 oranında inhibe etmiştir. Metanollu ekstre ise 270 ve 360 dakika sonunda %32,6 ve %36,9 oranında kontrol grubuna göre anlamlı etki göstermiştir. Her iki ekstre de 90 dakika boyunca inhibisyon göstermemiştir. *H. sphondylium* subsp. *ternatum* kökleri ise 360 dakika sonunda kayda değer aktivite göstermiştir. Diklorometanlı ekstrenin inhibisyon yüzdesi %23,4 olarak ölçülürken, metanollu ekstrenin ise %25,4 olarak hesaplanmıştır. Test edilen diğer ekstrelerin karagenin nedenli arka pençe ödemi üzerinde antienflamatuvlar etkileri gözlenmemiştir. Standart olarak kullanılan indometazinin aktivitesi ise 180. ve 360. dakikalar arasında % 25,6-44,3 olarak bulunmuştur.



Molekül Adı	Byakangelisin
Molekül Ağırlığı	334
Molekül Formülü	C <sub>17</sub> H <sub>18</sub> O <sub>7</sub>
Özellikleri	Sarı, yağimsı

**Şekil 86.** C-5 bileşığının yapı tayini bulguları

*H. sphondylium* subsp. *cyclocarpum* köklerinin diklorometan ve metanollu ekstrelerinin kolon fraksiyonlarını karagenin nedenli arka pençe ödemindeki etkileri Çizelge 17'de gösterilmiştir. Diklorometanlı ekstrenin 127-140 fraksiyonu ile metanollu ekstrenin 1-10 fraksiyonu en yüksek antienflamatuvar etkiyi göstermiştir. Fr(1-10) 270 ve 360. dakikaların sonunda ödem %27,6 ve %31,9 oranında inhibe etmiştir. Fr(127-140) ise %26,1 ve %29,2 oranında inhibisyon göstermiştir. Metanollu ekstrenin 11-24 fraksiyonu 360 dakikanın sonunda ödem %28 inhibe etmiştir. İndometazinin etkisi %12,8-44,3 arasında ölçülmüştür. Diğer fraksiyonlarda ise kontrol grubuna göre anlamlı aktivite gözlenmemiştir. *H. sphondylium* subsp. *cyclocarpum* köklerinin diklorometan ve metanollu ekstrelerinden izole edilen C-1, C-2, C-3, C-4, C-5 bileşiklerinin karagenin nedenli arka pençe ödemini üzerindeki antienflamatuvar etkileri Çizelge 18'de verilmiştir.

Izole edilen bileşiklerin karagenin nedenli enfiamasyon üzerindeki etkileri incelendiğinde heraklenol-3"-O- $\beta$ -glikozitin en yüksek etkiyi gösterdiği tespit edilmiştir. Karagenin nedenli pençe ödemini 270 dakikada %34,9 oranında inhibe etmiştir. Bunu %29,6 inhibisyonla byakangelisin-3"-O- $\beta$ -glikozit izlemiştir. Her iki bileşik de 270. dakikada indometazinden yüksek aktivite göstermiştir. Izole edilen diğer maddeler ise karagenin nedenli pençe ödeminde kontrol grubuna göre anlamlı aktivite sergilememiştir.

## EK-11 Sonuç Raporu Forması

**Çizelge 16.** *Heracleum* ekstrelerinin farelerde karagenin nedenli arka pençe ödemi üzerine etkileri

Numune	Doz (mg/kg)	Şişme kalınlığı ( $\times 10^{-2}\text{mm}$ ) ± OSH (% inhibisyon)			
		90 dk	180 dk	270 dk	360 dk
Kontrol		46,2 ± 5,4	53,5 ± 5,9	60,1 ± 5,7	66,8 ± 6,4
<i>H. paphlagonicum</i>	100 DCM	49,8 ± 4,7	59,4 ± 5,2	64,3 ± 5,9	67,2 ± 5,1
	100 MEOH	47,5 ± 5,3 (11,9)	47,1 ± 5,4 (11,3)	53,3 ± 5,0 (11,3)	56,4 ± 4,8 (15,6)
<i>H. sphondylium</i> subsp. <i>ternatum</i>	100 DCM	48,9 ± 5,4 (8,8)	48,8 ± 5,1 (8,8)	52,1 ± 5,2 (13,3)	59,5 ± 4,9 (10,9)
	100 MEOH	51,4 ± 5,5 (13,6)	46,2 ± 5,3 (13,6)	51,5 ± 5,4 (14,3)	58,8 ± 4,8 (11,9)
<i>H. sphondylium</i> subsp. <i>montanum</i>	100 DCM	42,1 ± 3,7 (8,8)	44,2 ± 3,9 (17,4)	48,1 ± 4,2 (19,9)	51,2 ± 3,9 (23,4)*
	100 MeOH	48,5 ± 3,6 (14,9)	45,5 ± 3,9 (14,9)	47,6 ± 3,7 (20,8)	49,8 ± 3,5 (25,4)*
<i>H. sphondylium</i> subsp. <i>cyclocarpum</i>	100 DCM	55,7 ± 4,2 (13,5)	46,3 ± 4,6 (13,5)	52,3 ± 5,0 (12,9)	68,6 ± 4,9
	100 MeOH	48,0 ± 2,8	54,3 ± 3,2	61,4 ± 3,1	69,4 ± 3,5
<i>H. sphondylium</i>	100 DCM	55,9 ± 3,1	55,6 ± 3,6	63,5 ± 3,8	70,3 ± 3,5
	100 MeOH	54,6 ± 5,0	59,1 ± 5,5	55,2 ± 5,1 (8,2)	57,0 ± 4,4 (14,7)
<i>H. sphondylium</i>	100 DCM	50,2 ± 3,5	54,2 ± 3,8	65,3 ± 4,0	70,3 ± 3,7
	100 MeOH	46,9 ± 3,1	57,8 ± 5,2	56,0 ± 5,3 (6,8)	60,1 ± 3,9 (10,0)
<i>H. sphondylium</i>	100 DCM	52,1 ± 3,2 (24,3)*	40,5 ± 4,2 (24,3)*	43,4 ± 4,6 (27,8)*	44,2 ± 4,3 (33,8)**
	100 MeOH	51,6 ± 5,1 (22,8)	41,3 ± 4,1 (22,8)	40,5 ± 3,9 (32,6)**	42,1 ± 4,2 (36,9)**
<i>H. sphondylium</i>	100 DCM	53,5 ± 3,4	55,9 ± 3,1	64,6 ± 3,6	71,4 ± 3,9
	100 MeOH	50,4 ± 3,9	55,2 ± 3,4	60,2 ± 3,9	68,5 ± 4,2
	indometazin 10	40,3 ± 4,0 (12,8)	39,8 ± 3,7 (25,6)*	38,4 ± 3,5 (36,1)**	37,2 ± 3,4 (44,3)***

OSH: Ortalama standart hata

## EK-11 Sonuç Raporu Forması

**Çizelge 17.** *Heracleum sphondylium* subsp. *cyclocarpum* kök ekstrelerinden elde edilen fraksiyonların farelerde karagenin nedenli arka pençe ödemi üzerine etkileri

Numune	Doz (mg/kg)	Şişme kalınlığı ( $\times 10^{-2}$ mm) ± OSH (%inhibisyon)			
		90 dk	180 dk	270 dk	360 dk
Kontrol		41,2 ± 4,7	46,9 ± 4,2	53,6 ± 5,1	59,9 ± 4,8
<i>H. sphondylium</i> subsp. <i>cyclocarpum</i> diklorometanlı kök ekstresi	Fraksiyon (1-13)	100	53,4 ± 3,9	59,7 ± 3,8	65,8 ± 4,2
	Fraksiyon (14-22)	100	44,7 ± 3,8	47,5 ± 3,5	50,4 ± 3,9 (5,9)
	Fraksiyon (23-52)	100	54,1 ± 5,6	57,6 ± 4,4	59,2 ± 4,6
	Fraksiyon (53-91)	100	52,3 ± 3,2	53,8 ± 3,7	55,6 ± 4,1
	Fraksiyon (92-107)	100	53,6 ± 4,1	55,5 ± 4,5	59,1 ± 4,0
	Fraksiyon (108-123)	100	41,5 ± 3,2	42,4 ± 3,5 (9,6)	44,1 ± 3,9 (17,7)
	Fraksiyon (124-126)	100	43,5 ± 3,4	46,2 ± 3,8 (1,4)	47,9 ± 3,1 (10,6)
	Fraksiyon (127-140)	100	42,9 ± 3,5	43,1 ± 3,9 (8,1)	39,6 ± 3,7 (26,1)*
<i>H. sphondylium</i> subsp. <i>cyclocarpum</i> metanollu kök ekstresi	Fraksiyon (1-10)	100	42,8 ± 3,8	45,5 ± 3,5 (2,9)	38,8 ± 3,2 (27,6)*
	Fraksiyon (11-24)	100	41,7 ± 3,1	46,3 ± 3,7 (1,2)	40,6 ± 4,1 (24,3)
	Fraksiyon (25-54)	100	43,5 ± 4,9	45,0 ± 4,5 (4,1)	47,3 ± 4,2 (11,8)
	Fraksiyon (55-61)	100	42,3 ± 4,1	44,7 ± 4,5 (4,7)	45,2 ± 4,3 (15,7)
indometazin		10	31,1 ± 3,2 (24,5)*	33,8 ± 3,4 (27,9)**	37,2 ± 3,1 (30,6)**
					34,4 ± 3,6 (42,6)***

OSH: Ortalama standart hata

## EK-11 Sonuç Raporu Forması

**Çizelge 18.** *Heracleum sphondylium* subsp. *cyclocarpum* köklerinden izole edilen maddelerin farelerde karagenin nedenli arka pençe ödemi üzerine etkileri

Numune	Doz (mg/kg)	Şişme kalınlığı ( $\times 10^{-2}$ mm) ± OSH (%inhibisyon)			
		90 dk	180 dk	270 dk	360 dk
Kontrol		35,2 ± 4,6	41,0 ± 4,9	48,6 ± 5,1	51,0 ± 4,2
Heraklenol-3"-O- $\beta$ -glikozit	100	31,3 ± 3,2 (11,1)	34,4 ± 2,5 (16,1)	<b>31,6 ± 2,4</b> <b>(34,9)**</b>	<b>33,8 ± 2,9</b> <b>(33,7)**</b>
Meranzin hidrat III	100	29,4 ± 3,5 (16,4)	32,7 ± 3,0 (20,2)	36,1 ± 3,7 (25,7)	39,4 ± 3,8 (22,7)
Byakangelisin-3"-O- $\beta$ -glikozit	100	37,1 ± 2,9	40,3 ± 3,1	<b>34,2 ± 3,8</b> <b>(29,6)**</b>	<b>37,1 ± 3,2</b> <b>(27,3)*</b>
Heraklenol	100	30,6 ± 5,7 (13,1)	36,3 ± 3,7 (11,5)	38,0 ± 3,2 (21,8)	40,3 ± 3,4 (20,9)
Byakangelisin	100	36,0 ± 4,1	39,6 ± 4,3 (3,4)	40,3 ± 3,9 (17,1)	42,5 ± 3,1 (16,7)
indometazin	10	24,2 ± 3,3 (31,3)**	30,1 ± 3,1 (26,6)*	35,8 ± 3,2 (26,3)*	31,6 ± 3,0 (38,0)**

OSH: Ortalama standart hata

### Prostaglandin E2 Nedenli Arka Pençe Ödemi Çalışmalarına Ait Bulgular

PGE2 ile oluşturulan ödem üzerindeki en yüksek etki *H. spondylium* subsp. *cyclocarpum* köklerinde gözlenmiştir. Diklorometanlı kök ekstresi PGE2 ile indüklenen ödem 30-60 dakikaları arasında inhibe etmiştir. En yüksek aktiviteyi 45. dakika sonunda göstermiştir (%33,5). 75.dakika sonunda ise kayda değer inhibisyon yapmamıştır. Metanollu ekstre 30-75 dakikaları arasında %26,2-%35,7 oranında aktivite sergilemiştir. İndometazinin anlamlı inhibitör etkisi 30. dakikada başlamış 60. dakika sonunda ise en yüksek etkiyi göstermiştir (%41,3). Eksitrelerin PGE2 nedenli enflamasyondaki inhibisyonları Çizelge 19'da verilmiştir. *H. sphondylium* subsp. *cyclocarpum* köklerinin diklorometanlı ekstresinin 127-140 numaralı fraksiyonu ile metanollu ekstresinin 1-10 numaralı fraksiyonu PGE2 nedenli ödemde en yüksek etkiyi sergilemiştir. Fr(127-140) 60 ve 75. dakikalarda sırasıyla %37,3 ve %26,9 inhibisyon yapmıştır. Fr(1-10) ise 45, 60 ve 75. dakikalarda %31,2, %39,2 ve %34,3 oranında etki göstermiştir. Metanollu ekstrenin 11-24 numaralı fraksiyonu yalnızca 60 dakika sonunda anlamlı inhibisyon yapmıştır (%27,5). Test edilen diğer fraksiyonların aktiviteleri kontrol grubu ile kıyaslandığında kayda değer bulunmamıştır (Çizelge 20).

*H. sphondylium* subsp. *cyclocarpum* köklerinin diklorometan ve metanollu ekstrelerinden izole edilen bileşiklerin PGE2 nedenli enflamasyondaki etkileri Çizelge 21'de verilmiştir. Heraklenol-3"-O- $\beta$ -glikozit %25,3-38,6 aralığında inhibisyon yaparak en yüksek aktiviteyi göstermiştir. Bunu byakangelisin-3"-O- $\beta$ -glikozit izlemiştir. 30. dakikada %26,9 45. dakikada ise %27,4 inhibisyon yapmıştır. Bu iki bileşenin aktivitesi kontrol grubuna göre anlamlı bulunmuş, izole edilen diğer maddeler ise anlamlı aktivite göstermemiştir.

## EK-11 Sonuç Raporu Formatı

### Cizelge 19. *Heracleum* ekstrelerinin farelerde PGE2 nedenli arka pençe ödemi üzerine etkileri

Numune	Doz (mg/kg)	Şişme kalınlığı (x 10 <sup>-2</sup> mm)± OSH (% inhibisyon)					
		0 dk	15 dk	30 dk	45 dk	60 dk	75 dk
<i>H. sphondylium</i> subsp. <i>ternatum</i>	Kontrol	3,7±1,2	16,3±1,5	23,7±1,4	15,8±1,2	12,6±1,3	9,2±1,1
	K DCM	100	3,9±1,1	16,4±1,2	20,9±1,5 (11,8)	13,9±1,4 (12,0)	10,9±1,6 (13,5)
	K MEOH	100	3,7±1,2	16,6±1,4	19,8±1,3 (16,5)	12,7±1,6 (19,6)	9,7±1,4 (23,0)
	T DCM	100	4,0±1,4	16,5±1,6	25,1±1,4	14,4±1,9 (8,9)	10,7±1,8 (15,1)
	T MEOH	100	3,9±1,0	16,1±1,1 (1,2)	21,3±1,9 (10,1)	14,3±1,7 (9,5)	19,8±1,3
	K DCM	100	3,7±1,0	16,3±1,3	18,8±1,4 (20,7)	10,4±1,0 (34,2)*	9,5±0,6 (24,6)*
<i>H. sphondylium</i> subsp. <i>montanum</i>	K MeOH	100	3,9±1,1	16,5±1,0	18,1±1,2 (23,7)	10,7±0,7 (32,3)*	8,9±0,9 (29,4)*
	T DCM	100	4,1±1,3	16,4±1,9	24,7±1,6	13,8±1,9 (12,7)	9,7±1,3 (23,0)
	T MeOH	100	4,1±1,2	16,6±1,2	25,6±1,7	17,7±1,6	17,9±1,5
	K DCM	100	4,2±1,6	15,1±1,6 (7,4)	21,8±1,6 (8,0)	18,8±1,3	19,6±1,8
	K MeOH	100	3,8±1,1	15,7±0,7 (3,7)	19,7±0,6 (16,9)	13,2±0,7 (16,5)	10,8±0,8 (14,3)
	T DCM	100	4,2±1,3	16,9±1,9	24,6±1,5	17,2±1,3	16,5±1,8
<i>H. sphondylium</i> subsp. <i>cyclocarpum</i>	T MeOH	100	4,4±1,1	16,5±1,4	25,9±1,8	17,5±1,6	16,7±1,4
	K DCM	100	3,5±1,0	14,8±1,1 (5,4)	16,4±0,8 (9,2)	10,5±0,9 (30,8)*	8,7±0,9 (33,5)*
	K MeOH	100	4,0±0,9	13,6±1,1 (16,6)	17,5±0,8 (26,2)*	11,2±1,0 (29,1)*	8,1±0,8 (35,7)**
	T DCM	100	4,0±1,1	16,4±1,9	26,5±1,4	18,6±1,9	18,5±1,7
	T MeOH	100	4,1±1,1	16,5±1,3	26,3±1,7	18,2±1,4	18,9±1,9
	indometazin	10	36±0,5 (2,7)	13,9±1,1 (14,7)	15,2±1,0 (35,9)**	9,9±0,9 (37,3)**	7,4±0,7 (41,3)***

O

SH: Ortalama standart hata; K: Kök, T: Toprak üstü, DCM: Diklorometan, MeOH: Metanol

### Cizelge 20. *Heracleum sphondylium* subsp. *cyclocarpum* kök ekstrelerinden elde edilen fraksiyonların farelerde PGE2 nedenli arka pençe ödemi üzerine etkileri

Numune	Doz (mg/kg)	Şişme kalınlığı (x 10 <sup>-2</sup> mm)± OSH (% inhibisyon)					
		0 dk	15 dk	30 dk	45 dk	60 dk	75 dk
<i>H. sphondylium</i> subsp. <i>cyclocarpum</i> dikkrometanlı kök ekstratı	Kontrol	3,1±1,4	12,4±1,6	20,1±1,9	18,9±1,7	15,3±1,5	10,8±1,2
	Fraksiyon (1-13)	100	3,2±1,0	13,7±1,2	21,3±1,7	19,2±1,9	17,0±1,7
	Fraksiyon (14-22)	100	3,1±1,2	14,2±1,5	20,7±1,4	21,7±1,1	19,4±1,4
	Fraksiyon (23-32)	100	3,3±1,5	15,6±1,3	20,9±1,2	22,5±1,6	16,6±1,3
	Fraksiyon (33-91)	100	3,4±1,7	14,5±1,5	22,6±1,9	20,4±1,5	18,8±1,2
	Fraksiyon (92-107)	100	3,1±1,1	11,7±1,4 (5,6)	19,4±1,3 (3,5)	17,6±1,7 (6,9)	13,3±1,8 (13,1)
	Fraksiyon (108-123)	100	3,3±1,4	12,9±1,9	20,8±1,5	16,2±1,4 (14,3)	12,5±1,7 (18,3)
	Fraksiyon (124-126)	100	3,1±1,2	12,6±1,1 (2,5)	19,6±1,1 (2,5)	16,9±1,2 (10,6)	13,4±1,2 (12,4)
	Fraksiyon (127-140)	100	3,2±1,6	11,4±1,4 (8,1)	17,1±1,2 (14,9)	14,6±1,4 (22,8)	9,6±1,5 (37,3)*
	Fraksiyon (1-10)	100	3,4±1,9	10,6±1,8 (14,5)	16,9±1,1 (15,9)	13,0±1,1 (31,2)**	9,3±1,2 (39,2)**
<i>H. sphondylium</i> subsp. <i>cyclocarpum</i> metanollu kök ekstratı	Fraksiyon (11-24)	100	3,2±1,8	10,8±1,7 (12,9)	17,8±1,4 (5,6)	15,3±1,1 (19,0)	11,1±1,1 (27,5)*
	Fraksiyon (25-54)	100	3,2±1,5	11,9±1,2 (4,0)	18,5±1,6 (7,9)	15,1±1,3 (20,1)	12,2±1,1 (20,3)
	Fraksiyon (55-61)	100	3,1±1,3	15,7±1,3 (9,5)	18,2±1,2 (6,3)	17,7±1,0 (13,7)	13,2±1,4 (13,7)
	Indometazin	10	3,1±1,1	10,1±1,5 (18,5)	15,3±1,7 (23,9)*	12,8±1,2 (32,3)**	8,4±1,1 (45,1)***
							6,8±0,9 (37,0)***

OSH: Ortalama standart hata; K: Kök, T: Toprak üstü, DCM: Diklorometan, MeOH: Metanol

## EK-11 Sonuç Raporu Formatı

**Çizelge 21.** *Heracleum sphondylium* subsp. *cyclocarpum* köklerinden izole edilen maddelerin farelerde PGE2 nedenli arka pençe ödemi üzerine etkileri

Numune	Doz (mg/kg)	Şişme kalınlığı ( $\times 10^{-2}$ mm)± OSH (% inhibisyon)					
		0 dk	15 dk	30 dk	45 dk	60 dk	75 dk
Kontrol		3,5±0,9	11,2±1,8	19,3±1,2	21,5±1,1	14,6±1,0	8,2±0,8
Heraklenol-3'-O- $\beta$ -glikozit	100	4,1±1,4	12,6±1,3	13,9±1,3 (27,9)*	13,2±0,8 (38,6)**	10,9±0,5 (25,3)*	8,5±0,5
Meranzin hidrat III	100	4,0±1,2	15,5±1,4	18,3±1,1 (5,2)	18,1±1,0 (15,8)	16,1±1,3	7,1±0,9 (13,4)
Byakangelisin-3'-O- $\beta$ -glikozit	100	3,5±1,0	10,1±1,0	14,1±1,2 (26,9)*	15,6±1,3 (27,4)*	14,1±1,4 (3,4)	7,4±0,6 (9,8)
Heraklenol	100	3,8±1,1	13,1±1,1	15,0±1,4 (22,3)	17,3±1,1 (19,5)	12,3±1,2 (15,8)	9,0±0,7
Byakangelisin	100	3,9±1,0	11,3±1,1	16,8±1,5 (12,9)	19,4±1,5 (9,8)	15,2±1,7	10,8±0,4
İndometazin	10	3,5±0,5	9,4±0,7 (16,1)	11,4±1,0 (40,9)***	11,5±1,2 (46,5)***	10,3±1,1 (29,5)*	5,2±0,3 (36,5)**

OSH: Ortalama standart hata

## Serotonin Nedenli Arka Pençe Ödemi Çalışmalarına Ait Bulgular

Serotonin nedenli arka pençe ödeminde *Heracleum* ekstrelerinin kayda değer aktivitesi görülmemiştir (Çizelge 22). Bu nedenle, bu test fraksiyonlara ve izole edilen maddelere uygulanmamıştır.

**Çizelge 22.** *Heracleum* ekstrelerinin farelerde serotonin nedenli arka pençe ödemi üzerine etkileri

Numune	Doz (mg/kg)	Şişme kalınlığı ( $\times 10^{-2}$ mm)± OSH (% inhibisyon)					
		0 dk	6 dk	12 dk	18 dk	24 dk	30 dk
Kontrol		4,2±0,9	9,8±1,1	15,7±1,4	20,2±1,3	22,9±1,1	25,5±1,3
<i>H. sphondylicum</i>	K DCM	100	4,3±0,5	10,1±0,7	12,9±1,2 (17,8)	18,1±1,1 (10,4)	20,4±1,3 (10,9)
	MEOH	100	4,9±0,9	10,8±1,1	18,8±1,4	25,7±1,6	27,4±1,3
	DCM	100	4,6±0,8	12,3±1,2	15,8±1,1	22,8±1,2	25,8±1,8
	T MEOH	100	4,8±1,1	11,6±1,3	17,1±1,1 (6,4)	18,9±1,5	20,6±1,0 (10,0)
<i>H. sphondylium</i> subsp. <i>ternatum</i>	K DCM	100	4,7±0,7	10,1±1,4	14,2±1,5 (9,6)	18,3±1,2 (9,4)	19,2±1,6 (16,2)
	MeOH	100	4,5±0,7	9,2±1,1 (6,1)	13,4±1,2 (14,6)	16,6±1,4 (17,8)	18,9±1,1 (17,5)
	T DCM	100	4,9±0,8	9,9±1,7	14,9±1,5 (5,1)	19,5±1,4 (3,3)	19,9±1,9 (13,1)
	MeOH	100	5,3±1,4	11,0±1,3	17,7±1,4	22,9±1,5	26,1±1,7
<i>H. sphondylium</i> subsp. <i>montanum</i>	K DCM	100	4,6±0,5	10,8±0,9	16,1±1,3	21,7±1,2	23,2±1,3
	MeOH	100	5,4±1,3	12,1±1,6	18,3±1,2	23,4±1,4	25,2±1,3
	T DCM	100	5,0±1,1	9,5±1,3 (3,1)	13,6±1,2 (13,4)	18,8±1,1 (6,9)	24,2±1,5
	MeOH	100	4,3±0,6	11,5±0,9	16,9±1,2	21,5±1,4	23,1±1,5
<i>H. sphondylium</i> subsp. <i>cyclocarpum</i>	K DCM	100	4,4±0,7	9,9±0,8	13,3±1,1 (15,3)	17,5±1,2 (13,4)	20,0±1,5 (12,7)
	MeOH	100	5,1±1,2	10,6±1,4	14,8±1,3 (5,7)	19,4±1,1 (3,9)	18,8±1,5 (17,9)
	T DCM	100	4,1±0,7	10,9±1,1	17,9±1,6	27,4±1,8	25,2±1,4
	MeOH	100	4,1±0,5	13,2±0,9	16,3±1,3	21,3±1,2	28,9±1,3
İndometazin	10	3,9±0,4 (7,1)	7,2±0,6 (26,5)*	10,9±1,1 (30,6)**	15,4±0,9 (23,8)*	16,2±0,7 (29,3)**	18,8±0,4 (26,2)**

OSH: Ortalama standart hata; K: Kök, T: Toprak üstü, DCM: Diklorometan, MeOH: Metanol

## 5. Sonuç ve Öneriler

İnsanlar çağlar boyunca, çeşitli hastalıkların tedavisinde bitkilerin iyileştirici etkisinden faydalananlardır. Bitkiler insanlık tarihi boyunca gerek gıda gerekse ilaç olarak kullanılarak hastalıkları önlemede ve tedavi etmede başarılı olmuşlardır. Tıbbi bitkilerle ilgili yazılı kayıtlar Sümerlere kadar uzanmakla beraber arkeolojik kayıtlar tıbbi bitki kullanımının daha eskilere dayandığını göstermektedir (Raskin ve ark., 2002). Bitkiler yüzyıllarca etki mekanizmaları ve etkili bileşiklerine dair herhangi bir bilgi olmaksızın yalnızca gözleme dayalı olarak tedavi amacıyla kullanılmıştır. Bilimsel çalışmaların ilerlemesiyle bitkilerin tedavi edici etkilerinin nereden kaynaklandığı konusu araştırılmaya başlanmış ve

tedavi amacıyla kullanılan bitkilerden etkili bileşikler izole edilmiştir. Bitkisel kaynaklı bileşikler 19. yy.'dan beri klinikte yer almaktadır. Günümüze kadar keşfedilen doğal ilaçlar insan sağlığında hayatı rol oynamış, sentetik ilaçlarla zorlu bir rekabete girmiş olmasına rağmen güvenlik ve etkinlik profilleri nedeniyle tercih edilen ilaçlar olmuşlardır (Veeresham, 2012). Bitki esktrelerinin biyolojik aktivitelerinin ve fitokimyasal içeriklerinin taranması çeşitli hastalıkların tedavisinde kullanılabilecek yeni ilaçların keşfi için oldukça önemlidir (Ergene ve ark., 2006).

Son yıllarda daha fazla insanın bitkisel tıbbi ürün kullanımına yönelmesiyle Dünyada da bitkisel ilaçlara olan ilgi yeniden canlanmıştır. Gelişmekte olan ülkelerden insanların %80'i tıbbi bitkilerden elde edilen bileşikleri içeren geleneksel tedavileri kullanmaktadır (Dash ve ark., 2007).

Tez konusu olarak seçilen *Heracleum* cinsi "Hogweed" ya da "tavşancıl otu" olarak bilinmekte Kuzey Yarımküre'de özellikle Avrasya'da yayılış göstermekle birlikte Dünya'da 125 tür, ülkemizde ise 18 tür ve 23 taksonla temsil edilmektedir (Bahadori ve ark., 2016). Çin geleneksel tıbbında ve yetiştiği bazı ülkelerde antienflamatuvlar amaçla kullanımı dikkat çekmektedir. Bunun yanı sıra çok sayıda farklı amaçlarla geleneksel kullanımını bildirilmiştir. *H. sphondylium* kök ve toprak üstü kısımları Avrupa, Asya ve Kuzey Amerika'da yara iyileştirici olarak, ayrıca diyare, dizanteri ve menstrual hastalıklarda kullanılmaktadır. *H. austriacum* subsp. *austriacum* beyaz çiçekleri ise Rönesans döneminde Avrupa'da epilepsiyi tedavi etmek için kullanılmıştır (Usjak ve ark., 2018 ve Uysal ve ark., 2019). *Heracleum* türlerinin baş ağrısı, romatoid artrit, diş ağrısı, ateş, deri hastalıkları, sırt ağrısı gibi enflamasyonla ilişkili olabilecek hastalıkların tedavisinde kullanımları bildirilmiştir. (Amiri ve Joharchi, 2013; Arnold ve ark., 2015; Bae ve ark., 2012; Hosseinzadeh ve ark., 2019; Jaric ve ark., 2015; John ve ark., 2007; Karimi ve Ito, 2012; Kim ve ark., 2019; Rastogi ve ark., 2007 ve Vitalini ve ark., 2015).

*Heracleum* türlerinin fitokimyasal içerikleri incelendiğinde ise zengin kumarin içeriğine sahip oldukları özellikle iyi furanokumarin kaynakları olduğu görülmektedir (Hosseinzadeh ve ark., 2019). *Heracleum* cinsine ait bitkilerin halk arasındaki kullanımlarının yanı sıra zengin kumarin içerikleri ile kumarin bileşiklerinin kanıtlanmış antienflamatuvlar aktiviteleri de tez konusunun çıkış noktası olmuştur.

Bu çalışmada Türkiye'de yetişen dört *Heracleum* taksonunun, *H. paphlagonicum*, *H. sphondylium* subsp. *ternatum*, *H. sphondylium* subsp. *montanum*, *H. sphondylium* subsp. *cyllocarpum*, kök ve toprak üstü kısımlarından hazırlanan diklorometanlı ve metanollu ekstrelerin antienflamatuvlar etkisi değerlendirilmiş, etkiden sorumlu olabilecek bileşiklere ulaşabilmek amacıyla biyolojik aktivite yönlendirmeli fraksiyonlama yapılmıştır. Seçilen türlerden hazırlanan ekstrelerin antienflamatuvlar aktivite tayininde karagenin nedenli arka pençe ödemi, PGE2 nedenli arka pençe ödemi ve serotoninin nedenli arka pençe ödemi testleri kullanılmıştır. *H. sphondylium* subsp. *cyllocarpum* köklerinin diklorometanlı ekstresi karagenin nedenli pençe ödemini %10,2-15,35 metanollu ekstresi ise %3,9-17,9 aralığında inhibe ederek en yüksek aktiviteyi göstermiştir. PGE2 nedenli enfiamasyonda ise her iki ekstrenin inhibisyon kapasitesi %5,4-35,7 aralığında bulunmuştur. Karagenin testinde kontrol grubuna göre anlamlı etkinin 180. dakikadan sonra görülmesi, ekstre ve fraksiyonların serotonin üzerinden değil araşidonik asit yolakları ile etki gösterdiğini düşündürmüştür. Serotonin ile oluşturulan enfiamasyonda etki görülmemesi bu hipotezi doğrulamıştır. Bu nedenle biyolojik aktivite yönlendirmeli fraksiyonlama amacıyla aktivite yönlendirmeli izolasyona karagenin ve PGE2 nedenli pençe ödemi testleriyle devam edilmiştir. En yüksek aktiviteyi gösteren iki ekstre ayrı ayrı kolon kromatografisine uygulanarak fraksiyonlanmıştır. Elde edilen fraksiyonlar kromatografik yöntemlerle değerlendirilerek, benzer içeriğe sahip olanlar birleştirilmiştir. Fraksiyonların aktiviteleri karagenin ve PGE2 nedenli ödem üzerinde test edilerek en aktif fraksiyonlar diklorometanlı ekstrenin 127-140 numaralı fraksiyonu ile metanollu ekstrenin 1-10 numaralı fraksiyonu olarak bulunmuştur. Semi-preparatif YPSK kullanılarak 127-140 numaralı fraksiyondan furanokumarin heterozitleri, heraklenol-3"-O- $\beta$ -glikozit, byakangelisin 3"-O- $\beta$ -glikozit ile 7-metoksi kumarin glikoziti meranzin hidrat III; 1-10 numaralı fraksiyondan ise furanokumarin aglikonları olan heraklenol ve byakangelisin izole edilmiştir. İzole edilen bileşiklerin antienflamatuvlar etkileri test edilmiş, heraklenol ve byakangelisin heterozitlerinde kontrol grubuna göre anlamlı aktivite gözlenmiştir. Heraklenol-3"-O- $\beta$ -glikozit karagenin nedenli arka pençe ödeminde %33,7-34,9; PGE2 nedenli arka pençe ödeminde %25,3-38,6 oranında inhibisyon meydana getirmiştir. Byakangelisin 3"-O- $\beta$ -glikozitin ise inhibisyon yüzdesi karagenin ve PGE2 nedenli enfiamasyon için sırasıyla %27,3-29,6 ve %26,9-27,4 olarak hesaplanmıştır.

Literatür verileri incelendiğinde farklı *Heracleum* türleri üzerinde yapılan antienflamatuvlar aktivite çalışmalarına rastlanmıştır. Liu ve ark., (1998) tarafından yapılan bir çalışmada *H. candicans*, *H. moellendorffii*, *H. rapula*, ve *H. stenopterum* köklerinin COX-1 ve 5-LOX'u kayda değer olarak inhibe ettiği gösterilmiştir. *H. moellendorffii* kökleri *in vitro* olarak NO ve PGE2 üretimini inhibe etmiştir. (Park ve ark., 2017). *H. moellendorffii* yapraklarından izole edilen dehidrogeijerin ise LPS nedenli enflamasyonda NO, iNOS, COX-2 ve proenflamatuv sitokin üretimini azaltmıştır (Bae ve ark., 2012). *H. persicum* meyvelerinin uçucu yağı ile sulu-alkollü ekstresi karagenin nedenli pençe ödeminde anlamlı inhibisyon göstermiştir (Hajhashemi ve ark., 2009). *H. rigens* tohum ve köklerinin metanollu ekstresi ise sıçanlarda karagenin nedenli pençe ödeminin doza bağlı olarak inhibe etmiştir (Jagannath ve ark., 2012).

Çalışmamızda izole edilen bileşiklere bakıldığından, heraklenolün *Heracleum* türlerinde oldukça yaygın olduğu görülmüştür. *H. canascens* (Razdan ve ark., 1982), *H. brunonis* (Khetwal ve Pathak, 1987), *H. rapula* (Niu ve ark., 2002), *H. yunnningense* (Taniguchi ve ark., 2005), *H. candicans* (Nakamori ve ark., 2008), *H. dissectum* (Gao ve ark., 2019) kökleri ile *H. platytaenium* toprak üstü kısımlarından (Erdoğan Orhan ve ark., 2016) izole edilmiştir. Heraklenol-3"-O- $\beta$ -glikozit ise *H. dissectum* (Zhang ve ark., 2020) ile *H. rapula* köklerinde (Niu ve ark., 2002) bulunmuştur. Byakangelisin, *H. platytaenium* ile *H. dissectum* türlerinin toprak üstü kısımlarından (Erdoğan Orhan ve ark., 2016; Zhang ve ark., 2017b) ve *H. nepalense* köklerinden (Bose ve ark., 2007) izole edilmiştir. Byakangelisin 3"-O- $\beta$ -glikozit ve meranzın hidrat III ise önceki çalışmalarda *Heracleum* türlerinde tespit edilmemiştir.

Heraklenol-3"-O- $\beta$ -glikozit, byakangelisin 3"-O- $\beta$ -glikozit, meranzın hidrat III ile heraklenol ve byakangelisin bileşiklerine Apiaceae ve Rutaceae familyalarında sıkılıkla rastlandığı yapılan çalışmalarda gösterilmiştir. Heraklenol aglikonunun *Ruta montana* L. (Rutaceae) toprak üstü kısımlarından (Kabouche ve ark., 2003); *Phebalium aff. tuberculosum* (Rutaceae) yapraklarından (Roux ve ark., 2006), *Citrus junos* Tanaka (Apiaceae) tohumlarından (Song ve ark., 2019), *Clausena lansium* (Lour.) Skeels (Rutaceae) (Maneerat ve ark., 2010) ve *Rhadinothamnus rufus* subsp. *amblycarpus* (Rutaceae) dallarından (Girard ve ark., 2005), *Selinum cryptotaenium* Boiss. (Apiaceae) köklerinden (Rao ve ark., 2006), *Angelica lucida* L. (Apiaceae) (Widelski ve ark., 2009) ve *Pastinaca sativa* L. s.l. (Apiaceae) meyvelerinden (Kviesis ve ark., 2019) izole edildiği bildirilmiştir. *Prangos pabularia* Lindley (Apiaceae) kök, çiçek ve tohumlarından ise heraklenol ve heraklenol-3"-O- $\beta$ -glikozit izole edilmiştir (Sharma ve ark., 2013). Heraklenol-3"-O- $\beta$ -glikozit ayrıca *Angelica dahurica* ve *Angelica archangelica* subsp. *litoralis* köklerinden izole edilmiştir (Kwon ve Kim, 1992 ve Thastrup ve Lemmich, 1983).

Byakangelisin *Angelica dahuricae* Bentham et Hooker (Apiaceae) köklerinden (Piao ve ark., 2004), *Pastinaca sativa* meyvelerinden (Kviesis ve ark., 2019) ve *Murraya koenigii* (L) Spreng (Rutaceae) tohumlarından (Adebajo ve Reisch, 2000) izole edilmiştir. Byakangelisin 3"-O- $\beta$ -glikozit ise *Angelica dahurica* ve *Angelica archangelica* subsp. *litoralis* köklerinden (Kim ve ark., 1992 ve Thastrup ve Lemmich, 1983) izole edilmiştir ve izolasyonuna dair başka bir çalışma bulunmamıştır.

Meranzın hidrat III'ün aglikonu olan meranzın hidrat doğal olarak ilk defa *Magydaris tomentosa* çiçeklerinden izole edilene kadar meranzının sentetik izomeri olarak tanılmıştır (Li ve ark., 2019). Meranzın hidrat; Apiaceae familyasında *Angelica biserrata*'nın (R.H. Shan & C.Q. Yuan) C.Q. Yuan & R.H. Shan kök ve rizomlarından (Ma ve ark., 2019), *Phellophodium madagascariense* Baker yapraklarından (Riviere ve ark., 2006), *Prangos ferulace* (L.) Lindl, *Prangos hulusii* S. G. Senol, H. Yıldırım & Ö. Seçmen ve *Ferulago subvelutina* Rech. F. köklerinden (Abyshev ve ark., 1974; Naseri ve ark., 2013 ve Tan ve ark., 2017); *Cnidium monnieri* Cusson meyvelerinden (Shin ve ark., 2011); *Seseli tortuosum* L.B.S. Eur. toprak üstü kısımlarından (Ceccherelli ve ark., 1989); Rutaceae familyasında ise *Citrus aurantium* var. *amara* L. meyvelerinin kurutulmuş kabuklarından izole edilmiştir (Sarker ve ark., 2008). Apiaceae ve Rutaceae familyaları dışında *Ficus hirta* Vahl köklerinden izole edildiği bildirilmiştir (Zheng ve ark., 2013). Meranzın hidrat glukoziti olan meranzın hidrat III bileşiği ise günümüze kadar yapılan çalışmalarda yalnızca *Citrus grandis* (L.) Osbeck meyvelerinde ve *C. aurantium* var. *amara* flavedosunda bulunmuştur (McHale ve ark., 1987 ve Tian ve ark., 2019).

Fitokimyasal çalışmaların yanı sıra izole edilen bileşiklerin çeşitli aktiviteleri görülmüştür. Heraklenol-3"-O- $\beta$ -glikozit HePG2 8 (karaciğer) hücre serilerinde zayıf (Zhang ve ark., 2020), NCI-H322 (akciğer)

hücre dizilerinde ise standarttan yüksek aktivite sergilerken aglikonu olan heraklenol ise A431 (epidermoid) için anlamlı sitotoksitite ortaya çıkarmıştır (Farooq ve ark., 2014).

Kumarinlerin sitokinler üzerindeki etkilerinin incelendiği bir çalışmada heraklenol 10 µg/ml konsantrasyonda, IL-4, IL-1 $\beta$  ve TNF- $\alpha$  salınımlarını standart olarak kullanılan prednizolona (0,3 µg/ml) karşı %2,6; %17,3 ve %66,7 oranında inhibe etmiştir (Tada ve ark., 2002). Başka bir çalışmada, TPA nedenli kulak ödeminde 0,1-1 mg/kulak dozda, %23,1-75,7 aralığında inhibisyon yaptığı bulunmuştur. Antienflamatuar etkisinin doza bağlı olduğu bildirilmiştir (Garcia-Argaez ve ark., 2000). Diyabetik sıçanlar üzerinde yapılan bir çalışmada byakangelisinin şekere bağlı katarakti ve diyabetik nöropatiyi iyileştirdiği bildirilmiştir (Shin ve ark, 1998). İnterlökin IL-1 $\beta$  ile indüklenen fare kondrositlerinde yapılan bir çalışmada, byakangelisin IL-1 $\beta$ -aracılı iNOS, COX-2, TNF- $\alpha$  ve IL-6 ekspresyonunu inhibe etmiş, kolajen ve agrekan ekspresyonunu artırmıştır. Bu bulgular byakangelisinin osteoartrit tedavisi ve profilaksisinde kuvvetli bir aday olduğunu göstermiştir (Zhang ve ark., 2020). Bir başka çalışmada byakangelisinin kB aktivasyonunu inhibe ederek sitokin salımını engellediği bulunmuştur (Li ve Wu, 2017).

Aterosklerotik fareler ile yapılan bir çalışmada meranzin hidrat antiaterosklerotik etki göstermiş, ayrıca ateroskleroza eşlik eden depresyon parametrelerinde iyileşme sağlamıştır (Li ve ark., 2019). *Ex vivo* bir çalışmada meranzin hidratın protrombin zamanını düşürerek antikoagulan etki gösterdiği bulunmuştur (Roselli ve ark., 2006). *C. grandis* kabuklarından izole edilen meranzin hidrat ksilen nedenli kulak kepçesi ödemi 3 mg/kg dozda %19,5; 1,5 mg/kg dozda %17,9 oranında azalmıştır. Karagenin nedenli enflamasyonu ise 1,5 ve 3 mg/kg dozlarda sırasıyla %37,8 ve %47,6 oranında inhibe etmiştir. *in vitro* testlerde 5 µg/ml konsantrasyonda IL-1 $\beta$ , PGE2 ve TNF- $\alpha$  üretimini azaltmıştır (Zhao ve ark., 2019). Bir başka çalışmada ise galaktozamin nedenli karaciğer toksisitesine karşı kuvvetli koruyucu etki gösterdiği ortaya konmuştur (Tian ve ark., 2019). *C. monnierii* meyvelerinden izole edilen meranzin hidratın insan nötrofillerde fMet-Leu-Phe/sitokalazin B (fMLP/CB) indüklü superoksit üretimini ve elastaz salımını inhibe ettiği bildirilmiştir (Lee ve ark., 2014). *Limnocitrus littoralis* (Miq.) Swingle yapraklarından izole edilen meranzin hidrat izomeri meranzinin *in silico* moleküler modelleme çalışmalarında COX-2'yi doza bağlı olarak COX-1'i ise doza bağlı olmadan inhibe ettiği bildirilmiştir. COX-1 üzerindeki etkisi ise COX-2'den düşük bulunmuştur (Do ve ark., 2007).

Çalışmamızda, BAYF ile izolasyonun yanı sıra hazırlanan ekstrelerin kumarin, flavonoit ve fenolik asit içerikleri de YPSK yöntemi kullanılarak incelenmiştir. Bitki ekstrelerinin yapılan analiz koşullarında standart madde olarak kullanılan flavonoit ve fenolik asitleri içermediği görülürken, kumarinlerden yalnızca ksantotoksin, imperatorin, angelisin, bergapten ve ostol tespit edilmiştir. *H. sphondylium* subsp. *cyclocarpum* kökleri yüksek bergapten içeriği (%0,49) ile dikkat çekerken 7-metoksi kumarin türevi olan ostol (%0,05) de yalnızca bu ekstrede saptanmıştır. Ksantotoksin *H. sphondylium* subsp. *ternatum* ve *H. sphondylium* subsp. *montanum* köklerinde tespit edilmiş; *H. paphlagonicum*, *H. sphondylium* subsp. *montanum* ve *H. sphondylium* subsp. *cyclocarpum* köklerinin angelisin içeriği ise birbirine yakın bulunmuştur (sırasıyla; %0,04; %0,04 ve %0,02). Imperatorin sadece *H. sphondylium* subsp. *montanum* toprak üstü ekstresi ve *H. sphondylium* subsp. *cyclocarpum* kök ekstresinde tespit edilmiştir.

*Heracleum* türlerinin kökleri ve toprak üstü kısımlarından hazırlanan 16 farklı ekstre ile başladığımız ve en yüksek antienflamatuar aktivite görülen ekstre/fraksiyonu takip ederek yürüttüğümüz bu izolasyon çalışması bizi heraklenol-3"-O- $\beta$ -glukozit bileşigine ulaştırmıştır. Bileşigin aktivitesinin ekstrelerden yüksek bulunması, aynı zamanda aktif fraksiyonlardan izole edilen diğer bileşiklerin de kumarin yapısında olması *Heracleum* türlerinin geleneksel kullanıldığı antienflamatuar etkisinin büyük olasılıkla kumarin türevi bileşiklerden kaynaklandığını göstermektedir.

## 6. Geleceğe İlişkin Öngörülen Katkılar

Sentetik ilaçlara göre daha az yan etkiye sahip olmaları ya da yan etkiye sahip olmamaları nedeniyle tıbbi bitkiler sıkılıkla tercih edilmekte ancak olası yan etkileri yeterince göz önünde bulundurulmamaktadır. *Heracleum* türleri sergiledikleri farmakolojik aktivitelerle oldukça umut verici olsa da insan sağlığı üzerinde olumsuz etkilerinin olabileceği de bilinmemektedir. Özellikle bergapten,

## EK-11 Sonuç Raporu Formatı

imperatorin, ksantotoksin gibi fototoksik furanokumarinlerin epidermal dokuya nüfuz ederek güneş ışığıyla aktive oldukları, enflamasyonu ve hücre zarı hasarını tetiklediği bildirilmiştir (Bahadori ve ark; 2016; Maggi ve ark.,2014).

Bu çalışmada *Heracleum* türlerinin halk arasındaki antienflamatuvlar kullanımları ve zengin kumarin içeriklerinden yola çıkılarak seçilen ve daha önce detaylı bilimsel çalışmaların yapılmadığı dört *Heracleum* taksonunun antienflamatuvlar etkileri *in vivo* olarak test edilmiştir. En yüksek aktiviteyi gösteren *H. sphondylium* subsp. *cyclocarpum* köklerinin diklorometan ve metanollu ekstrelerinden biyolojik aktiviteyle yönlendirilmiş fraksiyonlama yöntemi izlenerek beş kumarin türevi bileşik izole edilmiş ve yapıları heraklenol-3"-*O*- $\beta$ -glikozit, heraklenol, byakangelisin, byakangelisin-3"-*O*- $\beta$ -glikozit ve meranzin hidrat III olarak spektroskopik yöntemler kullanılarak tayin edilmiştir. İzole edilen bileşiklerin antienflamatuvlar etkileri değerlendirilmiş ve en yüksek aktivite heraklenol-3"-*O*- $\beta$ -glikozit bileşliğinde görülmüştür. İzole edilen bileşikler ile ekstrelerin sergiledikleri inhibisyon değerleri karşılaştırıldığında heraklenol-3"-*O*- $\beta$ -glikozitin bitki ekstrelerinden daha yüksek aktivite gösterdiği tespit edilmiştir. Aglikonlar ise anlamlı bir aktivite göstermemiştir.

*Heracleum* türlerinin antienflamatuvlar etkisinin değerlendirilerek, etkiden sorumlu bileşiklerin izolasyonunu amaçlayan başka bir çalışma bulunmamaktadır. Ayrıca byakangelisin 3"-*O*- $\beta$ -glikozit ve meranzin hidrat III bileşikleri *Heracleum* türlerinden ilk defa bu çalışma ile izole edilmiş ve tanımlanmıştır. Seçilen taksonların kök ve toprak üstü kısımlarının kumarin içeriği analiz edilmiş ve tespit edilen kumarin türevlerinin miktar tayini ilk kez bu çalışma ile yapılmıştır. Yapılan çalışmalarda heraklenol ve byakangelisin aglikonlarının antienflamatuvlar etkisi gösterilmiş ancak heterozit formları ile gerçekleştirilen antienflamatuvlar etki çalışmasına rastlanmamıştır. Bu nedenle güçlü aktivite gösteren heraklenol-3"-*O*- $\beta$ -glikozit bileşiği ve bu bileşik üzerinden hazırlanacak standardize ekstrelerin daha detaylı çalışılarak etki mekanizmalarının ortaya çıkarılması önem taşımaktadır.

7. **Sağlanan Altyapı Olanakları ile Varsa Gerçekleştirilen Projeler**
8. **Sağlanan Altyapı Olanaklarının Varsa Bilim/Hizmet ve Eğitim Alanlarındaki Katkıları**
9. **Kaynaklar**

ABYSHEV AZ, DENISENKO PP, KOSTYUCHENKO NP, ERMAKOV AI, SHEINKER YN (1972). Natural meranzin hydrate- A new component. Khimiya Prirodnykh Soedinenii, 5: 608-612.

ADEBAJO AC, REISCH J (2000). Minor furocoumarins of *Murraya koenigii*. Fitoterapia, 71: 334-337.

AMIRI MS, JOHARCHI MR (2013). Ethnobotanical investigation of traditional medicinal plants commercialized in the markets of Mashhad, Iran. Avicenna J Phytomed, 3(3): 254-271.

ARNOLD N, BAYDOUN S, CHALAK L, RAUS TH (2015). A contribution to the flora and ethnobotanical knowledge of Mount Hermon, Lebanon. Fl.Medit., 25: 13-55.

BAE DS, KIM CY, LEE JK (2012). Anti-inflammatory effects of dehydrogeijerin in LPS-stimulated murine macrophages. International Imunopharmacology, 14: 734-739.

BAHADORI MB, DINPARAST L, ZENGİN G (2016). The Genus *Heracleum*: A comprehensive review on its phytochemistry, pharmacology, and ethnobotanical values as a useful herb. Comprehensive Reviews in Food Science and Food Safety, 15: 1018-1039.

BOSE SK, DEWANJEE S, MANDAL SC (2007). Antibacterial activity of methanol extract of roots of *Heracleum nepalense* D Don. on bacteria causing diarrhoea. Oriental Pharmacy and Experimental

Medicine, 7(3): 286-289.

CECCHERELLI P, CURINI M, MARCOTULLIO MC, MADRUZZA G (1989). Tortuoside, a new natural coumarin glucoside from *Seseli tortuosum*. Journal of Natural Products, 52(4): 888-890.

DASH S, NATH LK, BHISE S, BHUYAN N (2007). Antioxidant and antimicrobial activities of *Heracleum nepalense* D Don root. Tropical Journal of Pharmaceutical Research, 4(1):341-347.

DİNCEL D, HATİPOĞLU SD, GÖREN AC, TOPÇU G (2013). Anticholinesterase furocoumarins from *Heracleum platytaenium*, a species endemic to the Ida Mountains. Turkish Journal of Chemistry, 37: 675-683.

DO QT, LAMY C, RENIMEL I, SAUVAN N, ANDRE P, HIMBERT F, MORIN-ALLORY L, BERNARD P (2007). Reverse pharmacognosy: Identifying biological properties for plants by means of their molecule constituents: application to meranzin. Planta Med, 73: 1235-1240.

ERDEMOGLU N, TURAN NN, KÜPELİ AKKOL E, SENER B, ABACIOGLU N (2009). Estimation of anti-inflammatory, antinociceptive and antioxidant activities on *Arctium minus* (Hill) Bernh. ssp. minus. Journal of Ethnopharmacology, 121: 318-323.

ERDOĞAN ORHAN İ, TOSUN F, SKALICKA-WOZNIAK K (2016). Cholinesterase and tyrosinase inhibitory, and antioxidant potential of randomly selected Umbelliferous plant species and the chromatographic profile of *Heracleum platytaenium* Boiss. and *Angelica sylvestris* L. var. *sylvestris*. Journal of the Serbian Chemical Society, 81(4):357-368.

ERGENE A, GULER P, TAN S, MIRICI S, HAMZAOGLU E, DURAN A (2006). Antibacterial and antifungal activity of *Heracleum sphondylium* subsp. *artvinense*, African Journal of Biotechnology, 5(11): 1087-1089.

FAROOQ S, REHMAN S, DANGROO NA, PRIYA D, BANDAY JA, SANGWAN PL, QURISHI MA, KOUL S, SAXENA AK (2014). Isolation, cytotoxicity evaluation and HPLC-quantification of the chemical constituents from *Prangos pabularia*, PLOS ONE; 9(12): e115110.

GARCIA-ARGAEZ AN, APAN TOR, DELGADO HP, VELAZQUEZ G, MARTINEZ-VAZQUEZ M (2000). Anti-inflammatory activity of coumarins from *Decaroptis bicolor* on TPA ear mice model. Planta Med., 66: 279-281.

GAO Y, MI J, ZHANG CL, ZHANG XQ, PENG YJ, BAO Y, ZHANG HL (2019). Three New Polyacetylene Glycosides from the Roots of *Heracleum dissectum* and Their Triglyceride Accumulating Activities in 3T3-L1 Cells. Chemistry & Biodiversity, 16: 1-9.

GIRARD C, ROUX D, MUYARD F, COLOMBAIN M, TILLEQUIN F, WATERMAN PG, BEVALOT F (2005). 3-substituted coumarins from the twigs of *Rhadinothamnus rufidis* ssp. *amblycarpus*. Z. Naturforsch, 60b: 561-564.

HAJHASHEMI V, SAJJADI SE, HESHMATI M (2009). Anti-inflammatory and analgesic properties of *Heracleum persicum* essential oil and hydroalcoholic extract in animal models. Journal of Ethnopharmacology, 124: 475-480.

HOSSEINZADEH Z, RAMAZANI A, RAZZAGHI-ASL N (2019). Plants of the Genus *Heracleum*

as a Source of Coumarin and Furanocoumarin. Journal of Chemical Reviews, 1(2): 78-98.

JAGANNATH N, RAMAKRISHNAIAH H, KRISHNA V (2012). Anti-inflammatory and anticancer activity of *Heracleum rigens* Wall.ex DC. Phytopharmacology, 3(1): 61-67.

JARIC S, MACUKANOVIC-JOCIC M, DJURDJEVIC L, MITROVIC M, KOSTIC O, KARADZIC B, PAVLOVIC P (2015). A ethnobotanical survey of traditionally used plants on Suva planina mountain (South-eastern Serbia). Journal of Ethnopharmacology, 175: 93-108.

JOHN AJ, KARUNAKARAN VP, GEORGE V, SETHURAMAN MG (2007). Chemical Composition of Leaf and Fruit Oils of *Heracleum candelleanum*. Journal Essential Oil Researcrh, 19: 358-359.

KABOUCHÉ Z, BENKIKI N, SEGUIN E, BRUNEAU C (2003). A new dycoumarinyl ether and two rare furocoumarins from *Ruta montana*. Fitoterapia, 74: 194-196.

KARIMI AG, ITO M (2012). Sedative effect of vapor inhalation of essential oil from *Heracleum afghanicum* Kitamura seeds. Journal Essential Oil Research, 24(6): 571-577.

KHETWAL KS, PATHAK RP, JOSHI B (1987). Active Crystalline Principles From *Heracleum brunonis*. Journal of Natural Products, 50(5): 997-998.

KIM HN, KIM JD, YEO JH, SON HJ, PARK SB, PARK GH, EO HJ, JEONG JB (2019). *Heracleum moellendorffii* roots inhibit the production of pro-inflammatory mediators through the inhibition of NF- $\kappa$ B and MAPK signaling, and activation of ROS/Nrf2/HO-1 signaling in LPS-stimulated RAW264.7 cells. BMC Complementary and Alternative Medicinnee, 19: 1-10.

KIM SH, KANG SS, KIM CM (1992). Coumarin glycosides from the roots of *Angelica dahurica*. Arch. Pharm. Res., 15(1): 73-77.

KÜPELİ AKKOL E, ERCİL D (2009). Antinociceptive and anti-inflammatory activities of some *Linaria* species from Turkey. Pharmaceutical Biology, 47(3): 188-194.

KVIESIS J, KLIMENKOVS I, ARBIDANS L, PODJAVA A, KLAVINS M (2019). Evaluation of furanocoumarins from seeds of the wild parsnip (*Pastinaca sativa* L.s.l.). Journal of Chromatography, 1105: 54-66.

KWON YS, KIM CM (1992). Coumarin glycosides from the roots of *Angelica dahurica*. Kor J. Pharmacogn., 23(4): 221-224.

LEE TH, CHEN YC, HWANG TL, SHU CW, SUNG PJ, LIM YP, KUO WL, CHEN JJ (2014). New coumarins and anti-inflammatory constituents from the fruits of *Cnidium monnierii*. Int. J. Mol. Sci., 15: 9566-9578.

LI L, YU A, WANG Z, CHEN K, ZHENG W, ZHOU JJ, XIE Q, YAN HB, REN P, HUANG X (2019). Chaihu-Shugan-San and absorbed meranzin hydrate induce antiatherosclerosis and behavioral improvements in high-fat diet ApoE-/- mice via anti-inflammatory and BDNF-TrkB pathway. Biomedicine & Pharmacotherapy, 115: 1-12.

LI D, Wu L (2017). Coumarins from the roots of *Angelica dahurica* cause anti-allergic inflammation. Experimental and Therapeutic Medicine, 14: 874-880.

LIU JH, ZSCHOCKE S, REININGER E, BAUER R (1998). Comparison Of Radix Angelicae Pubescentis and Substitutes -Constituents and Inhibitory Effect On 5-Lipoxygenase and Cyclooxygenase. *Pharmaceutical Biology*, 36(3): 207-216.

MA J, HUANG J, HUA S, ZHANG Y, ZHANG Y, LI T, DONG L, GAO Q, FU X (2019). The ethnopharmacology, phytochemistry and pharmacology of Angelica biserrata – A review. *Journal of Ethnopharmacology*, 231: 152-169.

MAGGI F, QUASSINTI L, BRAMUCCI M, LUPIDI G, PETRELLI D, VITALI LA, PAPA F, VITTORI S (2014). Composition and biological activities of Hogweed [*Heracleum sphondylium* L. subsp. *ternatum* (Velen.) Brummitt] essential oil and its main components octyl acetate and octyl butyrate. *Natural Product Research*, 28(17): 1354-1363.

MANEERAT W, PRAWAT U, SAEWAN N, LAPHOOKHIEO S (2010). New coumarins from Clausena lansium twigs. *J. Braz. Chem. Soc.*, 21(4): 665-668.

MCHALE D, KHOPKAR PP, SHERIDAN JB (1987). Coumarin glycosides from *Citrus* flavedo. *Phytochemistry*, 26(9): 2547-2549.

NAKAMORI T, TANIGUCHI M, SHIBANO M, WANG NH, BABA K (2008). Chemical Studies on the Root of *Heracleum candicans* Wall. *J Nat Med*, 62: 403-412.

NASERI M, MONSEF-ESFEHANI HR, SAEIDNIA S, DASTAN D, GOHARI AR (2013). Antioxidative coumarins from the roots of Ferulago subvelutina. *Asian Journal of Chemistry*, 25(4): 1875-1878.

NIU XM, KI SH, JIANG B, ZHAO QS, SUN HD (2002). Constituents from the roots of *Heracleum rapula* Franch. *Journal of Asian Natural Products Research*, 4(1): 33-41.

PARK SY, LEE N, LEE S, KIM MJ, CHUN W, KIM HP, YANG HJ, LEE HS, KWON Y (2017). A new 3, 4-epoxyfurocoumarin from *Heracleum moellendorffii* Roots. *Natural Product Sciences*, 23(3): 213-216.

RAO GX, GAO YL, LIN YP, XIAO YL, LI SH, SUN HD (2006). Chemical constituents of Selenium cryptotaenium. *Journal of Asian Natural Products Research*, 8(3):273-275.

RASKIN I, RIBNICKY DM, KOMARNYTSKY S, ILIC N, POULEV A, BORSJUK N, BRINKER A, MORENO DA, RIPOLL C, YAKOBY N, O'NEAL JMO, CORNWELL T, PASTOR I, FRIDLENDER B (2002). Plants and Human Health in the Twenty-first Century. *Trends in Biotechnology*, 20(12): 522-531.

RAZDAN TK, KACHROO V, HARKAR S, KOUL GL (1982). Furanocoumarins from *Heracleum canescens*. *Phytochemistry*, 21(4): 923-927.

RIVIERE C, GOOSSENS L, POMMERY N, FOURNEAU C, DELELIS A, HENICHART JP (2006). Antiproliferative effects of isopentenylated coumarins isolated from *Phellophorum madagascariense* Baker. *Natural Product Research*, 20(10): 909-916.

ROSELLI S, MAGGIO A, BELLONE G, FORMISANO C, BASILE A, CICALA C, ALFIERI A, MASCOLO N, BRUNO M (2007). Antibacterial and anticoagulant activities of coumarins isolated

from the flowers of *Magydaris tomentosa*. *Planta Med.*, 72: 116-120.

ROUX D, MUYARD F, GIRARD C, COLOMBAIN M, TILLEQUIN F, WATERMAN PG, BEVALOT F (2006). Phebaclavin I, a novel 3-prenylated coumarin, and trichoclin acetate, a new natural furanocoumarin, from the aerial parts of *Phebalium* aff. *Tuberculosum* (Rutaceae). *Natural Product Research*, 20(3): 279-283.

SARKER SD, HABIBI B, SHARIFI T, ASNAASHARI S, NAHAR L, DELAZAR A (2008). Effect of *Citrus aurantium* var amara on weight change in mice. *Oriental Pharmacy and Experimental Medicine*, 8(3): 222-227.

SHARMA N, ASHOK PK, NEGI A, LAKSHMAYYA B (2013). A review on ethnobotany, phytochemical and pharmacological Dynamics of *Prangos pabularia* Lindl. *Journal of Natural Remedies*, 13(2): 68-75.

SHIN KH, LIM SS, KIM DK (1998). Effect of byakangelicin, an aldose reductase inhibitor, on galactosemic cataracts, the polyol contents and Na<sup>+</sup>, K<sup>+</sup>-ATPase activity in sciatic nerves of streptozotocin-induced diabetic rats. *Phytomedicine*, 5(2): 121-127.

SHIN E, LEE C, SUNG SH, KIM YC, HWANG BY, LEE MK (2011). Antifibrotic activity of coumarins from *Cnidium monnieri* fruits in HSC-T6 hepatic stellate cells. *J Nat Med*, 65: 370-374.

SONG HY, JO A, SHIN J, LIM EH, LEE YE, JEONG DE, LEE M(2019). Anti-inflammatory activities of isogosferol, a furanocoumarin isolated from *Citrus junos* seed shells through bioactivity-guided fractionation. *Molecules*, 24: 1-16.

TADA Y, SHIKISHIMA Y, TAKAISHI Y, SHIBATA H, HIGUTI T, HONDA G, ITO M, TAKEDA Y, KODZHIMATOV OK, ASHURMETOV O, OHMOTO Y (2002). Coumarins and γ-pyrone derivatives from *Prangos pabularia*: antibacterial activity and inhibition of cytokine release. *Phytochemistry*, 59(6): 649-654.

TAN N, YAZICI-TÜTÜNİŞ S, BİLGİN M, TAN E, MİSKİ M (2017). Antibacterial activities of pyrenylated coumarins from the roots of *Prangos hulusii*. *Molecules*, 22: 1-8.

TANIGUCHI M, YOKOTA O, SHIBANO M, WANG NH, BABA K (2005). Four Coumarins from *Heracleum yunnanense*. *Chem. Pharm. Bull.*, 53(6): 701-704.

THASTRUP O, LEMMICH J (1983). Furocoumarin glucosides of *Angelica archangelica* subspecies *litoralis*. *Phytochemistry*, 22(9): 2035-2037.

TIAN D, WANG F, DUAN M, CAO L, ZHANG Y, YAO X, TANG J (2019). Coumarin analogues from the *Citrus grandis* (L.) Osbeck and their hepatoprotective activity. *J Agric Food Chem*, 67: 1937-1947.

TOKER G, KÜPELİ E, MEMİSOĞLU M, YESİLADA E (2004). Flavonoids with antinociceptive and anti inflammatory activities from the leaves of *Tilia argentea* (silver linden). *Journal of Ethnopharmacology*, 95: 393-397.

USJAK LJ, PETROVIC S, DROBAC M, NIKETIC M (2018). Constituents of the essential oils of *Heracleum austriacum* subsp. *siifolium*, an endemic plant of the Southeastern alps. *Chemistry of*

Natural Products, 54(2): 384-386.

UYSAL A, OZER OY, ZENGİN G, STEFANUCCI A, MOLLICA A, PICOT-ALLAIN CMN, MAHOMOODALLY MF (2019). Multifunctional approaches to provide potential pharmacophores for the pharmacy shelf: *Heracleum sphondylium* L. subsp. *ternatum* (Velen.) Brummitt. Computational Biology and Chemistry, 78: 64-73.

VEERESHAM C (2012). Natural products derived from plants as a source of drugs. Journal of Advanced Pharmaceutical Technology & Research, 3(4): 200-201.

VITALINI S, PURICELLI C, MIKEREZI I, IRITI M (2015). Plants, people and traditions: ethnobotanical survey in the Lombard Stelvio National Park and neighbouring areas (Central Alps, Italy). Journal of Ethnopharmacology, 173(15): 435-458.

WIDELSKI J, POPOVA M, GRAIKOU K, GLOWNIAK K, CHINOU I (2009). Coumarins from Angelica lucida L. – Antibacterial activities. Molecules, 14: 2729-2734.

YEŞİLADA E, KÜPELİ E (2002). *Berberis crataegina* DC. root exhibits potent anti-inflammatory, analgesic and febrifuge effects in mice and rats. Journal of Ethnopharmacology, 79: 237-248.

ZHANG H, SU Y, WANG X, MI J, HUO Y, WANG Z, LIU Y, GAO Y (2017b). Antidiabetic activity and chemical constituents of the aerial parts of *Heracleum dissectum* Ledeb. Food Chemistry, 214: 572-579.

ZHANG C, DENG S, CHEN L, YANG M, WANG B, ZHANG X, GAO Y, ZHANG H (2020). A new coumarin isolated from the roots of *Heracleum dissectum* Ledeb. Natural Product Research, 2020: 1-6.

ZHAO YL, YANG XW, WU BF, SHANG JH, LIU YP, DAI Z, LUO XD (2019). Anti-inflammatory effect of Pomelo peel and its bioactive coumarins. J Agric. Food. Chem. 67: 8810-8818.

ZHENG RR, YA J, WANG WJ, YANG HB, ZHANG QW, ZHANG XQ, YE WC (2013). Chemical studies on roots of *Ficus hirta*. China Journal of Chinese Materia Medica, 38(21): 3696-3701.

## 10. Ekler

### a. Mali Bilanço ve Açıklamaları

Proje kapsamında istenen malzemelerin tamamı tek seferde alınmıştır. Tüm malzemeler tüketim ürünüdür ve deneysel çalışmalar sırasında kullanılmıştır.

- 1- Balb-C/Kby fare (erkek): in vivo deneylerde kullanıldı.
- 2- metanol: Ekstraksiyon ve kromatografi çalışmalarında kullanıldı.
- 3- asetonitril: YPSK analizlerinde çözücü olarak kullanıldı.
- 4- vial-vida kapak N9: YPSK numulerini hazırlamada kullanıldı.
- 5- şırınga filtre-PTFE: YPSK cihazına enjekte edilecek numuneleri süzmek için kullanıldı.
- 6- Diklorometan: Ekstraksiyon işlemleri ve İTK çalışmalarında kullanıldı.

## EK-11 Sonuç Raporu Formu

- 7- İTK Silikajel Aluminyum plak: İTK çalışmalarında kullanıldı.
- 8- İTK Silikajel 60 RP-18 Aluminyum plak: İTK çalışmalarında kullanıldı.
- 9- Pipet ucu mavi: Küçük hacimli sıvıların aktarımında kullanıldı.
- 10- Pipet ucu sarı: Küçük hacimli sıvıların aktarımında kullanıldı.
- 11- şırınga-sökülebilir iğneli-seri RN-iğne tipi A-25 µl: Numunelerin hayvanlara tatbiki için kullanıldı.
- 12- şırınga-sökülebilir iğneli-seri RN-iğne tipi A-50 µl: Numunelerin hayvanlara tatbiki için kullanıldı.

Türkiye'de Yetişen Bazı Herdeum Türlerinin Antienfamatuvar Edicilerinin Değer   20B0237002   Devam Ediyor												
el Bigiler		Yardımlar		İş Planı		Gider Listesi		Ödeneler		Yayınlar ve Atf Sayları		Hakemler
Bütçe Kodu	Açıklama	Önceli Yıldan Devir	Sırası Ödeneği	Edenen Akartma	Düşülen Akartma	Edenen Ödenek	Düşülen Ödenek	Net Ödenek	Harcanan (Maliyet)	Harcanan (Diğer)	Bloke Edilen (Avans)	Bloke Edilen (Diğer)
Proje Büçesi İ Başlangıç ödevi içinde orjinal kabul edilen kadar tezahür edilen, kabul edildikten sonra kabul edilen rakamlar gösterilir												
2020 03.2	TÜKETİME YÖNELİK MAL VE MALZEME ALIMLARI	0,00	40.000,00	0,00	0,00	0,00	0,00	40.000,00	0,00	37.557,33	0,00	0,00
	<b>Toplam</b>		<b>0,00</b>	<b>40.000,00</b>		<b>0,00</b>		<b>40.000,00</b>		<b>37.557,33</b>		<b>0,00</b>
2021 03.2	TÜKETİME YÖNELİK MAL VE MALZEME ALIMLARI	2.442,67	0,00	0,00	0,00	0,00	0,00	2.442,67	0,00	0,00	0,00	0,00
	<b>Toplam</b>		<b>2.442,67</b>		<b>0,00</b>		<b>0,00</b>		<b>2.442,67</b>		<b>0,00</b>	

	Giderin açıklaması	Miktar	Ölçü birimi	Kullanılı	Kala n	Birim Fiyatı	KDV dahil tutarı
1	Balb-C/Kby fare (erkek)	556	Adet	556	0	47,2	26.243,20
2	Methanol 99,9% for liquid chromatography (2.5 lt)	30	Şişe	30	0	94,4	2.832,00
3	Acetonitrile %99.9 gradient grade for liquid chromatography (2.5 lt)	10	Şişe	10	0	233,64	2.336,40
4	Vial-vida kapak-N9-1,5ml-11,6*32mm-şeffaf (1 paket=100 adet)	2	paket	2	0	158,12	316,24
5	şırınga filtre-PTFE-0.20/25 (1paket=100 adet)	2	paket	2	0	708	1.416,00
6	Dichlorometane %99 (2.5 lt)	5	Şişe	5	0	159,3	796,5
7	TLC silicagel 60, 25 Aluminium sheet , F254 (25 adet)	4	Adet	4	0	518,4	2.073,60
8	TLC silicagel 60, RP-19 F254S 20 Alumnum sheet (20 adet)	2	Adet	2	0	1.489,32	2.978,64

EK-11 Sonuç Raporu Formatı

<b>9</b>	Pipet ucu-mavi-1000µl (1paket=500 adet)	1	paket	1	0	40,12	40,12
<b>10</b>	Pipet ucu-sarı-200µl (1paket=1000 adet)	1	paket	1	0	29,5	29,5
<b>11</b>	şırınga-sökülebilir iğneli-seri RN-iğne tipi A-25 µl	1	Adet	1	0	401,2	401,2
<b>12</b>	şırınga-sökülebilir iğneli-seri RN-iğne tipi A-50 µl	1	Adet	1	0	497,96	497,96
<b>13</b>	Sözleşmeden arta kalan tutar	1	Adet	0	1	38,64	38,64
							<b>40.000,00</b>

- b. Makine ve Teçhizatın Konumu ve İlerideki Kullanımına Dair Açıklamalar
- c. Teknik ve Bilimsel Ayrintılar
- d. Sunumlar (bildiriler ve teknik raporlar) (**Altyapı ve Yönlendirilmiş Projeler için uygulanmaz**)
- e. Yayınlar (hakemli bilimsel dergiler) ve tezler (**Altyapı ve Yönlendirilmiş Projeler için uygulanmaz**)